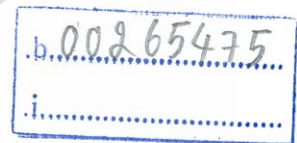


การศึกษาเซ็นเซอร์แสงสำหรับใช้เป็นไพรานอมิเตอร์  
A STUDY OF PYRANOMETER USING PHOTODIODE  
SENSORS



โครงการพิเศษนี้เป็นส่วนหนึ่งของการศึกษาตาม  
หลักสูตรปริญญาวิทยาศาสตรบัณฑิต (ฟิสิกส์ประยุกต์)  
ภาควิชาฟิสิกส์ คณะวิทยาศาสตร์  
สถาบันเทคโนโลยีพระจอมเกล้าเจ้าคุณทหารลาดกระบัง  
ปีการศึกษา 2558

การศึกษาเซ็นเซอร์แสงสำหรับใช้เป็นไพรานอมิเตอร์  
A STUDY OF PYRANOMETER USING PHOTODIODE  
SENSORS



TB00134

โครงการพิเศษนี้เป็นส่วนหนึ่งของการศึกษาตาม  
หลักสูตรปริญญาวิทยาศาสตรบัณฑิต (ฟิสิกส์ประยุกต์)  
ภาควิชาฟิสิกส์ คณะวิทยาศาสตร์  
สถาบันเทคโนโลยีพระจอมเกล้าเจ้าคุณทหารลาดกระบัง  
ปีการศึกษา 2558

เอกสารนี้เป็นเอกสารที่สงวนไว้สำหรับการใช้งานเพื่อการศึกษาเท่านั้น ไม่อนุญาตให้นำไปใช้ประโยชน์ด้านการค้า  
ไม่ว่ากรณีใดๆ ทั้งสิ้น อีกทั้งห้ามมิให้ตัดแปลงเนื้อหา และต้องอ้างอิงถึงเจ้าของเอกสารทุกครั้งที่มีการนำไปใช้

# A STUDY OF PYRANOMETER USING PHOTODIODE SENSORS



A SPECIAL PROJECT SUBMITTED IN  
PARTIAL FULFILLMENT OF THE REQUIREMENT FOR  
THE DEGREE OF BACHELOR OF SCIENCE (APPLIED PHYSICS)  
DEPARTMENT OF PHYSICS, FACULTY OF SCIENCE  
KING MONGKUT'S INSTITUTE OF TECHNOLOGY LADKRABANG

เอกสารนี้เป็นเอกสารที่สงวนไว้สำหรับการใช้ภายในเท่านั้น ไม่อนุญาตให้นำไปใช้ประโยชน์ด้านการค้า.

ไม่ว่ากรณีใดๆ ทั้งสิ้น อีกทั้งห้ามมิให้ดัดแปลงเนื้อหา และต้องอ้างอิงถึงเจ้าของเอกสารทุกครั้งที่มีการนำไปใช้

หัวข้อโครงการพิเศษ

การศึกษาเซ็นเซอร์แสงสำหรับใช้เป็นไพรานอมิเตอร์  
A STUDY OF PYRANOMETER USING PHOTODIODE  
SENSORS

ชื่อนักศึกษา

นายพินิจนันท์ ขาวอ้น รหัสนักศึกษา 55051567

ปริญญา

วิทยาศาสตร์บัณฑิต (ฟิสิกส์ประยุกต์)

ภาควิชา

ฟิสิกส์

ปีการศึกษา

2558

อาจารย์ที่ปรึกษา

ดร.กาจปัญญา สุวรรณสุขโข

คณะวิทยาศาสตร์ สถาบันเทคโนโลยีพระจอมเกล้าเจ้าคุณทหารลาดกระบัง อนุมัติให้  
โครงการพิเศษนี้เป็นส่วนหนึ่งของการศึกษาตามหลักสูตรปริญญาวิทยาศาสตรบัณฑิต(ฟิสิกส์ประยุกต์)  
ประจำปีการศึกษา 2558

คณะกรรมการสอบ	ลายมือชื่อ
อ.ธรรมรัตน์ แต่งตั้ง ประธานกรรมการ	
อ.ธนภรณ์ สีสาวพัฒนานนท์ กรรมการ	
ดร.พิศาล สุขวิสูตร กรรมการ	
ดร.กาจปัญญา สุวรรณสุขโข กรรมการและอาจารย์ที่ปรึกษา	

ลิขสิทธิ์ของคณะวิทยาศาสตร์

สถาบันเทคโนโลยีพระจอมเกล้าเจ้าคุณทหารลาดกระบัง

เอกสารนี้เป็นเอกสารที่สงวนไว้สำหรับการใช้งานเพื่อการศึกษาเท่านั้น ไม่อนุญาตให้นำไปใช้ประโยชน์ด้านการค้า

ไม่ว่ากรณีใดๆ ทั้งสิ้น อีกทั้งห้ามมิให้ตัดแปลงเนื้อหา และต้องอ้างอิงถึงเจ้าของเอกสารทุกครั้งที่มีการนำไปใช้

หัวข้อโครงการพิเศษ	การศึกษาเซ็นเซอร์แสงสำหรับใช้เป็นไพรานอมิเตอร์
ชื่อนักศึกษา	นายพินิจนันท์ ขาวอ้น รหัสนักศึกษา 55051567
ปริญญา	วิทยาศาสตร์บัณฑิต (ฟิสิกส์ประยุกต์)
ภาควิชา	ฟิสิกส์
คณะ	วิทยาศาสตร์
มหาวิทยาลัย	สถาบันเทคโนโลยีพระจอมเกล้าเจ้าคุณทหารลาดกระบัง (สจล.)
ปีการศึกษา	2558
อาจารย์ที่ปรึกษา	ดร.กมลปัญญา สุวรรณสุขุโข

### บทคัดย่อ

โครงการพิเศษนี้ได้จัดทำขึ้นเพื่อพัฒนาต่อยอดงานโครงการพิเศษเรื่องโซลิตสแตตไพรานอมิเตอร์ต้นทุนต่ำที่ได้ทำมาก่อนหน้านี้ โดยใช้ซิลิคอนโฟโตไดโอดทั้งหมด 5 ชนิดมาเป็นตัวตรวจวัดแสงแทนเทอร์โมไพล์ บรรจุอยู่ในบรรจุภัณฑ์ที่มีแผ่นเทฟลอน(Teflon)ทำหน้าที่กระจายแสง โดยจะทำการเก็บข้อมูลเป็นแรงดันไฟฟ้าตลอดทั้งวันผ่านเครื่องเก็บข้อมูลกึ่งอัตโนมัติ(Data Logger)เป็นเวลา 17 วัน และจะนำข้อมูลที่ได้มาทำการเปรียบเทียบผ่านโปรแกรมคณิตศาสตร์(MATLAB) จากการทดลองข้างต้นทำให้เห็นว่าโฟโตไดโอดรุ่น S5973 มีค่าการเปลี่ยนแปลงใกล้เคียงกับไพรานอมิเตอร์มาตรฐานมากกว่าชนิดอื่นๆ ดังนั้นเราสามารถประดิษฐ์ไพรานอมิเตอร์เองได้ โดยต้นทุนที่เราประดิษฐ์เองนั้นถือว่าต่ำมากเมื่อเทียบกับไพรานอมิเตอร์มาตรฐานลำดับที่สองที่ต้องนำเข้าจากต่างประเทศ

**คำสำคัญ :** การเปรียบเทียบเครื่องมือ ซิลิคอนโฟโตไดโอด ไพรานอมิเตอร์

<b>Title</b>	A STUDY OF PYRANOMETER USING PHOTODIODE SENSORS
<b>Students</b>	Mr.Pinitnun Khao-oun Student ID 55051567
<b>Degree</b>	Bachelor of Science (Applied Physics)
<b>Department</b>	Physics
<b>Faculty</b>	Science
<b>University</b>	King Mongkut's Institute of Technology Ladkrabang (KMITL)
<b>Academic Year</b>	2015
<b>Advisor</b>	Dr.Kajpanya Suwansukho

### Abstract

The special project deals with the development of the previous project (a low cost solid state pyranometer). This work use 5 types of the silicon photodiode as thermopile. Contained in a package with Teflon plate acting as light. The collected data is the voltage throughout the day by automatic storage (Data Logger) for 17 days and calibration data by the mathematical program (MATLAB). From the experiment that the photodiode model S5973, the change coincided with the standard than other types. So we can create pyranometer itself. The cost of our invention, it is considered very low compared to the pyranometer standard second class is imported from overseas.

**Keywords :** The calibration tool, Silicon photodiode, Pyranometer

## กิตติกรรมประกาศ

โครงการพิเศษฉบับนี้สำเร็จลุล่วงไปได้ด้วยดี เนื่องจากความเมตตาและกรุณายิ่งจาก อ.กาจปัญญา สุวรรณสุขุโข ที่ได้ให้คำปรึกษาแนะนำแนวทางในการทำวิจัยรวมถึงการอนุเคราะห์จัดหา เครื่องมือและอุปกรณ์ในการดำเนินงานวิจัย ผู้จัดทำซาบซึ้งในความเมตตากรุณาอย่างยิ่งและขอกราบ ขอบพระคุณเป็นอย่างสูง

ผู้จัดทำขอขอบคุณนายจ่านงค์ ขาวอัน และนางอุษาพร ขาวอัน ที่คอยให้กำลังใจและคำแนะนำ ในการทำการวิจัยอย่างดี สุดท้ายนี้ผู้จัดทำขอขอบคุณอาจารย์ทุกท่านที่ได้ประสิทธิ์ประสาทวิชา ความรู้ รวมถึงบุคคลผู้ให้ความปรารถนาดีช่วยเหลือจัดทำในการทำการวิจัยและโครงการพิเศษทุกๆ ท่านมา ณ ที่นี้ด้วย

พินิจนันท์ ขาวอัน



เอกสารนี้เป็นเอกสารที่สงวนไว้สำหรับการใช้งานเพื่อการศึกษาเท่านั้น ไม่อนุญาตให้นำไปใช้ประโยชน์ด้านการค้า ไม่ว่ากรณีใดๆ ทั้งสิ้น อีกทั้งห้ามมิให้ดัดแปลงเนื้อหา และต้องอ้างอิงถึงเจ้าของเอกสารทุกครั้งที่มีการนำไปใช้

# สารบัญ

	หน้า
บทคัดย่อภาษาไทย	ก
บทคัดย่อภาษาอังกฤษ	ข
กิตติกรรมประกาศ	ค
สารบัญ	ง
สารบัญตาราง	ฉ
สารบัญรูป	ช
<b>บทที่ 1 บทนำ</b>	<b>1</b>
1.1 ความเป็นมาและความสำคัญของปัญหา	1
1.2 วัตถุประสงค์ของงานวิจัย	1
1.3 ขอบเขตของงานวิจัย	1
1.4 แนวทางการดำเนินการวิจัย	1
1.5 ประโยชน์ที่คาดว่าจะได้รับ	1
<b>บทที่ 2 ทฤษฎีและงานวิจัยที่เกี่ยวข้อง</b>	<b>2</b>
2.1 ดวงอาทิตย์	2
2.2 ค่าคงที่สุริยะ (Solar constant)	3
2.3 มุมซีกินท (Zenith Angle)	4
2.4 ไพรานอมิเตอร์ (Pyranometer)	5
2.4.1 คุณสมบัติของไพรานอมิเตอร์	6
2.4.2 การใช้ไพรานอมิเตอร์วัดรังสีกระจาย	6
2.5 รังสีประเภทต่างๆ	7
2.5.1 รังสีตรง (Beam or Direct radiation)	8
2.5.2 รังสีกระจาย (Diffuse radiation)	8
2.5.3 รังสีรวม (Total or Global radiation)	8
2.6 เทอร์โมไพล์ (Thermopile)	8
2.7 โฟโตไดโอด (Photodiode)	9
<b>บทที่ 3 วิธีการดำเนินงานวิจัย</b>	<b>11</b>
3.1 การคำนวณหาประสิทธิภาพของไดโอด	11
3.1.1 Signal	11
3.1.2 Noise	11
3.1.3 Signal to Noise Ratio	12
3.2 การเก็บข้อมูล	12
3.3 อุปกรณ์ที่ใช้ในการทดลอง	13
3.4 วิธีการทดลอง	15
<b>บทที่ 4 ผลการวิจัยและการอภิปรายผล</b>	<b>17</b>

เอกสารนี้เป็นเอกสารที่สงวนไว้สำหรับการใช้งานเพื่อการศึกษาเท่านั้น ไม่อนุญาตให้นำไปใช้ประโยชน์ด้านการค้า

ไม่ว่ากรณีใดๆ ทั้งสิ้น อีกทั้งห้ามมิให้ดัดแปลงเนื้อหา และต้องอ้างอิงถึงเจ้าของเอกสารทุกครั้งที่มีการนำไปใช้

## สารบัญ(ต่อ)

	หน้า
4.1 ผลการทดลอง	17
4.2 ขยายผลการทดลอง	60
4.3 ข้อเสนอพื้นฐาน	62
4.4 ข้อเสนอผลการทดลอง	66
<b>บทที่ 5 สรุปผลการวิจัยและข้อเสนอแนะ</b>	<b>69</b>
5.1 สรุปผลการวิจัย	69
5.2 ข้อเสนอแนะ	69
<b>เอกสารอ้างอิง</b>	



# สารบัญตาราง

ตารางที่	หน้า
1.4 แสดงแนวทางการดำเนินการวิจัย	1
3.1 แสดงค่าข้อมูลของโฟโต้ไดโอดแต่ละชนิด	11



# สารบัญรูป

รูปที่	หน้า
2.1 ดวงอาทิตย์	2
2.2 การแผ่รังสีของดวงอาทิตย์มายังโลก	3
2.3 ความยาวคลื่นของรังสีต่างๆที่แผ่มาจากดวงอาทิตย์	3
2.4 การเปลี่ยนแปลงค่าคงที่สุริยะตลอดปี	4
2.5 แสดงแนวของมุมซีกินิท (Zenith Angle)	4
2.6 ไพรานอมิเตอร์	5
2.7 ไพรานอมิเตอร์แบบ Eppley precision	6
2.8 ไพรานอมิเตอร์ที่ติดตั้งวงแหวนบังแสง	7
2.9 รังสีในลักษณะต่างๆ	7
2.10 เทอร์โมไพล์ (Thermopile)	8
2.11 แสดงโครงสร้างของเทอร์โมไพล์	8
2.12 โฟโต้ไดโอด	9
2.13 สัญลักษณ์โฟโต้ไดโอด	9
2.14 หลักการทำงานของโฟโต้ไดโอด	10
3.2.1 หน้าจอแสดงผลการตรวจสอบการเชื่อมต่อ	12
3.2.2 หน้าจอแสดงผลขณะทำการบันทึกค่า	13
3.3.1 DATA LOGGER	13
3.3.2 Computer	14
3.3.3 PYRANOMETER (ตัวมาตรฐาน)	14
3.3.4.1 โฟโต้ไดโอดชนิด S1223	14
3.3.4.2 โฟโต้ไดโอดชนิด BPW21R	14
3.3.4.3 โฟโต้ไดโอดชนิด VTB8440BH	15
3.3.4.4 โฟโต้ไดโอดชนิด VTB5041BH	15
3.3.4.5 โฟโต้ไดโอดชนิด S5973	15
3.4.1 ติดตั้งไพรานอมิเตอร์เข้ากับฐาน	15
3.4.2 ต่อไพรานอมิเตอร์เข้ากับตัวบันทึกผล(DATA LOGGER)	16
3.4.3 หน้าจอแสดงผลขณะทำการบันทึกค่า	16
4.1.1 กราฟแสดงค่าเปรียบเทียบระหว่างตัวมาตรฐานกับโฟโต้ไดโอด VTB8440BH วันที่ 1	17
4.1.2 กราฟแสดงค่าเปรียบเทียบระหว่างตัวมาตรฐานกับโฟโต้ไดโอด S5973วันที่ 1	17
4.1.3 กราฟแสดงค่าเปรียบเทียบระหว่างตัวมาตรฐานกับโฟโต้ไดโอด BPW21R วันที่ 1	18
4.1.4 กราฟแสดงค่าเปรียบเทียบระหว่างตัวมาตรฐานกับโฟโต้ไดโอด VTB5041BH วันที่ 1	18
4.1.5 กราฟแสดงค่าเปรียบเทียบระหว่างตัวมาตรฐานกับโฟโต้ไดโอด S1223 วันที่ 1	19
4.1.6 กราฟแสดงค่าเปรียบเทียบระหว่างตัวมาตรฐานกับโฟโต้ไดโอด VTB8440BH วันที่ 2	19
4.1.7 กราฟแสดงค่าเปรียบเทียบระหว่างตัวมาตรฐานกับโฟโต้ไดโอด S5973 วันที่ 2	20

เอกสารนี้เป็นเอกสารที่สงวนไว้สำหรับการใช้งานเพื่อการศึกษาเท่านั้น ไม่อนุญาตให้นำไปใช้ประโยชน์ด้านการค้า

ไม่ว่ากรณีใดๆ ทั้งสิ้น อีกทั้งห้ามมิให้ดัดแปลงเนื้อหา และต้องอ้างอิงถึงเจ้าของเอกสารทุกครั้งที่มีการนำไปใช้





## สารบัญรูป(ต่อ)

รูปที่	หน้า
4.1.75 กราฟแสดงค่าเปรียบเทียบระหว่างตัวมาตรฐานกับโฟโต้ไดโอด S1223 วันที่ 15	54
4.1.76 กราฟแสดงค่าเปรียบเทียบระหว่างตัวมาตรฐานกับโฟโต้ไดโอด VTB8440BH วันที่ 16	55
4.1.77 กราฟแสดงค่าเปรียบเทียบระหว่างตัวมาตรฐานกับโฟโต้ไดโอด S5973วันที่ 16	55
4.1.78 กราฟแสดงค่าเปรียบเทียบระหว่างตัวมาตรฐานกับโฟโต้ไดโอด BPW21R วันที่ 16	56
4.1.79 กราฟแสดงค่าเปรียบเทียบระหว่างตัวมาตรฐานกับโฟโต้ไดโอด VTB5041BH วันที่ 16	56
4.1.80 กราฟแสดงค่าเปรียบเทียบระหว่างตัวมาตรฐานกับโฟโต้ไดโอด S1223 วันที่ 16	57
4.1.81 กราฟแสดงค่าเปรียบเทียบระหว่างตัวมาตรฐานกับโฟโต้ไดโอด VTB8440BH วันที่ 17	57
4.1.82 กราฟแสดงค่าเปรียบเทียบระหว่างตัวมาตรฐานกับโฟโต้ไดโอด S5973วันที่ 17	58
4.1.83 กราฟแสดงค่าเปรียบเทียบระหว่างตัวมาตรฐานกับโฟโต้ไดโอด BPW21R วันที่ 17	58
4.1.84 กราฟแสดงค่าเปรียบเทียบระหว่างตัวมาตรฐานกับโฟโต้ไดโอด VTB5041BH วันที่ 17	59
4.1.85 กราฟแสดงค่าเปรียบเทียบระหว่างตัวมาตรฐานกับโฟโต้ไดโอด S1223 วันที่ 17	59
4.2.1 ขยายกราฟแสดงค่าเปรียบเทียบระหว่างตัวมาตรฐานกับโฟโต้ไดโอด VTB8440BH วันที่ 1	60
4.2.2 ขยายกราฟแสดงค่าเปรียบเทียบระหว่างตัวมาตรฐานกับโฟโต้ไดโอด S5973 วันที่ 1	60
4.2.3 ขยายกราฟแสดงค่าเปรียบเทียบระหว่างตัวมาตรฐานกับโฟโต้ไดโอด BPW21R วันที่ 1	61
4.2.4 ขยายกราฟแสดงค่าเปรียบเทียบระหว่างตัวมาตรฐานกับโฟโต้ไดโอด VTB5041BH วันที่ 1	61
4.2.5 ขยายกราฟแสดงค่าเปรียบเทียบระหว่างตัวมาตรฐานกับโฟโต้ไดโอด S1223 วันที่ 1	62
4.3.1 ถอด case ออกให้เซ็นเซอร์รับแสงโดยตรง	63
4.3.2 ขยายกราฟแสดงค่าเปรียบเทียบระหว่างตัวมาตรฐานกับโฟโต้ไดโอด หลังจากถอด case ออกให้เซ็นเซอร์รับแสงโดยตรง	63
4.3.3 เปลี่ยนสายสัญญาณ	64
4.3.4 ขยายกราฟแสดงค่าเปรียบเทียบระหว่างตัวมาตรฐานกับโฟโต้ไดโอด หลังจากเปลี่ยนสายสัญญาณ	64
4.3.5 เพิ่มความหนาของฟิล์มเพื่อกรองแสงที่มากกระทบเซ็นเซอร์	65
4.3.6 ขยายกราฟแสดงค่าเปรียบเทียบระหว่างตัวมาตรฐานกับโฟโต้ไดโอด หลังจากเพิ่มความหนาของฟิล์มเพื่อกรองแสงที่มากกระทบเซ็นเซอร์	65
4.4.1 ขยายกราฟแสดงค่าเปรียบเทียบระหว่างตัวมาตรฐานกับโฟโต้ไดโอด VTB8440BH	66
4.4.2 ขยายกราฟแสดงค่าเปรียบเทียบระหว่างตัวมาตรฐานกับโฟโต้ไดโอด S5973	66
4.4.3 ขยายกราฟแสดงค่าเปรียบเทียบระหว่างตัวมาตรฐานกับโฟโต้ไดโอด BPW21R	67
4.4.4 ขยายกราฟแสดงค่าเปรียบเทียบระหว่างตัวมาตรฐานกับโฟโต้ไดโอด VTB5041BH	67
4.4.5 ขยายกราฟแสดงค่าเปรียบเทียบระหว่างตัวมาตรฐานกับโฟโต้ไดโอด S1223	68

เอกสารนี้เป็นเอกสารที่สงวนไว้สำหรับการใช้งานเพื่อการศึกษาเท่านั้น ไม่อนุญาตให้นำไปใช้ประโยชน์ด้านการค้า  
ไม่ว่ากรณีใดๆ ทั้งสิ้น อีกทั้งห้ามมิให้ดัดแปลงเนื้อหา และต้องอ้างอิงถึงเจ้าของเอกสารทุกครั้งที่มีการนำไปใช้

# บทที่ 1

## บทนำ

### 1.1 ความเป็นมาและความสำคัญของปัญหา

โครงการขึ้นนี้จัดทำขึ้นเพื่อพัฒนาต่อยอดงานโครงการพิเศษเรื่องโซลิตสเตรตไพรานอ มิเตอร์ต้นทุนต่ำที่ได้ทำมาก่อนหน้านี้ โดยจะทำการตรวจสอบอุปกรณ์และปรับเปลี่ยนชิ้นส่วนเพื่อให้ได้เครื่องวัดความเข้มแสงที่มีค่าความผิดพลาดน้อยลง รวมถึงทำการทดลองและบันทึกผลเพิ่มมากขึ้น เพื่อพัฒนาเครื่องวัดความเข้มแสงให้มีประสิทธิภาพมากขึ้นจนใกล้เคียงกับเครื่องวัดความเข้มแสงที่มีราคาสูง ทั้งนี้สืบเนื่องมาจากเจตนาของโครงการก่อนหน้านี้ที่ต้องการสร้างเครื่องวัดความเข้มแสงต้นทุนต่ำ ดังนั้นเราจะต้องควบคุมราคาอุปกรณ์และส่วนประกอบอื่นๆ เพื่อให้นักเรียน นักศึกษา และบุคคลที่สนใจสามารถหาซื้อหรือนำไปใช้ประโยชน์ในด้านอื่นๆต่อไป

### 1.2 วัตถุประสงค์ของงานวิจัย

1. เพื่อศึกษาและทำการทดลองเกี่ยวกับเครื่องวัดความเข้มแสง
2. มีความรู้ความเข้าใจในการทำงาน ออกแบบ และพัฒนาเครื่องวัดความเข้มแสง
3. สร้างเครื่องวัดความเข้มแสงที่มีประสิทธิภาพใกล้เคียงกับเครื่องวัดความเข้มแสงราคาสูง

### 1.3 ขอบเขตของงานวิจัย

ศึกษา ออกแบบ และพัฒนาเครื่องวัดความเข้มแสงจากโฟโตไดโอด รวมถึงออกแบบ วงจรและผลิตภัณฑ์ที่สามารถนำไปใช้งานได้จริง

### 1.4 แนวทางการดำเนินการวิจัย

โครงการนี้มีระยะเวลาการศึกษาและจัดทำรวมทั้งสิ้น 10 เดือน โดยเริ่มต้นตั้งแต่เดือน สิงหาคม พ.ศ. 2558 ถึง เดือน พฤษภาคม พ.ศ. 2559 แสดงดังตารางที่ 1.4

ตารางที่ 1.4 แสดงแนวทางการดำเนินการวิจัย

แผนการดำเนินงาน	ระยะเวลา
เสนอหัวข้อ	สิงหาคม - ตุลาคม
ศึกษาข้อมูล	กันยายน - มกราคม
ทดลองและออกแบบอุปกรณ์	ธันวาคม - มีนาคม
ทดลองและเก็บข้อมูล	มีนาคม - พฤษภาคม

### 1.5 ประโยชน์ที่คาดว่าจะได้รับ

1. รู้และเข้าใจหลักการทำงานของเครื่องวัดความเข้มแสง
2. เข้าใจขั้นตอนการทำงาน และการออกแบบพัฒนาเครื่องวัดความเข้มแสง
3. ได้เครื่องวัดความเข้มแสงที่มีประสิทธิภาพใกล้เคียงกับเครื่องวัดความเข้มแสงที่มีราคาสูง

เอกสารนี้เป็นเอกสารที่สงวนลิขสิทธิ์ไว้เพื่อใช้ในการศึกษาวิจัยเท่านั้น ไม่สามารถนำข้อมูลไปใช้ในการค้า  
ไม่ว่ากรณีใดๆ ทั้งสิ้น อีกทั้งห้ามมิให้ดัดแปลงเนื้อหา และต้องอ้างอิงถึงเจ้าของเอกสารทุกครั้งที่มีการนำไปใช้

## บทที่ 2 ทฤษฎีและงานวิจัยที่เกี่ยวข้อง

### 2.1 ดวงอาทิตย์ (Sun)

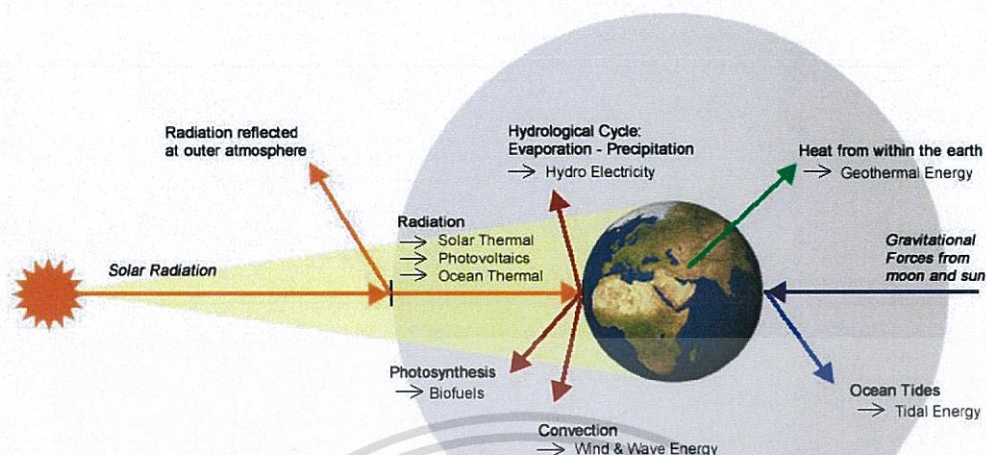


รูปที่ 2.1 ดวงอาทิตย์

รูปที่ 2.1 แสดงถึงกลุ่มก้อนพลังงานขนาดใหญ่ ซึ่งเป็นดาวฤกษ์ที่เป็นศูนย์กลางของระบบสุริยะ ดวงอาทิตย์นั้นประกอบด้วยไฮโดรเจนอยู่ร้อยละ 74 โดยมวล ฮีเลียมร้อยละ 25 โดยมวล และธาตุอื่นๆในปริมาณเล็กน้อย ดวงอาทิตย์จัดอยู่ในสเปกตรัม G2V ซึ่ง G2 หมายความว่าดวงอาทิตย์มีอุณหภูมิพื้นผิวประมาณ 5,780 เคลวิน (ประมาณ 5,515 องศาเซลเซียสหรือ 9,940 องศาฟาเรนไฮต์) ดวงอาทิตย์จึงมีสีขาว แต่เห็นบนโลกเป็นสีเหลือง เนื่องจากการกระเจิงของแสง ส่วน v (เลข 5) บ่งบอกว่าดวงอาทิตย์อยู่ในลำดับหลัก ผลิตพลังงานโดยการหลอมไฮโดรเจนให้เป็นฮีเลียม และอยู่ในสภาพสมดุล ไม่ยุบตัวหรือขยายตัว มีเส้นผ่านศูนย์กลางประมาณ  $1.39 \times 10^9$  เมตร และมีระยะห่างเฉลี่ยจากโลกประมาณ  $1.5 \times 10^{11}$  เมตร ใช้เวลาในการหมุนรอบแกนตัวเองประมาณ 4 สัปดาห์

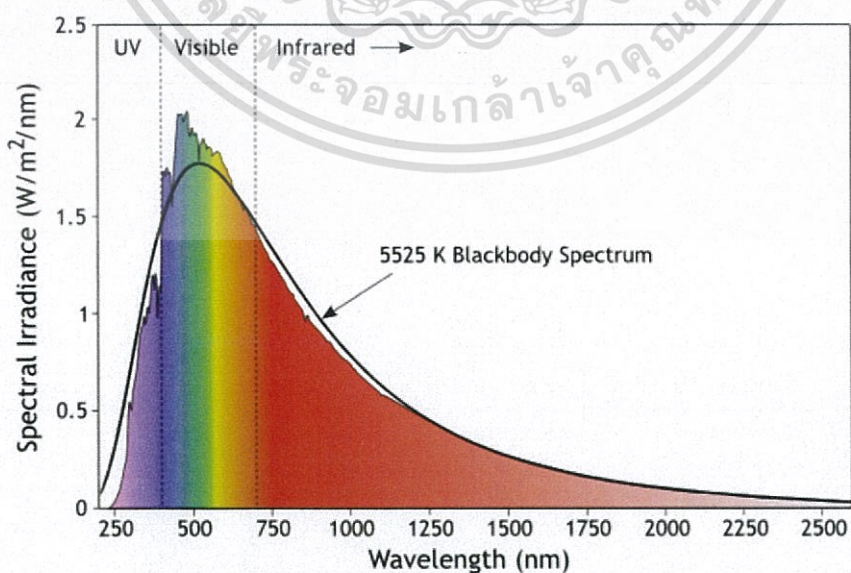
ดวงอาทิตย์มีความหนาแน่นมากที่สุดบริเวณแกน ซึ่งเป็นแหล่งผลิตพลังงาน และมีค่าน้อยลงเกือบเป็นรูปเอ็กโพเนนเชียลตามระยะทางที่ห่างออกมาจากแกน ทุกๆวินาทีจะมีนิวเคลียสของไฮโดรเจน  $3.4 \times 10^{38}$  ตัว ถูกแปรรูปเป็นฮีเลียมผลิตพลังงานได้  $3.83 \times 10^{26}$  จูล

## 2.2 ค่าคงที่สุริยะ (Solar constant)



รูปที่ 2.2 การแผ่รังสีของดวงอาทิตย์มายังโลก

ปริมาณรังสีของดวงอาทิตย์ที่ตกลงบนหนึ่งหน่วยพื้นที่ต่อหนึ่งหน่วยเวลา ซึ่งพื้นที่ที่รับรังสีนั้นต้องตั้งฉากกับแนวรังสีและอยู่นอกขอบเขตของบรรยากาศโดยมีระยะห่างเท่ากับระยะทางเฉลี่ยจากโลกถึงดวงอาทิตย์ ค่าคงที่สุริยะของสถาบันสมิธโซเนียนมีค่าเท่ากับ 1.94 หรือ 1.95 กรัม-แคลลอรีต่อตารางเซนติเมตรต่อนาที หรือวัดจากดาวเทียมได้ประมาณ 1,366 วัตต์ต่อตารางเมตร สำหรับรังสีดวงอาทิตย์ที่มาถึงพื้นผิวโลกส่วนใหญ่จะมีความยาวคลื่นตั้งแต่ช่วงของรังสียูวี แสงที่ตามองเห็นไปจนถึงรังสีอินฟราเรดดังรูปที่ 2.3 เราสามารถแบ่งช่วงความยาวคลื่นของรังสีจากดวงอาทิตย์ได้เป็น 3 ส่วนหลักๆ คือ ยูวี แสงขาว และอินฟราเรด



รูปที่ 2.3 ความยาวคลื่นของรังสีต่างๆที่แผ่มาจากดวงอาทิตย์

เอกสารนี้เป็นเอกสารที่สงวนไว้สำหรับการใช้งานเพื่อการศึกษาเท่านั้น ไม่อนุญาตให้นำไปใช้ประโยชน์ด้านการค้าไม่ว่ากรณีใดๆ ทั้งสิ้น อีกทั้งห้ามมิให้ดัดแปลงเนื้อหา และต้องอ้างอิงถึงเจ้าของเอกสารทุกครั้งที่มีการนำไปใช้

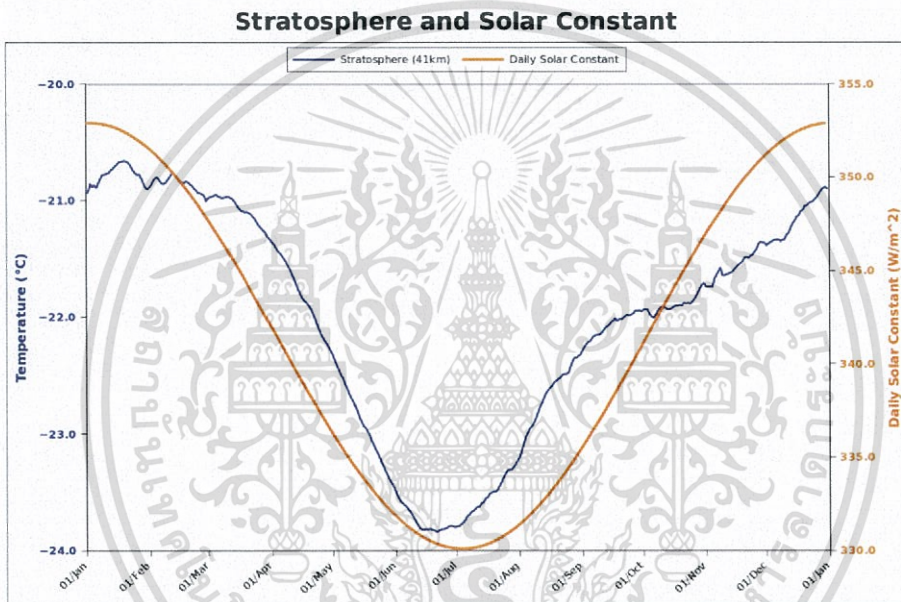
การเปลี่ยนแปลงปริมาณรังสีของดวงอาทิตย์เหนือบรรยากาศโลกจะอยู่ในช่วง  $\pm 3$  เปอร์เซ็นต์ ดังรูปที่ 2.4 ความสัมพันธ์ระหว่างพลังงานรังสีอาทิตย์ที่ตกกระทบตั้งฉากกับพื้นที่หนึ่งหน่วยเหนือบรรยากาศโลก ลำดับวันที่ของปีและค่าคงที่รังสีอาทิตย์ได้เป็นสมการ

$$G_{on} = G_{sc} [1 + 0.033 \cos(\frac{360 \times d}{365})]$$

$G_{on}$  คือ ค่าพลังงานแสงอาทิตย์ที่ตกกระทบนอกชั้นบรรยากาศของโลก

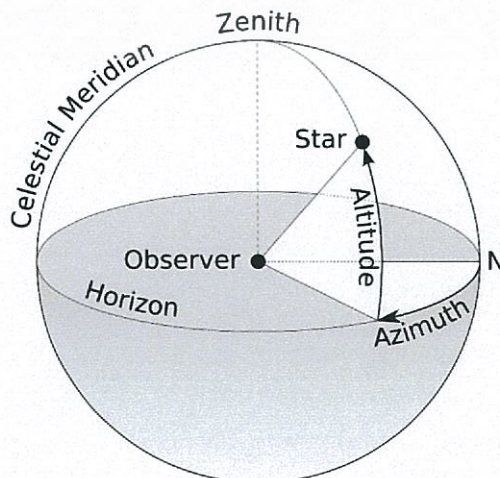
$G_{sc}$  คือ ค่าคงที่สุริยะมีค่าเท่ากับ 1,353 วัตต์ต่อตารางเมตร

D คือ ลำดับวันในรอบปีเช่น  $d=1$  คือวันที่ 1 ม.ค. หรือ  $d=365$  คือวันที่ 31 ธ.ค.



รูปที่ 2.4 การเปลี่ยนแปลงค่าคงที่สุริยะตลอดปี

### 2.3 มุมซีกนิต (Zenith Angle)



เอกสารนี้เป็นเอกสารที่สงวนไว้สำหรับการใช้งานที่องค์กรมีหน้าที่ ไม่อนุญาตให้นำไปใช้ประโยชน์ด้านการค้า  
รูปที่ 2.5 แสดงแนวของมุมซีกนิต (Zenith Angle)  
ไม่ว่ากรณีใดๆ ทั้งสิ้น อีกทั้งห้ามมิให้ดัดแปลงเนื้อหา และต้องอ้างอิงถึงเจ้าของเอกสารทุกครั้งที่มีการนำไปใช้

มุมซิมิท (Zenith Angle) คือ มุมระหว่างแนวตั้งฉากกับระนาบและแนวลำแสงของดวงอาทิตย์หรือเป็นตำแหน่งบนทรงกลมท้องฟ้าที่อยู่ในแนวตรงเหนือศีรษะของผู้สังเกตพอดี

ระยะทางจากซิมิท (Zenith distance) คือ ระยะทางตามลมหที่วัดจากจุดซิมิทตามวงกลมถึงจนถึงดาว มีค่าตั้งแต่ 0-90 องศา ในบางกรณีแทนที่เราจะบอกเป็นอัลติจูด เราอาจจะบอกเป็นระยะทางจากซิมิทแทนก็ได้

มุมอัลติจูด (Altitude Angle) คือ มุมเงยหรือมุมสูงเป็นระยะทางตามทีวัดจากเส้นขอบฟ้าขึ้นไปตามวงกลมถึงที่ผ่านดาวจนถึงดาวดวงนั้นมีค่าตั้งแต่ 0-90 องศา และมีเฉพาะค่าบวกเท่านั้น (นิยมบอกตำแหน่งดาวที่อยู่เหนือเส้นขอบฟ้าเท่านั้น)

มุมอะซิมุท (Azimuth Angle) คือ เป็นค่าของมุมทีวัดจากทิศเหนือไปทางทิศตะวันออกตามแนวเส้นขอบฟ้าถึงวงกลมถึงที่ลากผ่านดาว การวัดค่าอะซิมุทจะมีค่าตั้งแต่ 0-360 องศา ปัจจุบันนิยมวัดได้ทั้งสองทิศ คือ ถ้าตำแหน่งดาวอยู่ทางซีกท้องฟ้าตะวันออกให้วัดมุมจากทิศเหนือไปทางทิศตะวันออกถึงวงกลมถึงที่ผ่านดาว เช่น ค่าอะซิมุทของดาว A เท่ากับ  $160^{\circ}$  E แต่ในกรณีที่ตำแหน่งของดาวอยู่ทางซีกท้องฟ้าตะวันตก ให้วัดมุมจากทิศเหนือไปทางตะวันตกถึงวงกลมถึงที่ผ่านดาว เป็นค่าอะซิมุทของดาว B เท่ากับ  $130^{\circ}$  W

## 2.4 ไพรานอมิเตอร์ (Pyranometer)

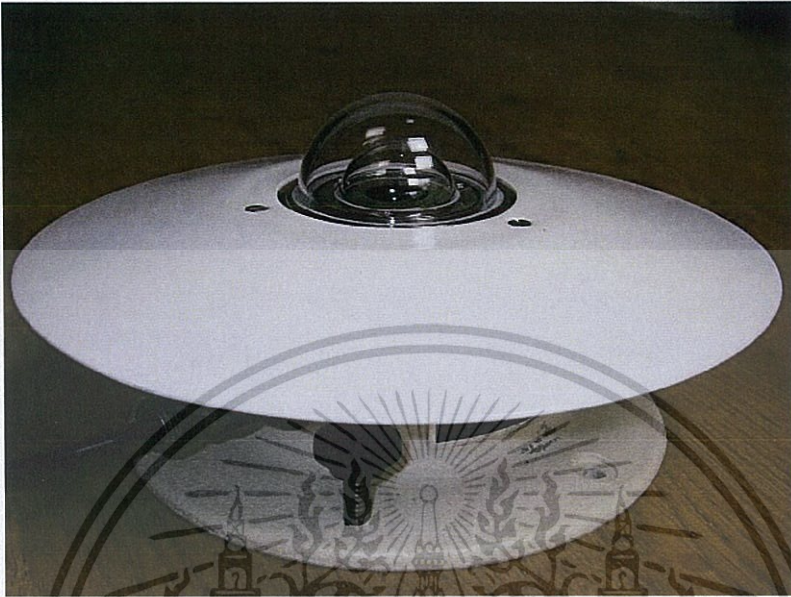


รูปที่ 2.6 ไพรานอมิเตอร์

ไพรานอมิเตอร์เป็นเครื่องมือวัดความเข้มแสงชนิดหนึ่ง โดยทั่วไปจะประกอบด้วยตัวรับแสง (light detector or receiver) ที่เป็นเทอร์โมโพล (thermopile) หลายชุดต่ออนุกรมกัน ตัวรับแสงจะบรรจุอยู่ใต้โดมแก้วหรือควอทซ์ดังรูปที่ 2.6

โดมครึ่งทรงกลมปรกติมี 2 ชั้น ทำด้วยควอทซ์หรือแก้วพิเศษที่โปร่งใสต่อช่วงสเปกตรัมแสงอาทิตย์(ประมาณ 0.4-3 ไมครอน) โดมทำหน้าที่ป้องกันตัวรับแสงจากฝน ความชื้น ฝุ่น และลม (ซึ่งจะพาความร้อนไปจากตัวรับแสง ทำให้อุณหภูมิลดลงและแรงดันไฟฟ้าลดลง) และไม่ให้อับความร้อนไปเนื่องจากการพาและการแผ่รังสีความร้อน(ควอทซ์และแก้วที่บดอ่อนอินฟราเรดแต่ที่บดเอ็กสาร์เป็นเอ็กสาร์ที่ส่งวนไว้สำหรับการใช้งานเพื่อการศึกษาเท่านั้น ไม่นับญาติให้น่าไปใช้ประโยชน์ด้านการค้าไม่ว่ากรณีใดๆ ทั้งสิ้น อีกทั้งห้ามมิให้ดัดแปลงเนื้อหา และต้องอ้างอิงถึงเจ้าของเอกสารทุกครั้งที่มีการนำไปใช้

ต่างกัน) เนื่องจากตัวรับแสงต้องวัดค่ารังสีดวงอาทิตย์ที่มาจากครึ่งทรงกลมท้องฟ้าเท่านั้น จึงต้องป้องกันรังสีที่สะท้อนจากพื้นดินและสิ่งรอบด้าน โดยมีงาน(guard)สวมอยู่โดยรอบโคมกันรังสีที่สะท้อน ตัวไพรานอมิเตอร์จะมี สกรูปรับระดับโดยปรกติจะปรับให้ตัวรับแสงอยู่ในแนวราบ



รูปที่ 2.7 ไพรานอมิเตอร์แบบ Eppley precision

รูปที่ 2.7 เป็นไพรานอมิเตอร์ชนิดดีเซ็น Eppley precision กลุ่มของ hot junction และ cold junction จะอยู่ใต้ผิวและสัมผัสกับผิวรับแสงที่ดูดแสงได้ต่างกันทำให้ผิวมีอุณหภูมิต่างกัน อุณหภูมิที่ต่างกันจะแปรตามความเข้มแสงอาทิตย์ แรงแดันไฟฟ้าที่ได้จะอยู่ประมาณ 5-10 mV/cal.cm<sup>2</sup>.min ดังนั้นการต่อเทอร์โมคัปเปิ้ลอย่างอนุกรมเป็นเทอร์โมโพล์ จะทำให้ได้แรงแดันไฟฟ้าสูงขึ้นและง่ายต่อการวัดเทอร์โมโพล์จะอยู่ใน housing โลหะซึ่งอุณหภูมิค่อนข้างคงที่ และปิดกัน ความชื้นรวมทั้งมีสารดูดความชื้นใน housing โลหะ

#### 2.4.1 คุณสมบัติของไพรานอมิเตอร์

ในการเลือกใช้ไพรานอมิเตอร์เราต้องสนใจคุณสมบัติต่อไปนี้

1. การตอบสนองโคไซน์
2. การเปลี่ยนแปลงของค่าปรับเทียบ
3. การตอบสนองต่อสเปกตรัมแสงอาทิตย์
4. เวลาการตอบสนอง
5. ค่า zero point depression

#### 2.4.2 การใช้ไพรานอมิเตอร์วัดรังสีกระจาย

การวัดรังสีกระจายจะใช้ไพรานอมิเตอร์ที่วัดรังสีรวมแต่มีเครื่องบังรังสีตรงที่กันไม่ให้รังสีตรงไปตกกระทบผิวรับแสง เครื่องบังรังสีตรงมี 2 ลักษณะ คือ

เอกสารนี้เป็นเอกสารที่สงวนไว้สำหรับการใช้งานเพื่อการศึกษาเท่านั้น ไม่อนุญาตให้นำไปใช้ประโยชน์ด้านการค้า ไม่ว่ากรณีใดๆ ทั้งสิ้น อีกทั้งห้ามมิให้ดัดแปลงเนื้อหา และต้องอ้างอิงถึงเจ้าของเอกสารทุกครั้งที่มีการนำไปใช้



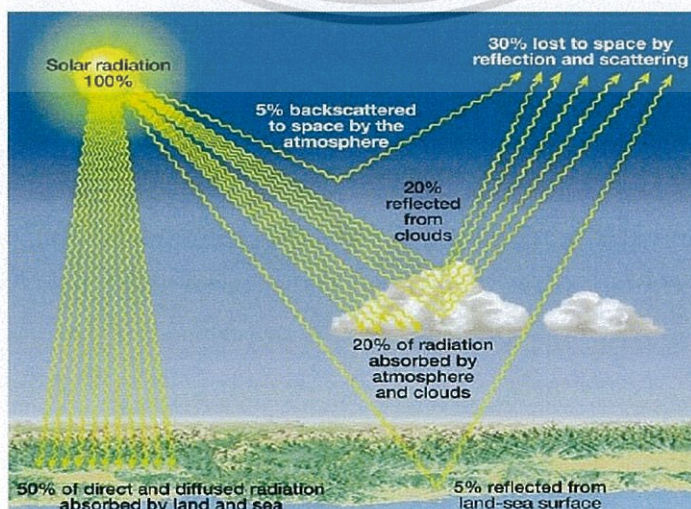
รูปที่ 2.8 ไพรานอมิเตอร์ที่ติดตั้งวงแหวนบังแสง

1. แผ่นวงกลมบังแสง (shading disc) เป็นแผ่นวงกลมเล็กที่กั้นไม่ให้รังสีตรงตกกระทบผิวรับแสง ขนาดของชิ้นวงกลมต้องทำให้เกิดเงาพอดีกับขนาดผิวรับแสง เนื่องจากการเปลี่ยนทิศทางของรังสีตลอดเวลา ชิ้นวงกลมจะต้องต่อกับเครื่องมือตามแสงอาทิตย์ เงาของแผ่นวงกลมจะตกบนผิวรับแสงตลอดเวลา รังสีที่ตกบนผิวรับแสงจึงเป็นรังสีกระจาย

2. วงแหวนบังแสง (Shading ring) เป็นแถบโลหะโค้ง ซึ่งวางให้เงาตกบนผิวรับแสง วงแหวนจะวางเอียงให้ระนาบของวงแหวนเท่ากับเส้นรุ้งของที่ตั้งและขยับตามฤดูกาลให้เงาของวงแหวนตกบนผิวรับแสงเสมอ ดังรูปที่ 2.8 นอกจากบังรังสีตรงแล้วยังบังรังสีกระจายบางส่วนไม่ให้ตกบนผิวรับแสงด้วย จึงต้องมีค่าชดเชย (correction factor) ปรับค่าที่อ่านได้จากไพรานอมิเตอร์ค่าชดเชยนี้ขึ้นกับขนาดของวงแหวนเส้นรุ้งที่ตั้งและฤดูกาล

## 2.5 รังสีประเภทต่างๆ

เนื่องจากการวัดรังสีของไพรานอมิเตอร์นั้นเกี่ยวข้องกับรังสีของแสงอาทิตย์โดยตรง และรังสีแต่ละชนิดจะส่งผลกับไพรานอมิเตอร์ต่างกัน ซึ่งรังสีนั้นจะแบ่งออกได้หลายลักษณะดังรูปที่ 2.9



เอกสารนี้เป็นเอกสารที่สงวนไว้สำหรับรูปที่ 2.9 รังสีในลักษณะต่างๆ ไม่อนุญาตให้นำไปใช้ประโยชน์ด้านการค้าไม่ว่ากรณีใดๆ ทั้งสิ้น อีกทั้งห้ามมิให้ดัดแปลงเนื้อหา และต้องอ้างอิงถึงเจ้าของเอกสารทุกครั้งที่มีการนำไปใช้

### 2.5.1 รังสีตรง (Beam or Direct radiation)

รังสีที่มาจากดวงอาทิตย์มีทิศทางที่แน่นอนมาตกกระทบยังผิวรับแสง

### 2.5.2 รังสีกระจาย (Diffuse radiation)

รังสีของดวงอาทิตย์ที่สะท้อนจากเมฆหรือฝุ่นละอองในอากาศแล้วมาตกกระทบที่ผิวรับแสง

### 2.5.3 รังสีรวม (Total or Global radiation)

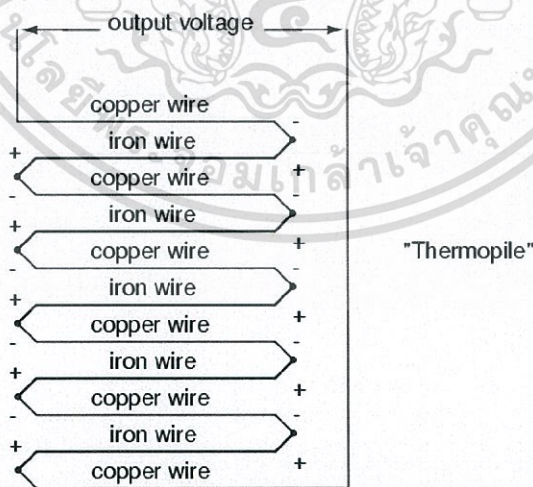
ผลรวมของรังสีตรงและรังสีกระจายที่ตกกระทบบนผิวรับแสง

## 2.6 เทอร์โมไพล์ (Thermopile)



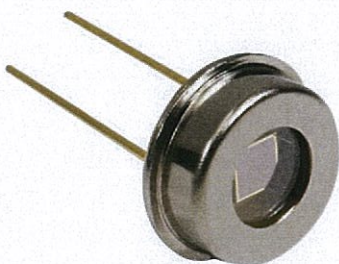
รูปที่ 2.10 เทอร์โมไพล์ (Thermopile)

เทอร์โมไพล์เป็นอุปกรณ์วัดความเข้มแสงชนิดหนึ่งดังรูปที่ 2.10 ที่เปลี่ยนความร้อนมาเป็นไฟฟ้าซึ่งประกอบด้วยเทอร์โมคัปเปิ้ลหลายชนิดต่อกันดังรูปที่ 2.11



รูปที่ 2.11 แสดงโครงสร้างของเทอร์โมไพล์

## 2.7 โฟโตไดโอด (Photodiode)



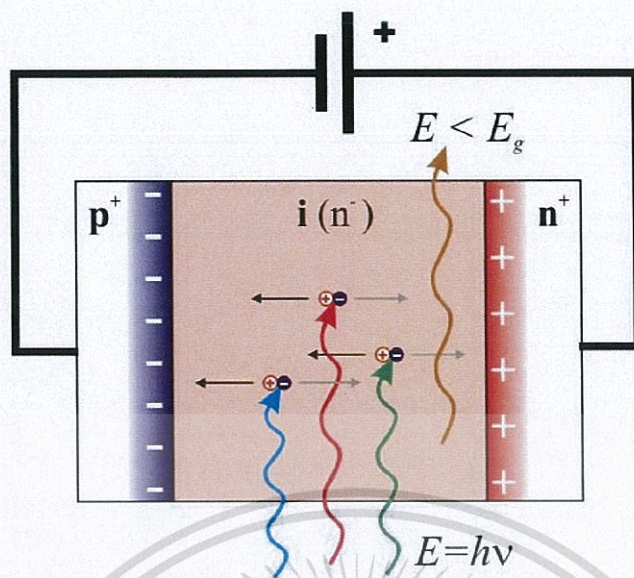
รูปที่ 2.12 โฟโตไดโอด

โฟโตไดโอดเป็นอุปกรณ์เชิงแสงชนิดหนึ่งดังรูปที่ 2.12 ประกอบด้วยสารกึ่งตัวนำชนิด P และสารกึ่งตัวนำชนิด N รอยต่อจะถูกห่อหุ้มด้วยวัสดุที่แสงผ่านได้ เช่น กระจกใส โฟโตไดโอดจะมีอยู่ 2 แบบคือ แบบที่ตอบสนองต่อแสงที่เรามองเห็น และแบบที่ตอบสนองต่อแสงในย่านอินฟราเรดในการใช้งานจะต้องต่อโฟโตไดโอดในลักษณะไบอัสกลับ



รูปที่ 2.13 สัญลักษณ์โฟโตไดโอด

ตัวลูกศรเป็นสัญลักษณ์แทนสารกึ่งตัวนำชนิด P ซึ่งเป็นซิลิโคน (ซิลิโคน) ของไดโอด ลูกศรจะชี้ในทิศทางที่โฮลเคลื่อนที่ดังรูปที่ 2.13 ส่วนขีดคั่นเป็นสารกึ่งตัวนำชนิด N ซึ่งเป็นซิลิโคน (ซิลิโคน) ดังนั้นเราจะสามารถพิจารณาว่าไดโอดถูกไบอัสตรงหรือไบอัสกลับได้ง่ายๆ โดยดูว่าถ้าซิลิโคนมีศักย์ไฟฟ้าเป็นบวกมากกว่าแคโทดแล้วไดโอดจะถูกไบอัสตรง แต่ถ้าซิลิโคนมีศักย์ไฟฟ้าเป็นบวกน้อยกว่าซิลิโคนไดโอดจะถูกไบอัสกลับ



รูปที่ 2.14 หลักการทำงานของโฟโตไดโอด

รูปที่ 2.14 แสดงการทำงานของโฟโตไดโอดนั้นต้องต่อในลักษณะไบอัสกลับ จะมีความต้านทานในตัวโฟโตไดโอดสูงมาก ตัวโฟโตไดโอดจึงไม่นำกระแสอาจมีเพียงกระแสรั่วไหลที่เรียกว่า กระแสมืด ไหลผ่านเล็กน้อย เมื่อมีแสงมาตกกระทบตรงรอยต่อ แสงที่ตกกระทบถูกเปลี่ยนไปเป็นพลังงานโฟตอน ทำให้ค่าดีพลีชันรีจัน (Depletion Region) ตรงรอยต่อพีเอ็นแคบลง หรือค่าความต้านทานในตัวโฟโตไดโอดต่ำลงมาก เกิดกระแสไบอัสกลับไหลผ่านตัวโฟโตไดโอดมากขึ้น

## บทที่ 3

### วิธีการดำเนินงานวิจัย

#### 3.1 การคำนวณหาประสิทธิภาพของไดโอด

ในโครงการนี้เราได้เลือกใช้โฟโตไดโอด 4 ชนิดและโฟโตไดโอดที่ใช้ในโครงการพิเศษที่แล้ว มาร่วมพิจารณาด้วยรวมเป็น 5 ชนิด คือ BPW21R, S1223, VTB8440BH, VTB5041BH, S5973 โดยเราจะคำนวณค่า Signal to noise ratio (SNR) ถ้า SNR มีค่ามากแสดงว่าค่าสัญญาณรบกวนจะน้อยโดยมีการคำนวณดังต่อไปนี้

ตารางที่ 3.1 แสดงค่าข้อมูลของโฟโตไดโอดแต่ละชนิด

Type	Sensitive Area (mm <sup>2</sup> )	Responsivity (A/W)	NEP (W/Hz <sup>1/2</sup> )	Price (BTH)
BPW21R	7.5	0.32	$7.5 \times 10^{-14}$	350
S1223	6.6	0.6	$9.4 \times 10^{-15}$	840
VTB8440BH	5.16	0.2	$1.1 \times 10^{-13}$	95.70
VTB5041BH	5.16	0.23	$1.3 \times 10^{-14}$	812
S5973	0.12	0.52	$1.5 \times 10^{-15}$	1151

##### 3.1.1 Signal

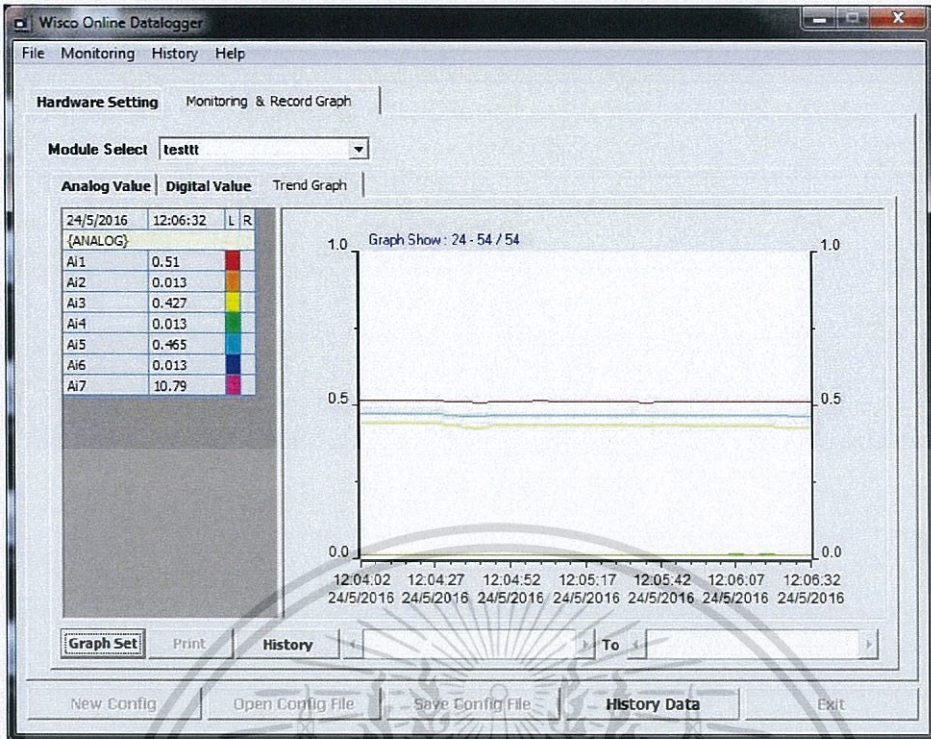
$$\begin{aligned} I_{BPW21R} &= (1000 \text{ W/m}^2) \times (7.5 \times 10^{-6} \text{ m}^2) \times (0.32 \text{ A/W}) = 2.4 \times 10^{-3} \text{ A} \\ I_{S1223} &= (1000 \text{ W/m}^2) \times (6.6 \times 10^{-6} \text{ m}^2) \times (0.6 \text{ A/W}) = 3.96 \times 10^{-3} \text{ A} \\ I_{VTB8440BH} &= (1000 \text{ W/m}^2) \times (5.16 \times 10^{-6} \text{ m}^2) \times (0.2 \text{ A/W}) = 1.032 \times 10^{-3} \text{ A} \\ I_{VTB5041BH} &= (1000 \text{ W/m}^2) \times (5.16 \times 10^{-6} \text{ m}^2) \times (0.23 \text{ A/W}) = 1.1868 \times 10^{-3} \text{ A} \\ I_{S5973} &= (1000 \text{ W/m}^2) \times (0.12 \times 10^{-6} \text{ m}^2) \times (0.52 \text{ A/W}) = 6.24 \times 10^{-3} \text{ A} \end{aligned}$$

##### 3.1.2 Noise

$$\begin{aligned} I_{BPW21R} &= (0.32 \text{ A/W}) \times (7.5 \times 10^{-14} \text{ A/Hz}^{1/2}) = 2.4 \times 10^{-14} \text{ A} \\ I_{S1223} &= (0.6 \text{ A/W}) \times (9.4 \times 10^{-15} \text{ A/Hz}^{1/2}) = 5.64 \times 10^{-15} \text{ A} \\ I_{VTB8440BH} &= (0.2 \text{ A/W}) \times (1.1 \times 10^{-13} \text{ A/Hz}^{1/2}) = 2.2 \times 10^{-14} \text{ A} \\ I_{VTB5041BH} &= (0.23 \text{ A/W}) \times (1.3 \times 10^{-14} \text{ A/Hz}^{1/2}) = 2.99 \times 10^{-15} \text{ A} \\ I_{S5973} &= (0.52 \text{ A/W}) \times (1.5 \times 10^{-15} \text{ A/Hz}^{1/2}) = 7.8 \times 10^{-16} \text{ A} \end{aligned}$$

เอกสารนี้เป็นเอกสารที่สงวนไว้สำหรับการใช้งานเพื่อการศึกษาเท่านั้น ไม่อนุญาตให้นำไปใช้ประโยชน์ด้านการค้า ไม่ว่ากรณีใดๆ ทั้งสิ้น อีกทั้งห้ามมิให้ดัดแปลงเนื้อหา และต้องอ้างอิงถึงเจ้าของเอกสารทุกครั้งที่มีการนำไปใช้



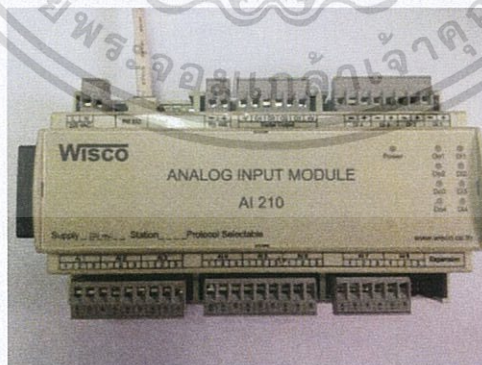


รูปที่ 3.2.2 หน้าจอแสดงผลขณะทำการบันทึกค่า

### 3.3 อุปกรณ์ที่ใช้ในการทดลอง

ในการทดลองจะประกอบไปด้วยอุปกรณ์ดังต่อไปนี้

1. DATA LOGGER
2. Computer
3. PYRANOMETER(ตัวมาตรฐาน)
4. SOLID STATE PYRANOMETER ทั้ง 5 ชนิด

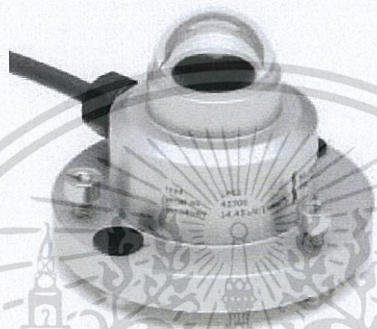


รูปที่ 3.3.1 DATA LOGGER

เอกสารนี้เป็นเอกสารที่สงวนไว้สำหรับการใช้งานเพื่อการศึกษาเท่านั้น ไม่อนุญาตให้นำไปใช้ประโยชน์ด้านการค้า  
ไม่ว่ากรณีใดๆ ทั้งสิ้น อีกทั้งห้ามมิให้ดัดแปลงเนื้อหา และต้องอ้างอิงถึงเจ้าของเอกสารทุกครั้งที่มีการนำไปใช้



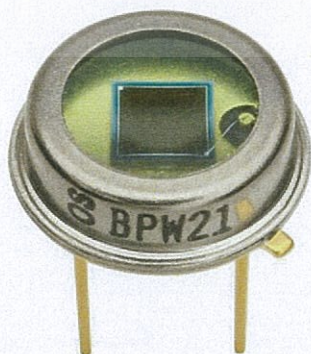
รูปที่ 3.3.2 Computer



รูปที่ 3.3.3 PYRANOMETER (ตัวมาตรฐาน)



รูปที่ 3.3.4.1 โฟโตไดโอดชนิด S1223



รูปที่ 3.3.4.2 โฟโตไดโอดชนิด BPW21R

เอกสารนี้เป็นเอกสารที่สงวนไว้สำหรับการใช้งานเพื่อการศึกษาเท่านั้น ไม่อนุญาตให้นำไปใช้ประโยชน์ด้านการค้า  
ไม่ว่ากรณีใดๆ ทั้งสิ้น อีกทั้งห้ามมิให้ดัดแปลงเนื้อหา และต้องอ้างอิงถึงเจ้าของเอกสารทุกครั้งที่มีการนำไปใช้



รูปที่ 3.3.4.3 โฟโตไดโอดชนิด VTB8440BH



รูปที่ 3.3.4.4 โฟโตไดโอดชนิด VTB5041BH



รูปที่ 3.3.4.5 โฟโตไดโอดชนิด S5973

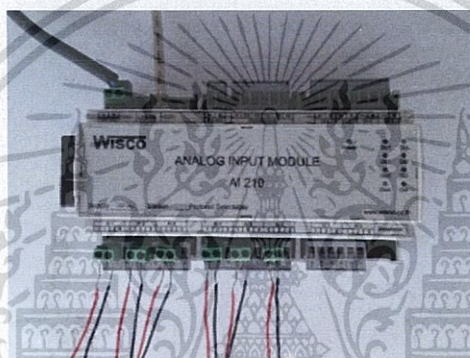
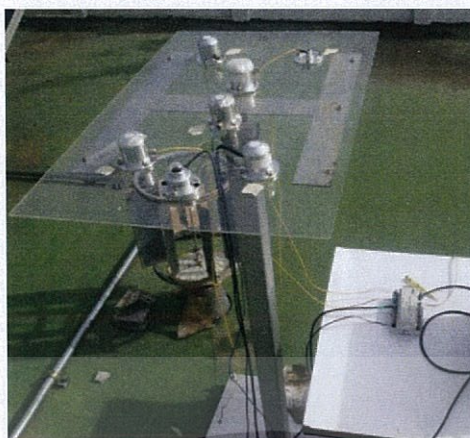
### 3.4 วิธีการทดลอง

การทดลองจะเริ่มจากการนำตัวไพรานอมิเตอร์ที่ทำจากโฟโตไดโอดทั้ง 5 ชนิด และไพรานอมิเตอร์ตัวมาตรฐานไปติดตั้งเข้ากับฐาน โดยจะทำมุมขนานกับแนวระดับ



เอกสารนี้เป็นเอกสารที่สงวนไว้สำหรับรูปที่ 3.4.1 ติดตั้งไพรานอมิเตอร์เข้ากับฐาน ญาติให้นำไปใช้ประโยชน์ด้านการค้า  
ไม่ว่ากรณีใดๆ ทั้งสิ้น อีกทั้งห้ามมิให้ดัดแปลงเนื้อหา และต้องอ้างอิงถึงเจ้าของเอกสารทุกครั้งที่มีการนำไปใช้

จากนั้นจะทำการต่อไพรานอมิเตอร์เข้ากับตัวบันทึกผล(DATA LOGGER)



รูปที่ 3.4.2 ต่อไพรานอมิเตอร์เข้ากับตัวบันทึกผล(DATA LOGGER)

โดยตัวบันทึกผล(DATA LOGGER)จะต่อเข้ากับคอมพิวเตอร์และเปิดโปรแกรมเพื่อทำการบันทึกค่า



รูปที่ 3.4.3 หน้าจอแสดงผลขณะทำการบันทึกค่า

เอกสารนี้เป็นเอกสารที่สงวนลิขสิทธิ์ หากท่านใดนำเอกสารนี้ไปใช้โดยไม่ได้รับอนุญาตให้ถือว่าผิดกฎหมาย และต้องแจ้งถึงเจ้าของเอกสารทุกครั้งที่มีการนำไปใช้

## บทที่ 4

# ผลการวิจัยและการอภิปรายผล

### 4.1 ผลการทดลอง

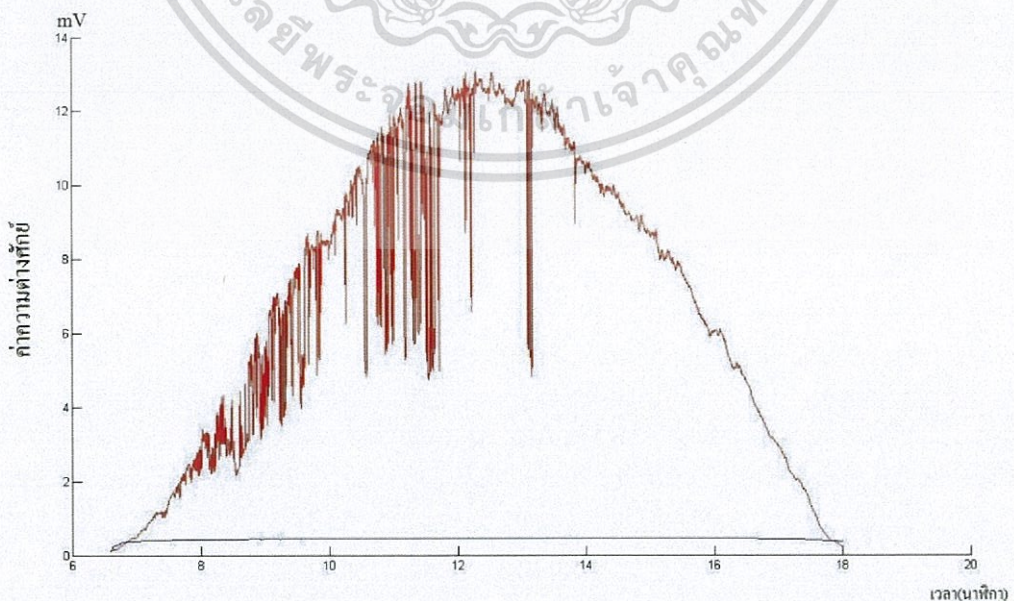
ผลการทดลองที่ได้นี้เป็นการนำผลของโฟโต้ไดโอดแต่ละชนิดมาเปรียบเทียบกับค่าตัวมาตรฐานผ่านกราฟ โดยโฟโต้ไดโอดทั้ง 5 ชนิดได้แก่

1. โฟโต้ไดโอดชนิด VTB8440BH
2. โฟโต้ไดโอดชนิด S5973
3. โฟโต้ไดโอดชนิด BPW21R
4. โฟโต้ไดโอดชนิด VTB5041BH
5. โฟโต้ไดโอดชนิด S1223

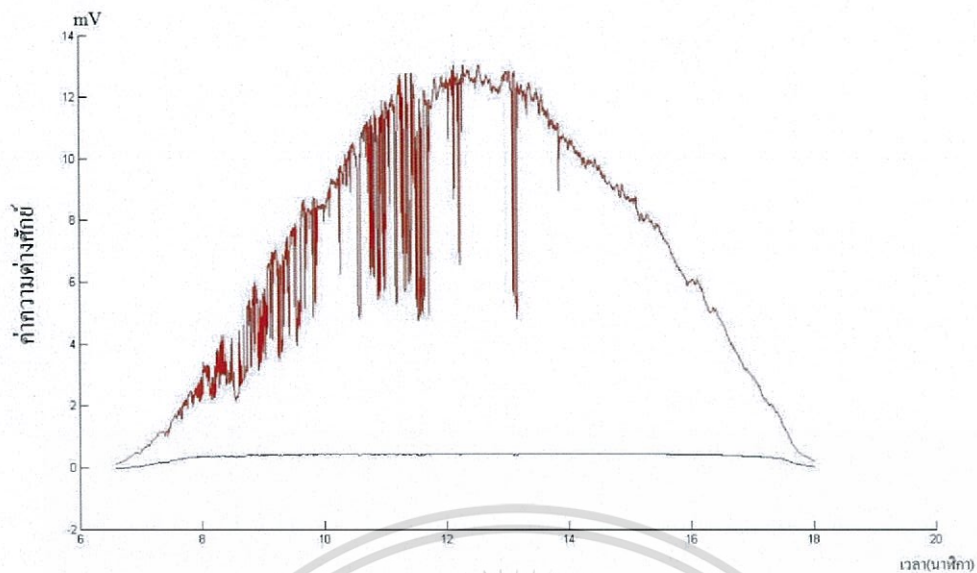
โดยเวลาที่ทำการบันทึกค่าจะเริ่มตั้งแต่ 6.00 น.-18.00 น. บันทึกค่าทุก 5 วินาที ซึ่งผลการทดลองที่ได้ในช่วง 17 วัน ทำให้รู้ว่าเกิดปัญหาขึ้นกับการทดลองโดยการเปรียบเทียบในกราฟ โฟโต้ไดโอดแต่ละชนิดเมื่อถึงค่าสูงสุดค่าหนึ่งผลที่ได้ในเวลาต่อมาจะค่อนข้างคงที่ แม้ว่าแสงอาทิตย์จะมีความเข้มลดลง ผลที่ได้ก็จะไม่ค่อยเปลี่ยนแปลงมากเท่ากับตัวมาตรฐาน ถ้าดูจากกราฟจะเห็นความแตกต่างชัดเจน

รายละเอียดของกราฟมีดังนี้

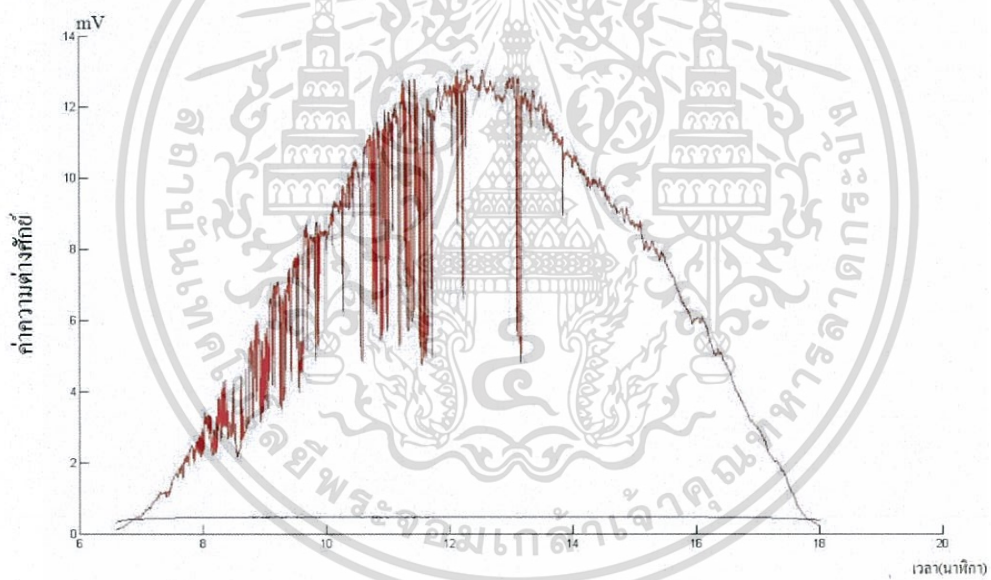
1. แกน Y แสดงค่าความต่างศักย์ที่วัดได้ หน่วย mV
2. แกน X แสดงช่วงเวลาที่ทำการบันทึกค่าตั้งแต่ 6.00 น. - 18.00 น.
3. กราฟเส้นสีแดงแสดงค่าของไพรานอมิเตอร์ตัวมาตรฐาน
4. กราฟเส้นสีน้ำเงินแสดงค่าของไพรานอมิเตอร์ที่ประดิษฐ์ขึ้น



รูปที่ 4.1.1 กราฟแสดงค่าเปรียบเทียบระหว่างตัวมาตรฐานกับโฟโต้ไดโอด VTB8440BH วันที่ 1 เอกสารนี้เป็นเอกสารที่สงวนไว้สำหรับการใช้งานเพื่อการศึกษาเท่านั้น ไม่อนุญาตให้นำไปใช้ประโยชน์ด้านการค้า ไม่ว่าจะกรณีใดๆ ทั้งสิ้น อีกทั้งห้ามมิให้ดัดแปลงเนื้อหา และต้องอ้างอิงถึงเจ้าของเอกสารทุกครั้งที่มีการนำไปใช้

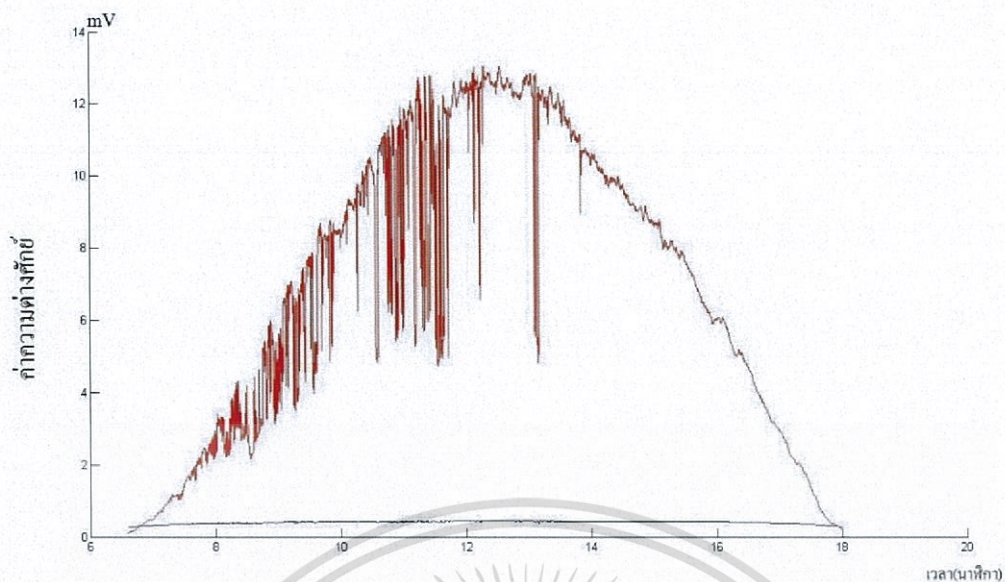


รูปที่ 4.1.2 กราฟแสดงค่าเปรียบเทียบระหว่างตัวมาตรฐานกับโพไตโดอิต S5973วันที่ 1

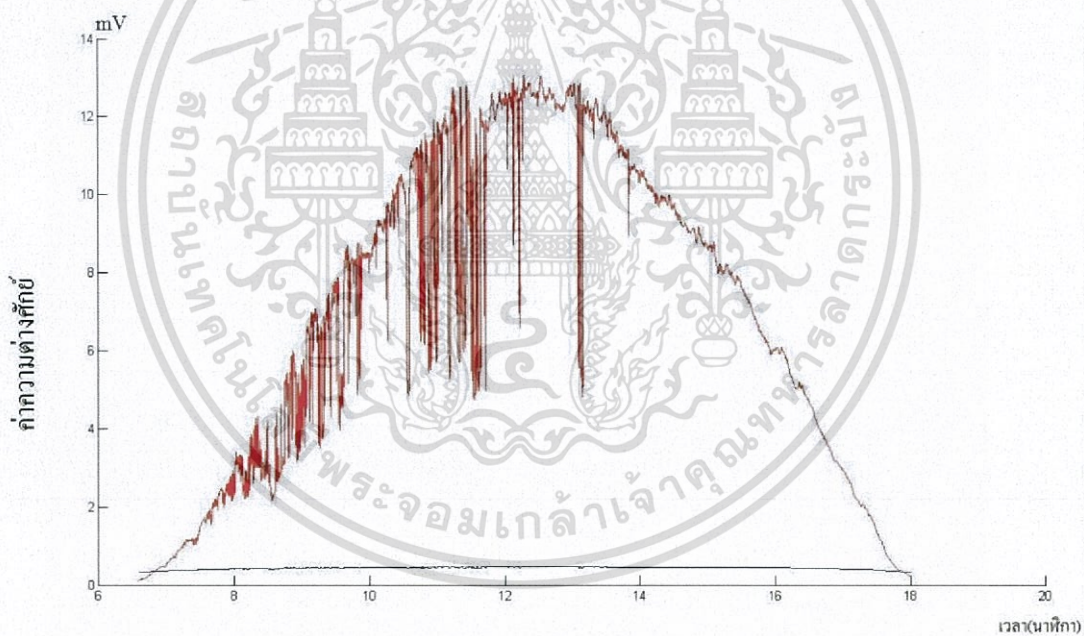


รูปที่ 4.1.3 กราฟแสดงค่าเปรียบเทียบระหว่างตัวมาตรฐานกับโพไตโดอิต BPW21R วันที่ 1

เอกสารนี้เป็นเอกสารที่สงวนไว้สำหรับการใช้งานเพื่อการศึกษาเท่านั้น ไม่อนุญาตให้นำไปใช้ประโยชน์ด้านการค้า  
ไม่ว่ากรณีใดๆ ทั้งสิ้น อีกทั้งห้ามมิให้ดัดแปลงเนื้อหา และต้องอ้างอิงถึงเจ้าของเอกสารทุกครั้งที่มีการนำไปใช้

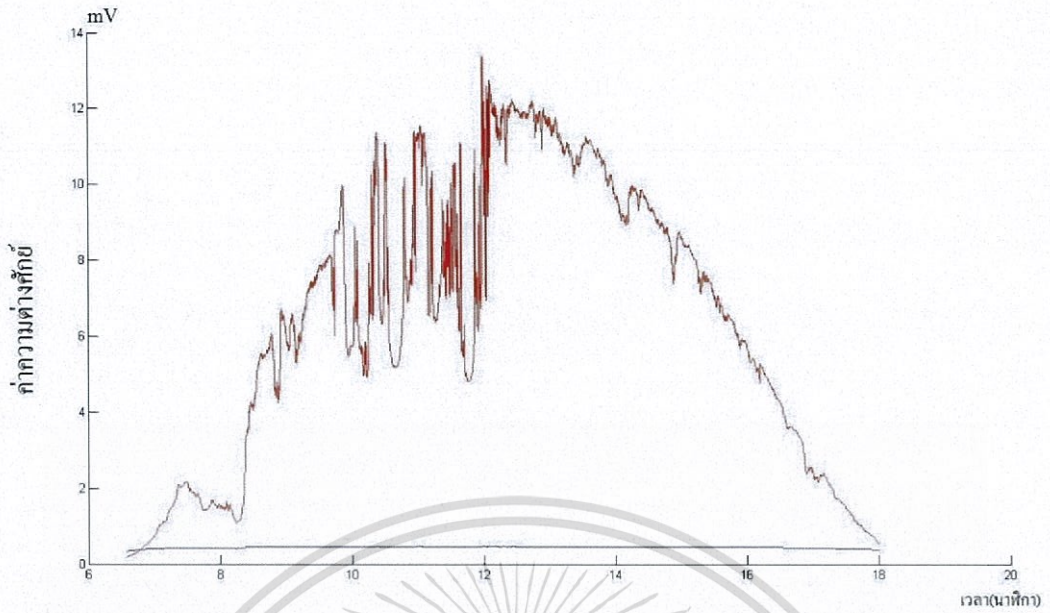


รูปที่ 4.1.4 กราฟแสดงค่าเปรียบเทียบระหว่างตัวมาตรฐานกับโฟโต้ไดโอด VTB5041BH วันที่ 1

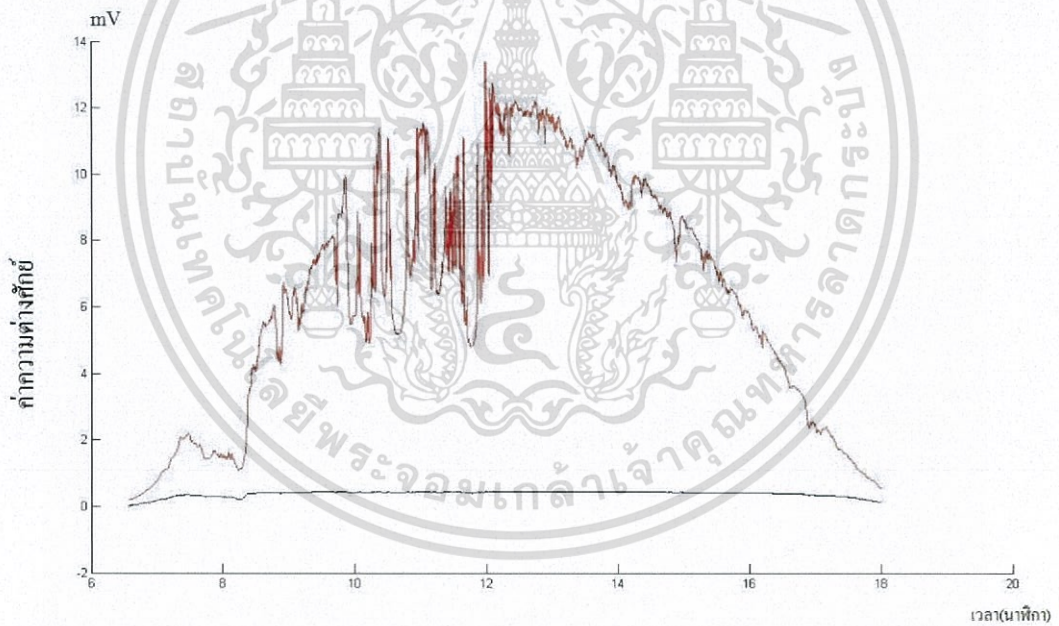


รูปที่ 4.1.5 กราฟแสดงค่าเปรียบเทียบระหว่างตัวมาตรฐานกับโฟโต้ไดโอด S1223 วันที่ 1

เอกสารนี้เป็นเอกสารที่สงวนไว้สำหรับการใช้งานเพื่อการศึกษาเท่านั้น ไม่อนุญาตให้นำไปใช้ประโยชน์ด้านการค้า  
ไม่ว่ากรณีใดๆ ทั้งสิ้น อีกทั้งห้ามมิให้ดัดแปลงเนื้อหา และต้องอ้างอิงถึงเจ้าของเอกสารทุกครั้งที่มีการนำไปใช้

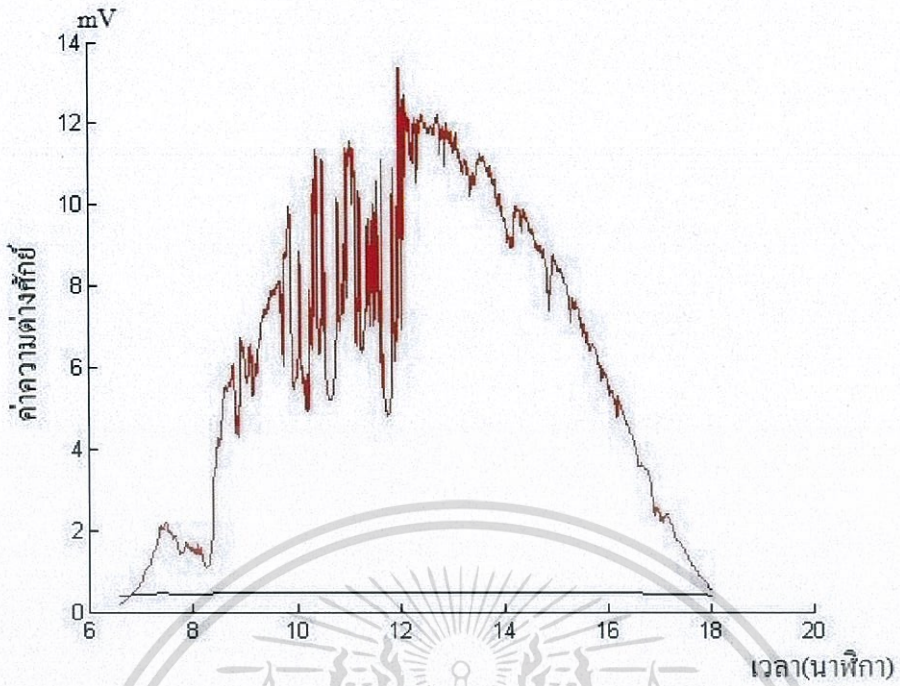


รูปที่ 4.1.6 กราฟแสดงค่าเปรียบเทียบระหว่างตัวมาตรฐานกับโฟโต้ไดโอด VTB8440BH วันที่ 2

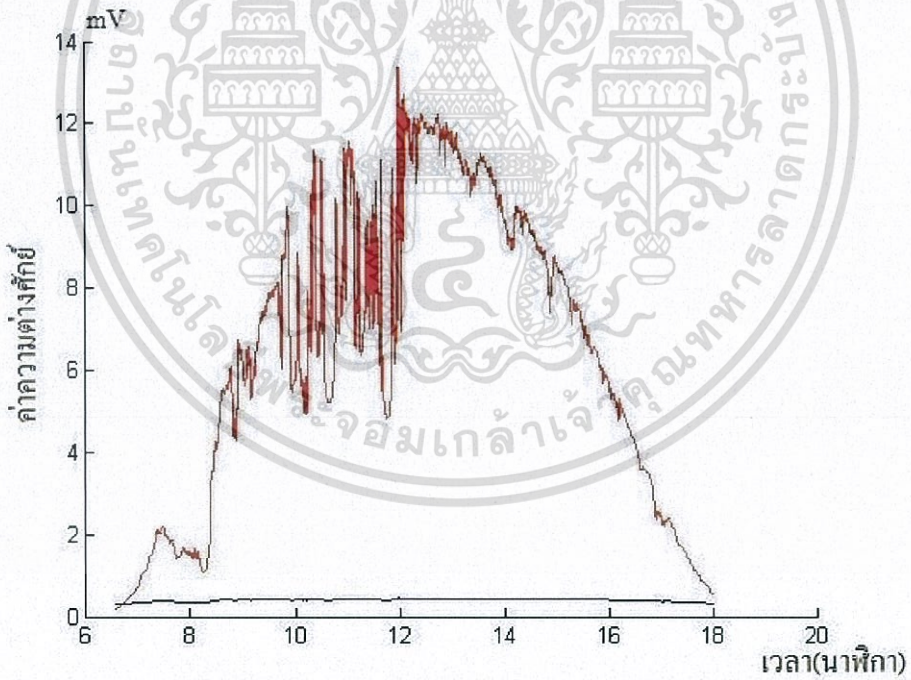


รูปที่ 4.1.7 กราฟแสดงค่าเปรียบเทียบระหว่างตัวมาตรฐานกับโฟโต้ไดโอด S5973 วันที่ 2

เอกสารนี้เป็นเอกสารที่สงวนไว้สำหรับการใช้งานเพื่อการศึกษาเท่านั้น ไม่อนุญาตให้นำไปใช้ประโยชน์ด้านการค้า  
ไม่ว่ากรณีใดๆ ทั้งสิ้น อีกทั้งห้ามมิให้ดัดแปลงเนื้อหา และต้องอ้างอิงถึงเจ้าของเอกสารทุกครั้งที่มีการนำไปใช้

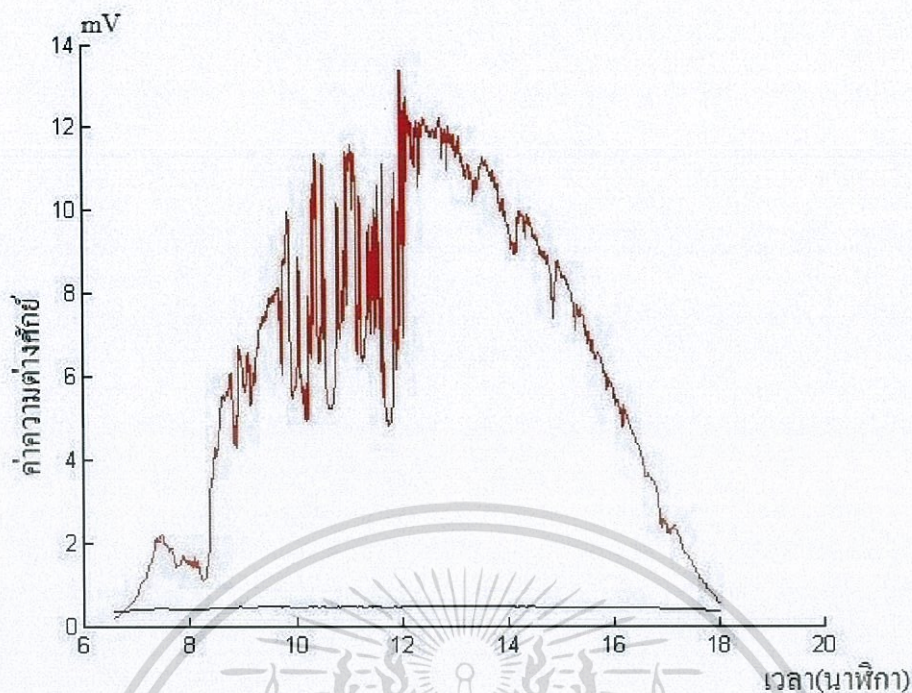


รูปที่ 4.1.8 กราฟแสดงค่าเปรียบเทียบระหว่างตัวมาตรฐานกับโฟโตไดโอด BPW21R วันที่ 2

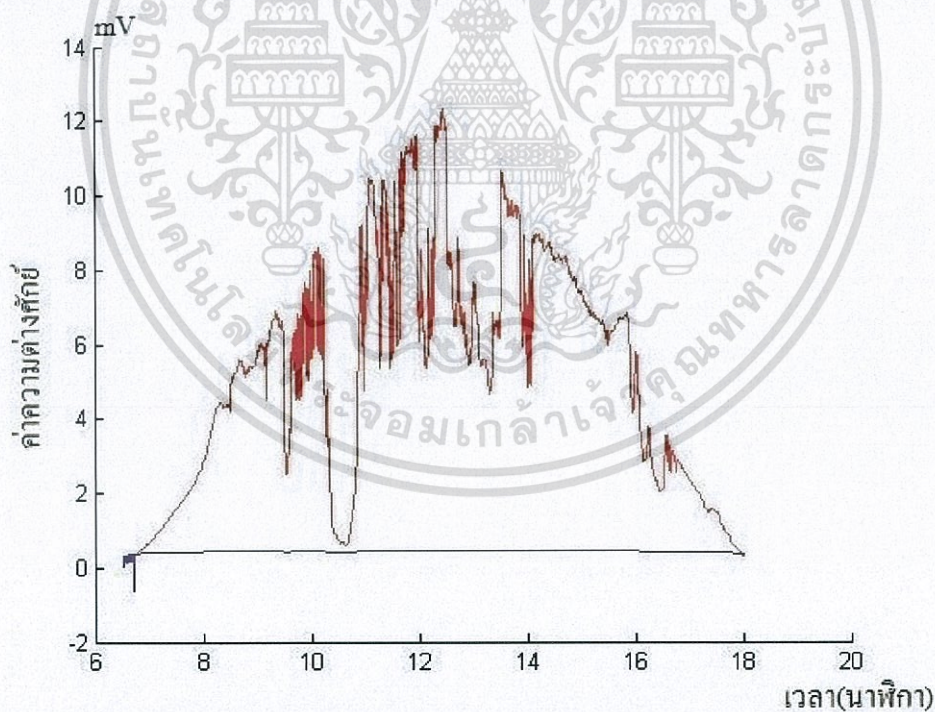


รูปที่ 4.1.9 กราฟแสดงค่าเปรียบเทียบระหว่างตัวมาตรฐานกับโฟโตไดโอด VTB5041BH วันที่ 2

เอกสารนี้เป็นเอกสารที่สงวนไว้สำหรับการใช้งานเพื่อการศึกษาเท่านั้น ไม่อนุญาตให้นำไปใช้ประโยชน์ด้านการค้า  
ไม่ว่ากรณีใดๆ ทั้งสิ้น อีกทั้งห้ามมิให้ดัดแปลงเนื้อหา และต้องอ้างอิงถึงเจ้าของเอกสารทุกครั้งที่มีการนำไปใช้

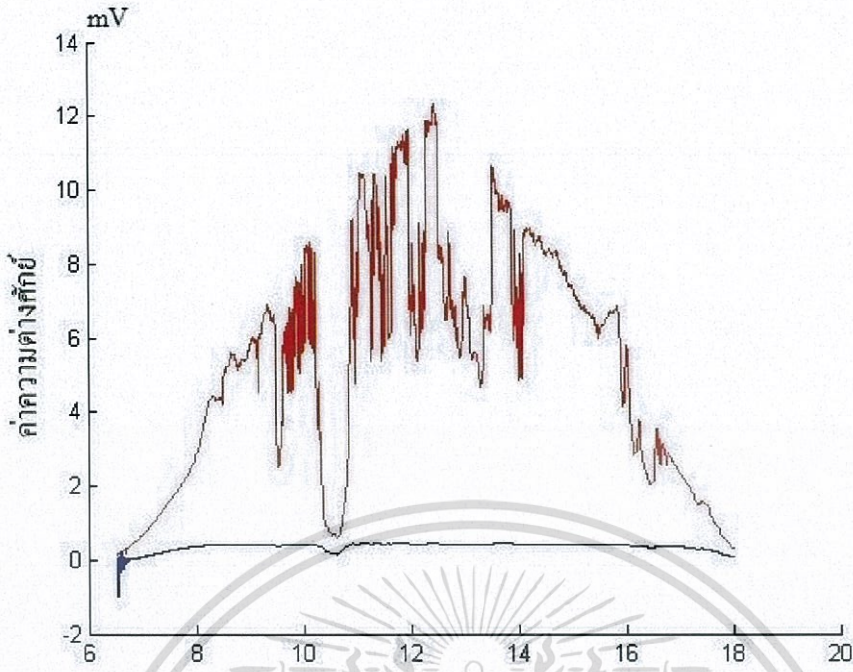


รูปที่ 4.1.10 กราฟแสดงค่าเปรียบเทียบระหว่างตัวมาตรฐานกับโฟโต้ไดโอด S1223 วันที่ 2



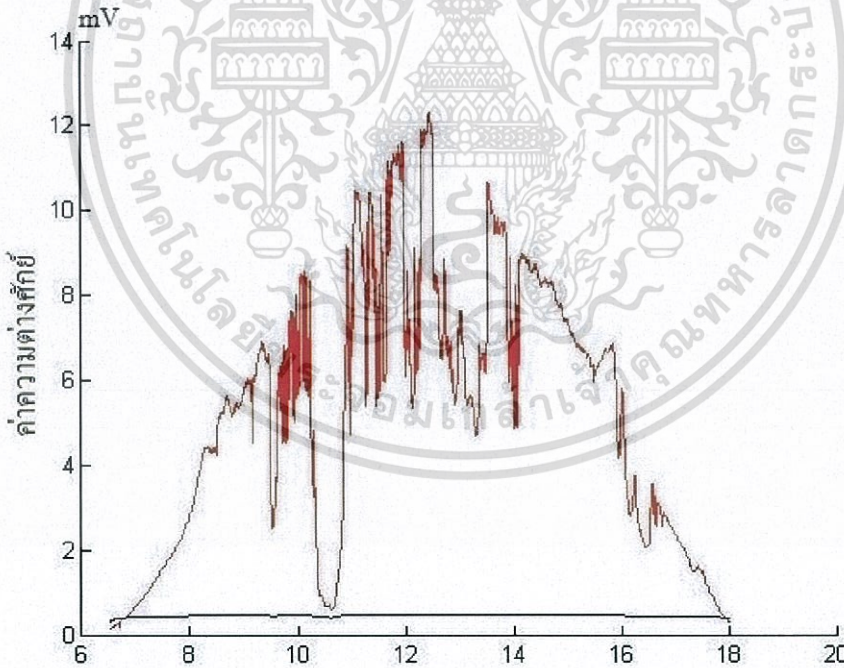
รูปที่ 4.1.11 กราฟแสดงค่าเปรียบเทียบระหว่างตัวมาตรฐานกับโฟโต้ไดโอด VTB8440BH วันที่ 3

เอกสารนี้เป็นเอกสารที่สงวนไว้สำหรับการใช้งานเพื่อการศึกษาเท่านั้น ไม่อนุญาตให้นำไปใช้ประโยชน์ด้านการค้า  
ไม่ว่ากรณีใดๆ ทั้งสิ้น อีกทั้งห้ามมิให้ดัดแปลงเนื้อหา และต้องอ้างอิงถึงเจ้าของเอกสารทุกครั้งที่มีการนำไปใช้



เวลา(นาฬิกา)

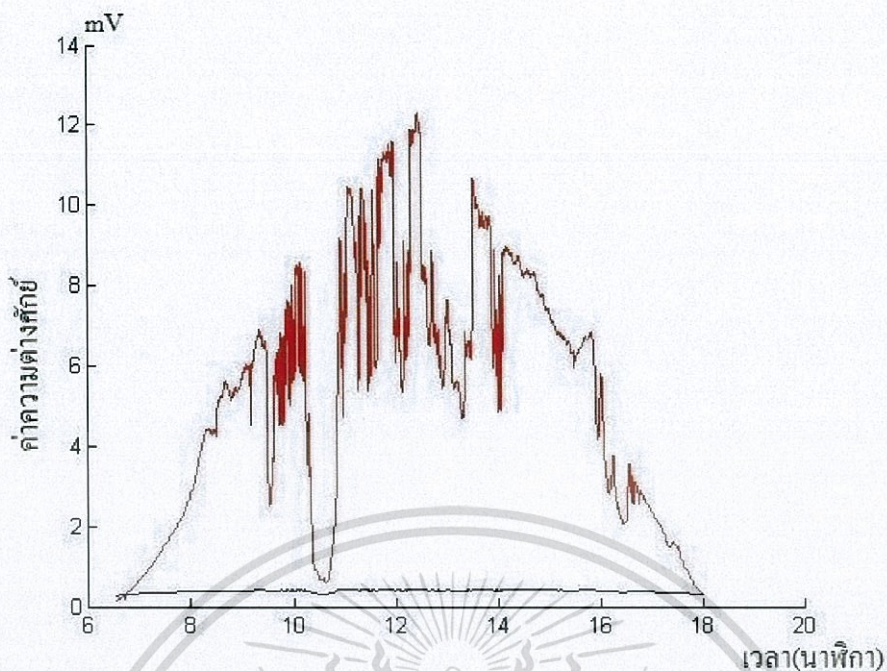
รูปที่ 4.1.12 กราฟแสดงค่าเปรียบเทียบระหว่างตัวมาตรฐานกับโฟโต้ไดโอด S5973 วันที่ 3



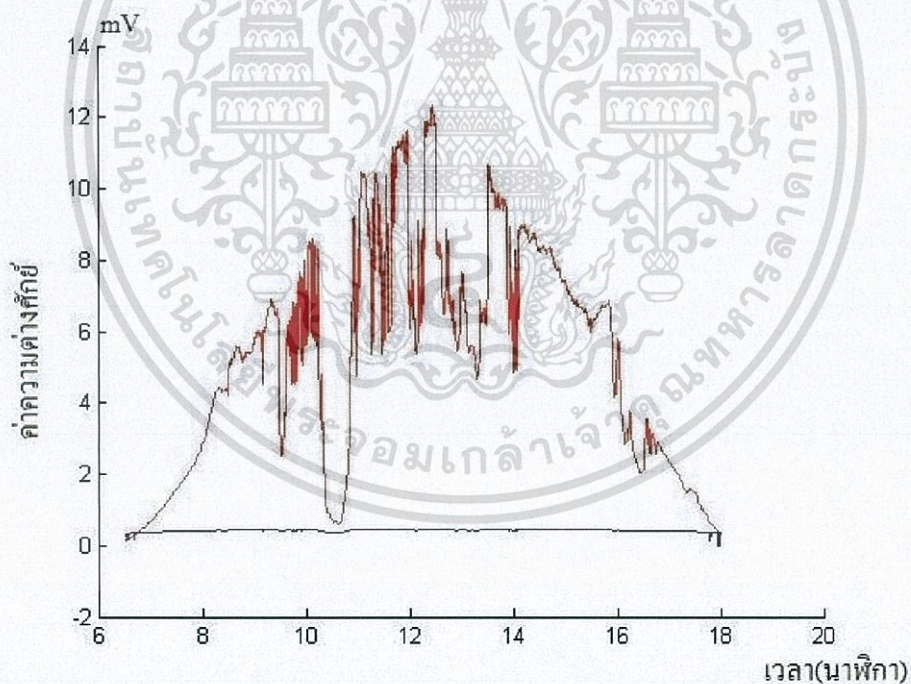
เวลา(นาฬิกา)

รูปที่ 4.1.13 กราฟแสดงค่าเปรียบเทียบระหว่างตัวมาตรฐานกับโฟโต้ไดโอด BPW21R วันที่ 3

เอกสารนี้เป็นเอกสารที่สงวนไว้สำหรับการใช้งานเพื่อการศึกษาเท่านั้น ไม่อนุญาตให้นำไปใช้ประโยชน์ด้านการค้า  
ไม่ว่ากรณีใดๆ ทั้งสิ้น อีกทั้งห้ามมิให้ดัดแปลงเนื้อหา และต้องอ้างอิงถึงเจ้าของเอกสารทุกครั้งที่มีการนำไปใช้

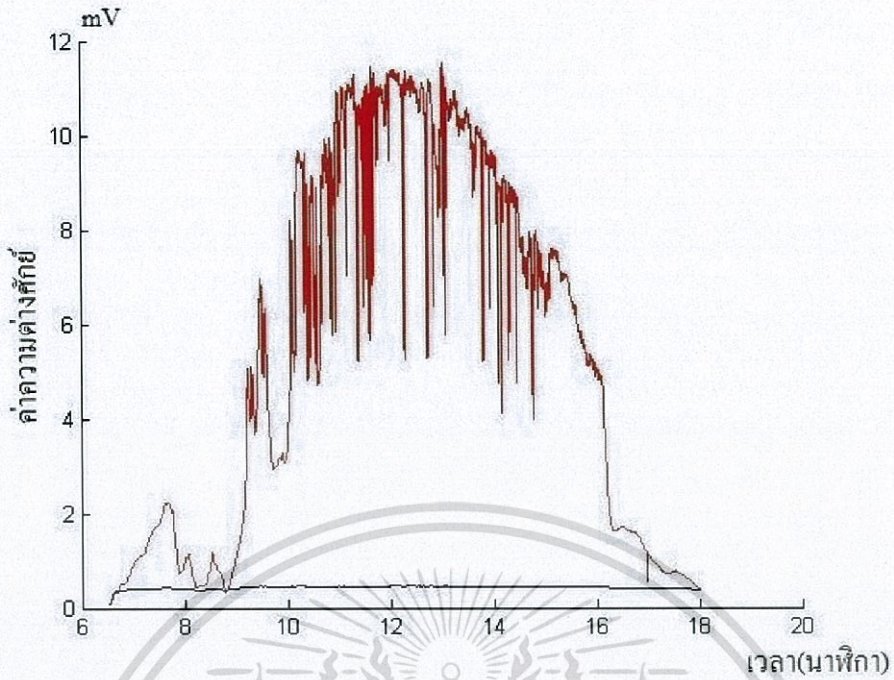


รูปที่ 4.1.14 กราฟแสดงค่าเปรียบเทียบระหว่างตัวมาตรฐานกับโพไตโดอิต VTB5041BH วันที่ 3

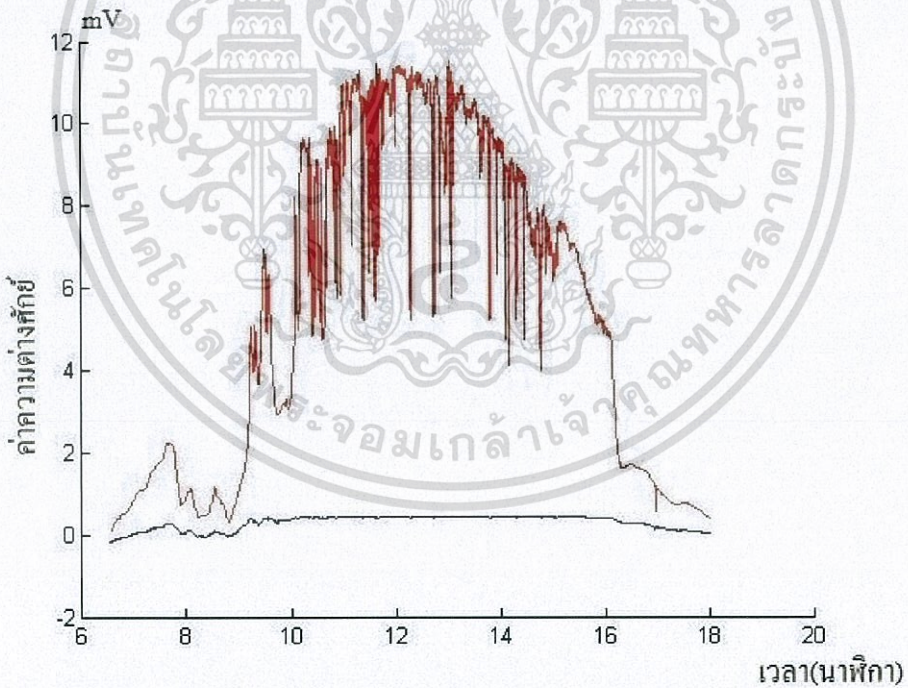


รูปที่ 4.1.15 กราฟแสดงค่าเปรียบเทียบระหว่างตัวมาตรฐานกับโพไตโดอิต S1223 วันที่ 3

เอกสารนี้เป็นเอกสารที่สงวนไว้สำหรับการใช้งานเพื่อการศึกษาเท่านั้น ไม่อนุญาตให้นำไปใช้ประโยชน์ด้านการค้า  
ไม่ว่ากรณีใดๆ ทั้งสิ้น อีกทั้งห้ามมิให้ดัดแปลงเนื้อหา และต้องอ้างอิงถึงเจ้าของเอกสารทุกครั้งที่มีการนำไปใช้

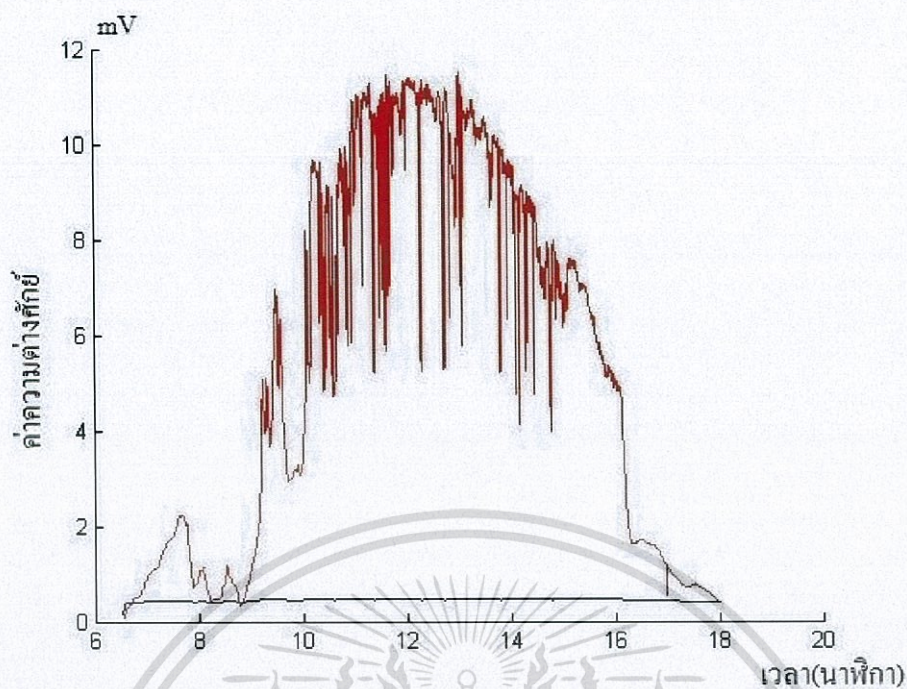


4.1.16 กราฟแสดงค่าเปรียบเทียบระหว่างตัวมาตรฐานกับโฟโต้ไดโอด VTB8440BH วันที่ 4

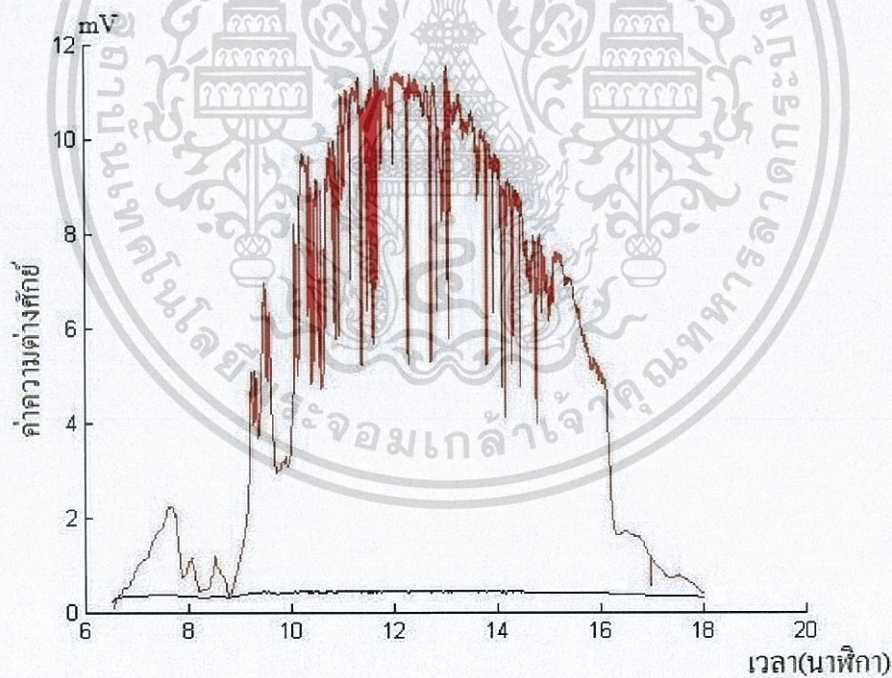


4.1.17 กราฟแสดงค่าเปรียบเทียบระหว่างตัวมาตรฐานกับโฟโต้ไดโอด S5973 วันที่ 4

เอกสารนี้เป็นเอกสารที่สงวนไว้สำหรับการใช้งานเพื่อการศึกษาเท่านั้น ไม่อนุญาตให้นำไปใช้ประโยชน์ด้านการค้า  
ไม่ว่ากรณีใดๆ ทั้งสิ้น อีกทั้งห้ามมิให้ดัดแปลงเนื้อหา และต้องอ้างอิงถึงเจ้าของเอกสารทุกครั้งที่มีการนำไปใช้

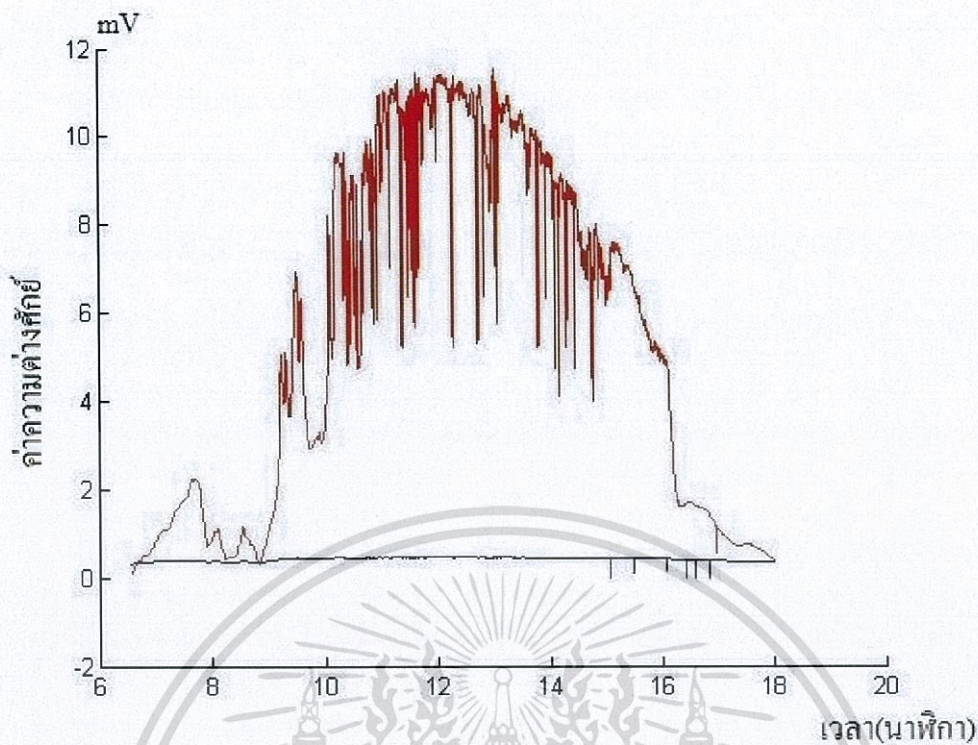


4.1.18 กราฟแสดงค่าเปรียบเทียบระหว่างตัวมาตรฐานกับโฟโตไดโอด BPW21R วันที่ 4

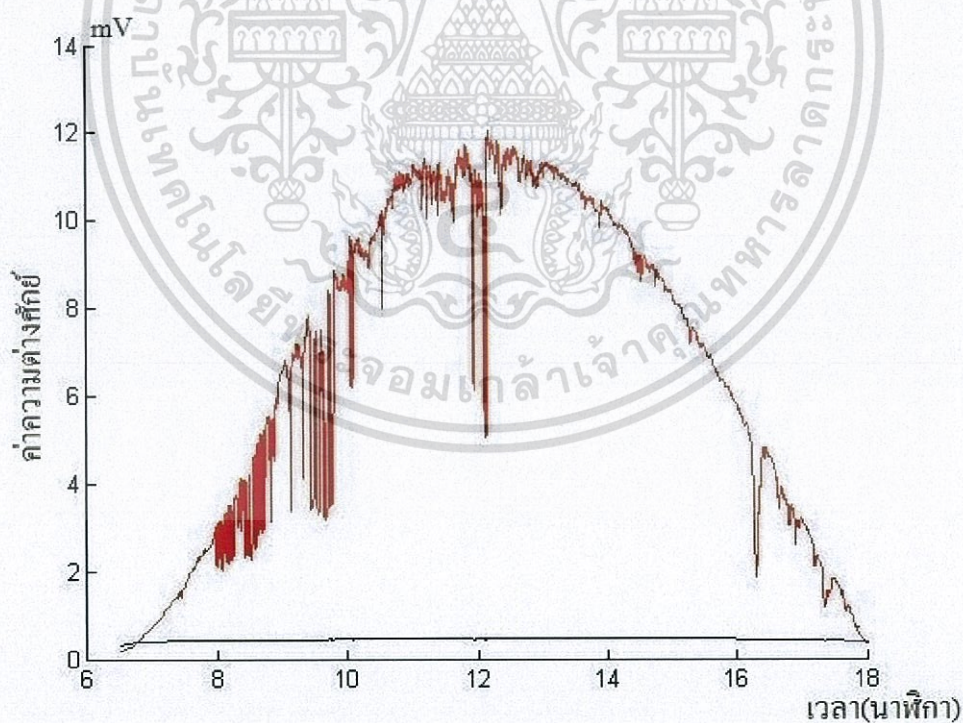


4.1.19 กราฟแสดงค่าเปรียบเทียบระหว่างตัวมาตรฐานกับโฟโตไดโอด VTB5041BH วันที่ 4

เอกสารนี้เป็นเอกสารที่สงวนไว้สำหรับการใช้งานเพื่อการศึกษาเท่านั้น ไม่อนุญาตให้นำไปใช้ประโยชน์ด้านการค้า  
ไม่ว่ากรณีใดๆ ทั้งสิ้น อีกทั้งห้ามมิให้ดัดแปลงเนื้อหา และต้องอ้างอิงถึงเจ้าของเอกสารทุกครั้งที่มีการนำไปใช้

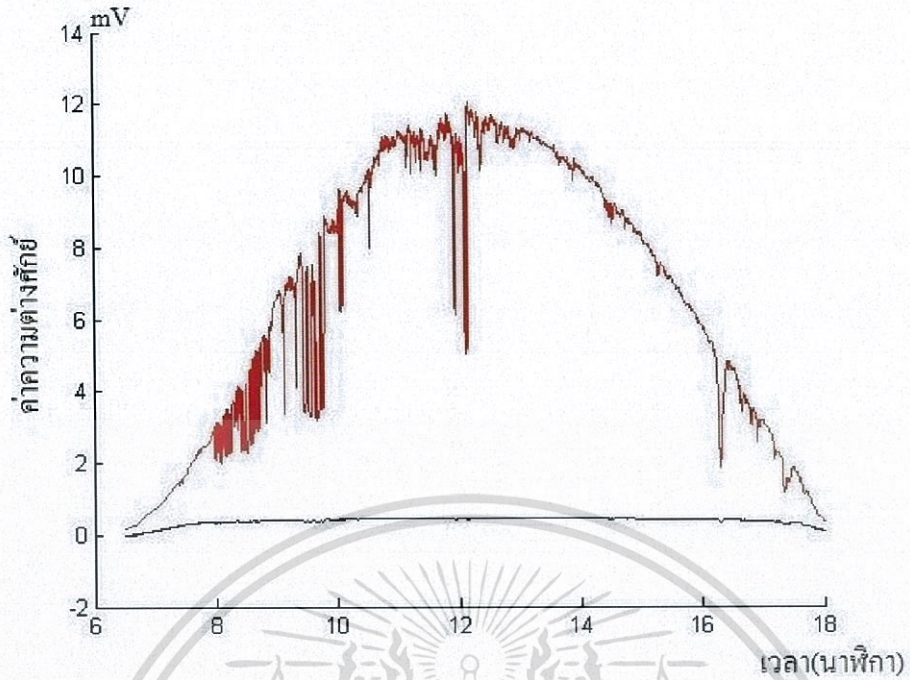


4.1.20 กราฟแสดงค่าเปรียบเทียบระหว่างตัวมาตรฐานกับโฟโต้ไดโอด S1223 วันที่ 4

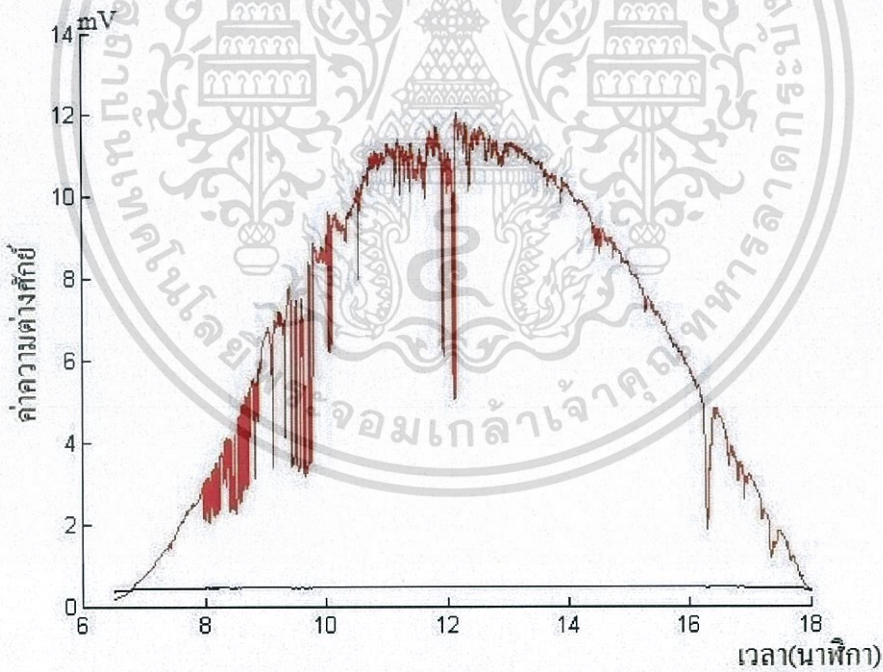


4.1.21 กราฟแสดงค่าเปรียบเทียบระหว่างตัวมาตรฐานกับโฟโต้ไดโอด VTB8440BH วันที่ 5

เอกสารนี้เป็นเอกสารที่สงวนไว้สำหรับการใช้งานเพื่อการศึกษาเท่านั้น ไม่อนุญาตให้นำไปใช้ประโยชน์ด้านการค้า  
ไม่ว่ากรณีใดๆ ทั้งสิ้น อีกทั้งห้ามมิให้ดัดแปลงเนื้อหา และต้องอ้างอิงถึงเจ้าของเอกสารทุกครั้งที่มีการนำไปใช้

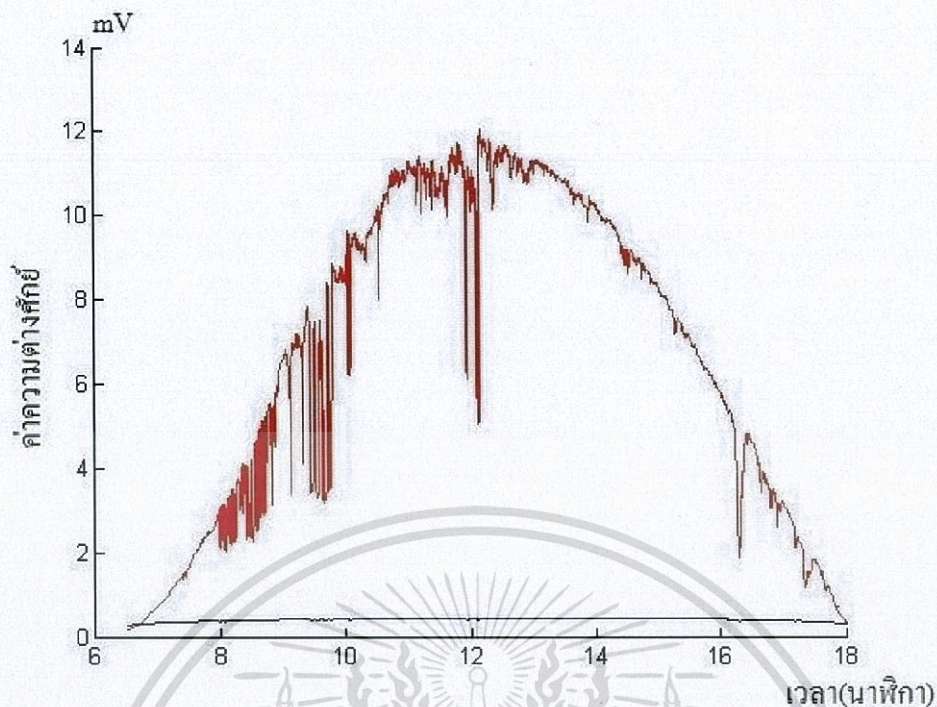


4.1.22 กราฟแสดงค่าเปรียบเทียบระหว่างตัวมาตรฐานกับโฟโตไดโอด S5973 วันที่ 5

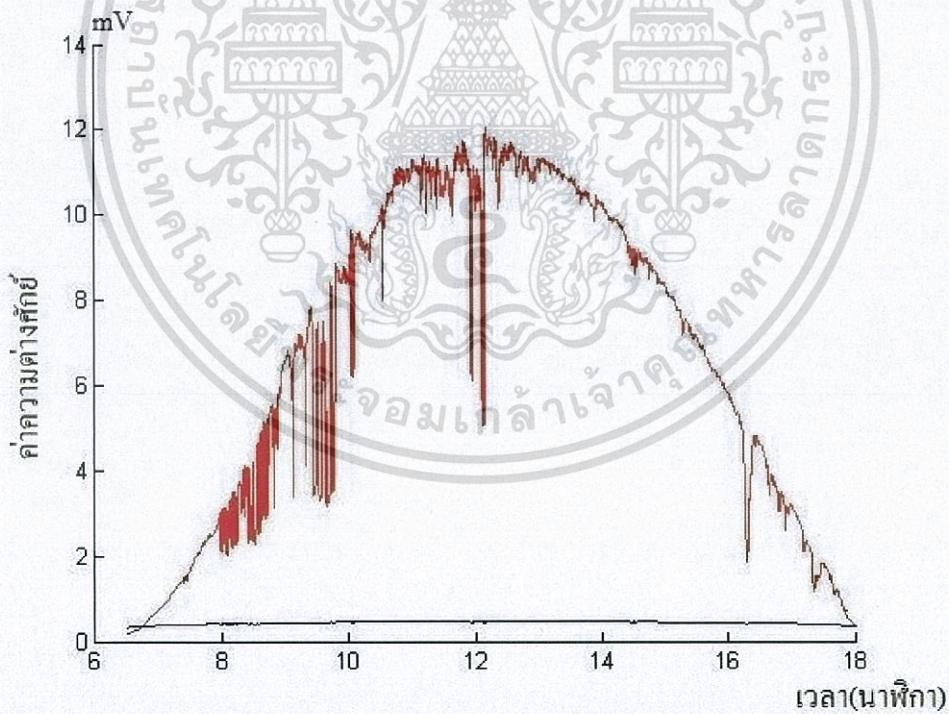


4.1.23 กราฟแสดงค่าเปรียบเทียบระหว่างตัวมาตรฐานกับโฟโตไดโอด BPW21R วันที่ 5

เอกสารนี้เป็นเอกสารที่สงวนไว้สำหรับการใช้งานเพื่อการศึกษาเท่านั้น ไม่อนุญาตให้นำไปใช้ประโยชน์ด้านการค้า  
ไม่ว่ากรณีใดๆ ทั้งสิ้น อีกทั้งห้ามมิให้ตัดแปลงเนื้อหา และต้องอ้างอิงถึงเจ้าของเอกสารทุกครั้งที่มีการนำไปใช้

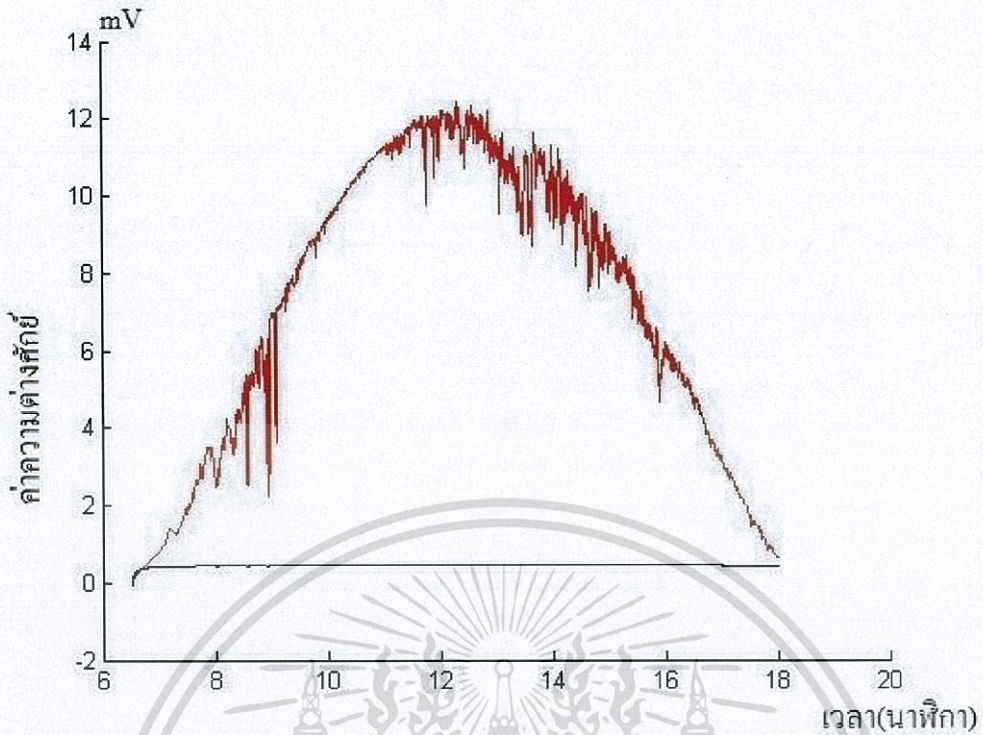


4.1.24 กราฟแสดงค่าเปรียบเทียบระหว่างตัวมาตรฐานกับโฟโต้ไดโอด VTB5041BH วันที่ 5

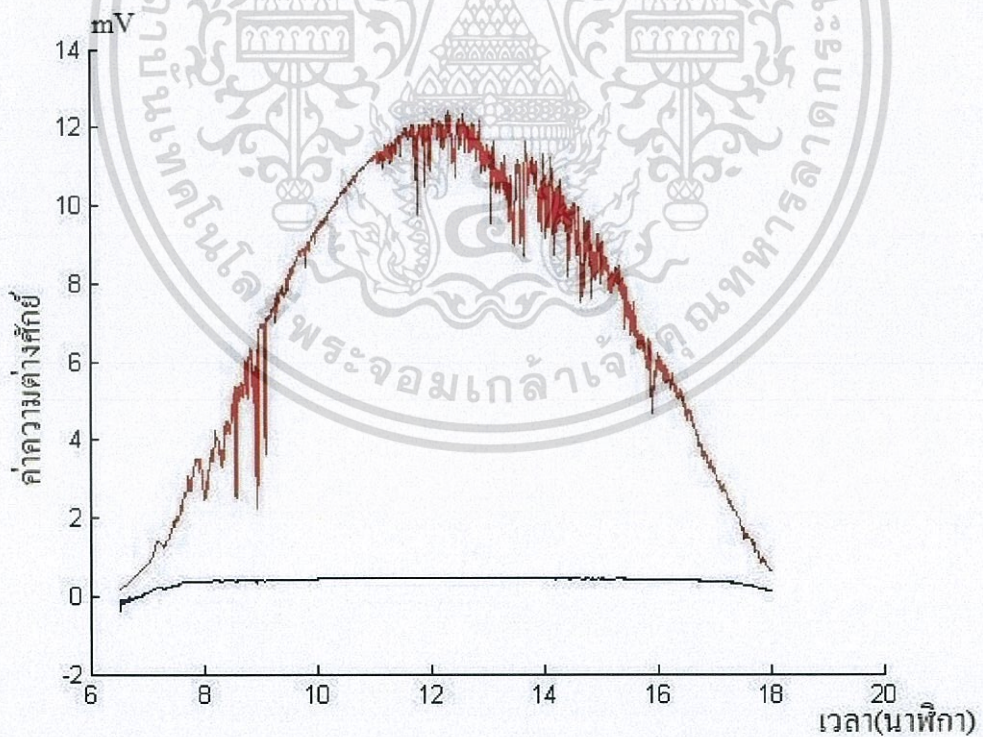


4.1.25 กราฟแสดงค่าเปรียบเทียบระหว่างตัวมาตรฐานกับโฟโต้ไดโอด S1223 วันที่ 5

เอกสารนี้เป็นเอกสารที่สงวนไว้สำหรับการใช้งานเพื่อการศึกษาเท่านั้น ไม่อนุญาตให้นำไปใช้ประโยชน์ด้านการค้า  
ไม่ว่ากรณีใดๆ ทั้งสิ้น อีกทั้งห้ามมิให้ดัดแปลงเนื้อหา และต้องอ้างอิงถึงเจ้าของเอกสารทุกครั้งที่มีการนำไปใช้

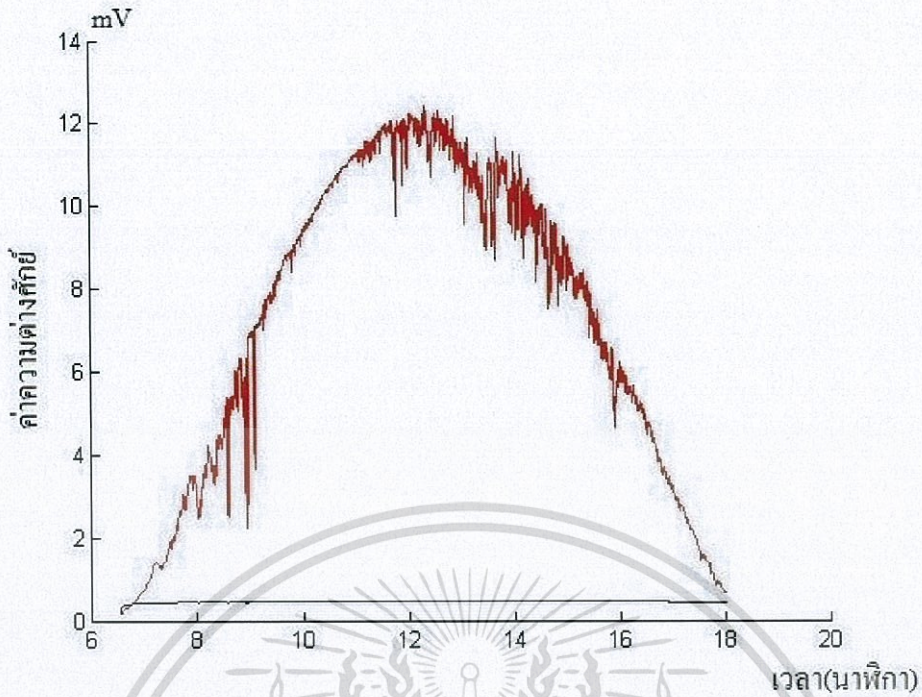


4.1.26 กราฟแสดงค่าเปรียบเทียบระหว่างตัวมาตรฐานกับโฟโตไดโอด VTB8440BH วันที่ 6

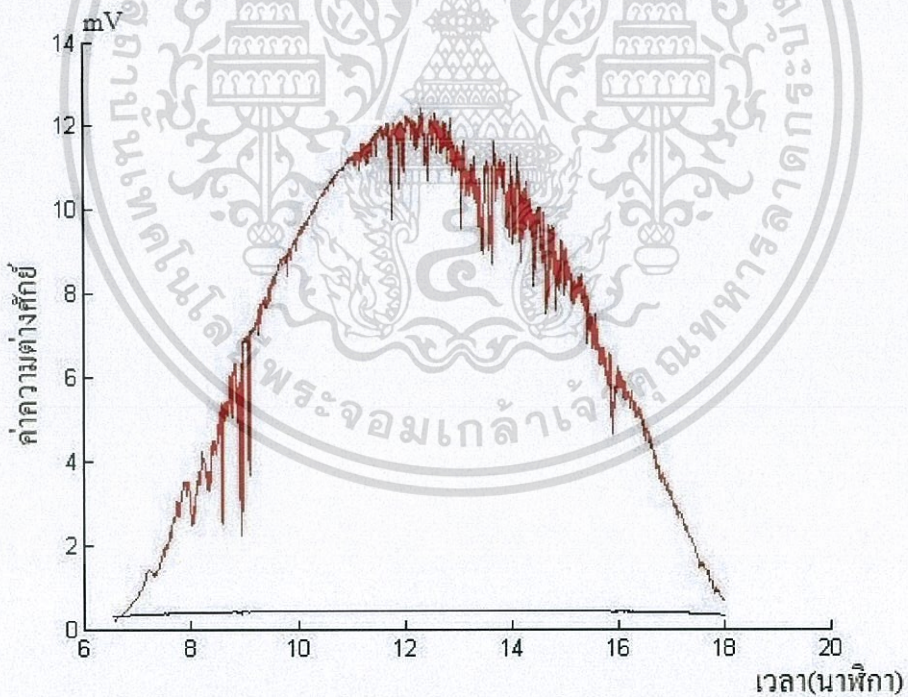


4.1.27 กราฟแสดงค่าเปรียบเทียบระหว่างตัวมาตรฐานกับโฟโตไดโอด S5973 วันที่ 6

เอกสารนี้เป็นเอกสารที่สงวนไว้สำหรับการใช้งานเพื่อการศึกษาเท่านั้น ไม่อนุญาตให้นำไปใช้ประโยชน์ด้านการค้า  
ไม่ว่ากรณีใดๆ ทั้งสิ้น อีกทั้งห้ามมิให้ดัดแปลงเนื้อหา และต้องอ้างอิงถึงเจ้าของเอกสารทุกครั้งที่มีการนำไปใช้

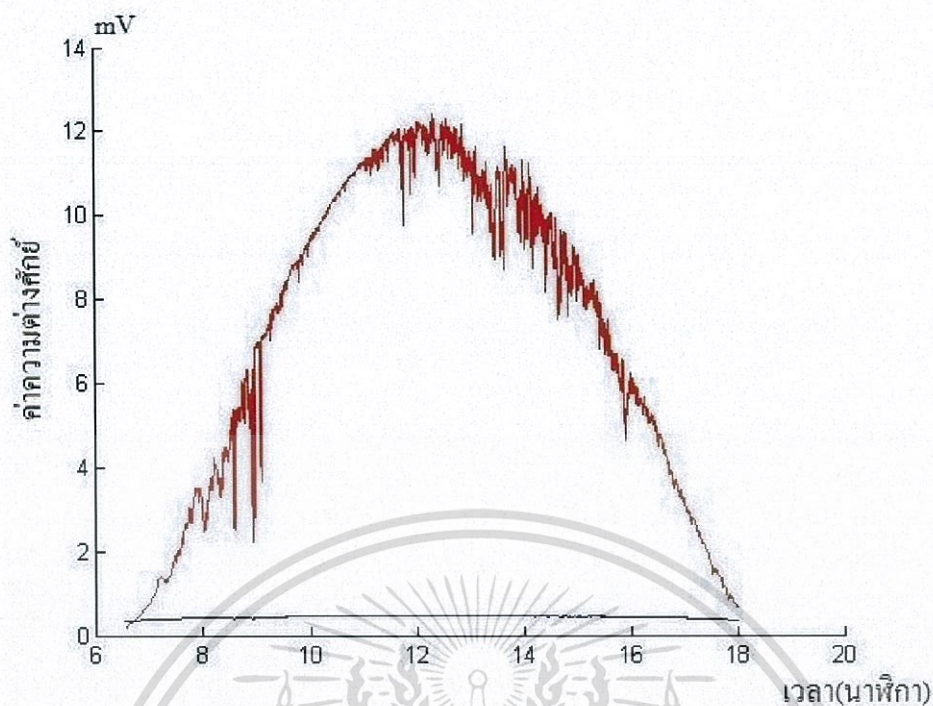


4.1.28 กราฟแสดงค่าเปรียบเทียบระหว่างตัวมาตรฐานกับโฟโต้ไดโอด BPW21R วันที่ 6

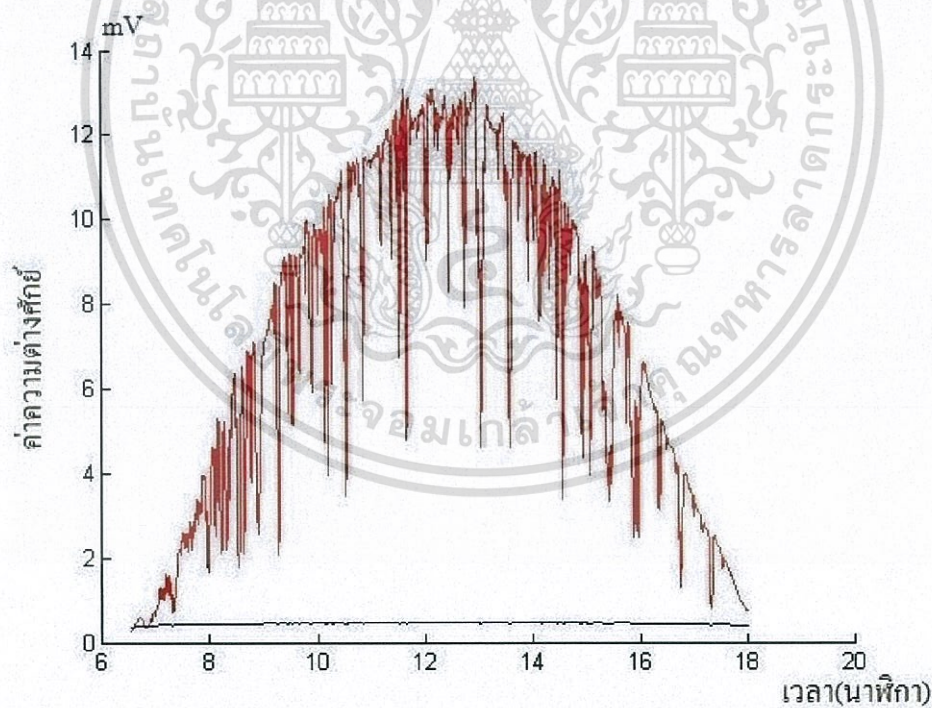


4.1.29 กราฟแสดงค่าเปรียบเทียบระหว่างตัวมาตรฐานกับโฟโต้ไดโอด VTB5041BH วันที่ 6

เอกสารนี้เป็นเอกสารที่สงวนไว้สำหรับการใช้งานเพื่อการศึกษาเท่านั้น ไม่อนุญาตให้นำไปใช้ประโยชน์ด้านการค้า  
ไม่ว่ากรณีใดๆ ทั้งสิ้น อีกทั้งห้ามมิให้ตัดแปลงเนื้อหา และต้องอ้างอิงถึงเจ้าของเอกสารทุกครั้งที่มีการนำไปใช้

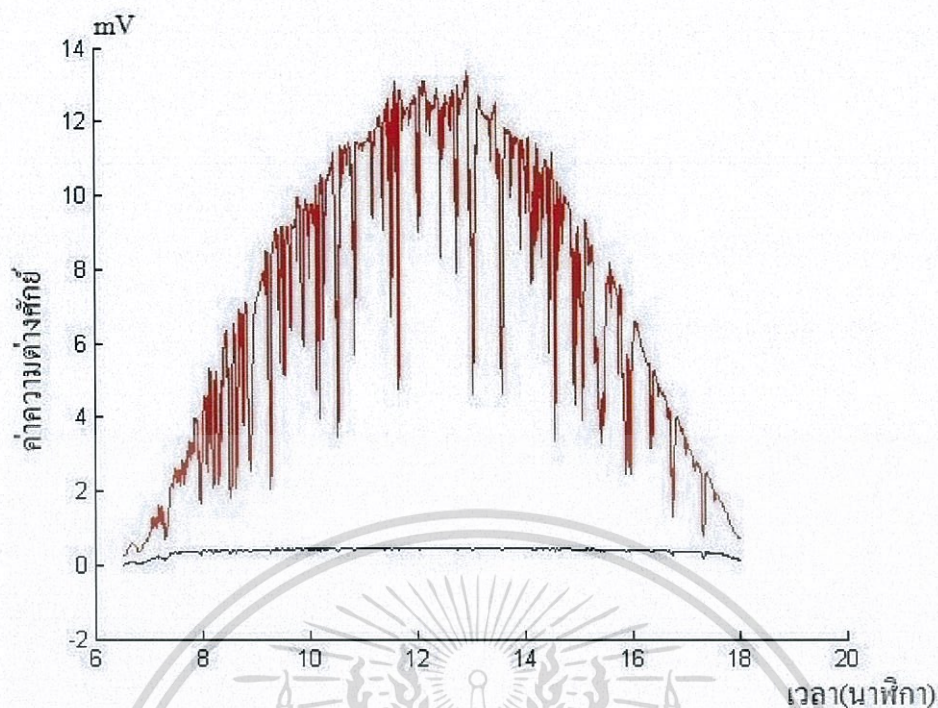


4.1.30 กราฟแสดงค่าเปรียบเทียบระหว่างตัวมาตรฐานกับโฟโต้ไดโอด S1223 วันที่ 6

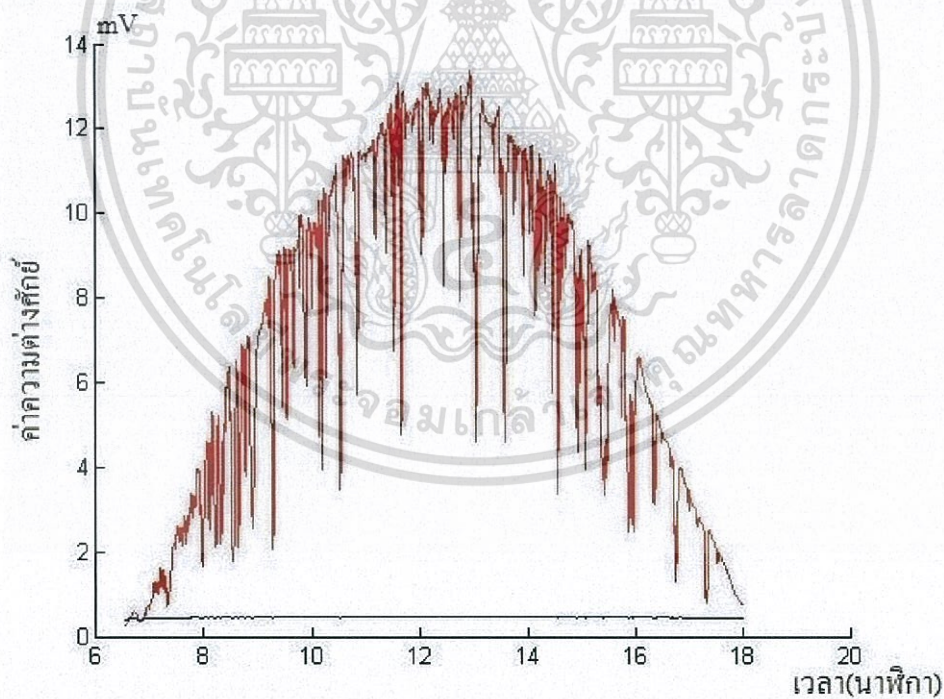


4.1.31 กราฟแสดงค่าเปรียบเทียบระหว่างตัวมาตรฐานกับโฟโต้ไดโอด VTB8440BH วันที่ 7

เอกสารนี้เป็นเอกสารที่สงวนไว้สำหรับการใช้งานเพื่อการศึกษาเท่านั้น ไม่อนุญาตให้นำไปใช้ประโยชน์ด้านการค้า  
ไม่ว่ากรณีใดๆ ทั้งสิ้น อีกทั้งห้ามมิให้ดัดแปลงเนื้อหา และต้องอ้างอิงถึงเจ้าของเอกสารทุกครั้งที่มีการนำไปใช้

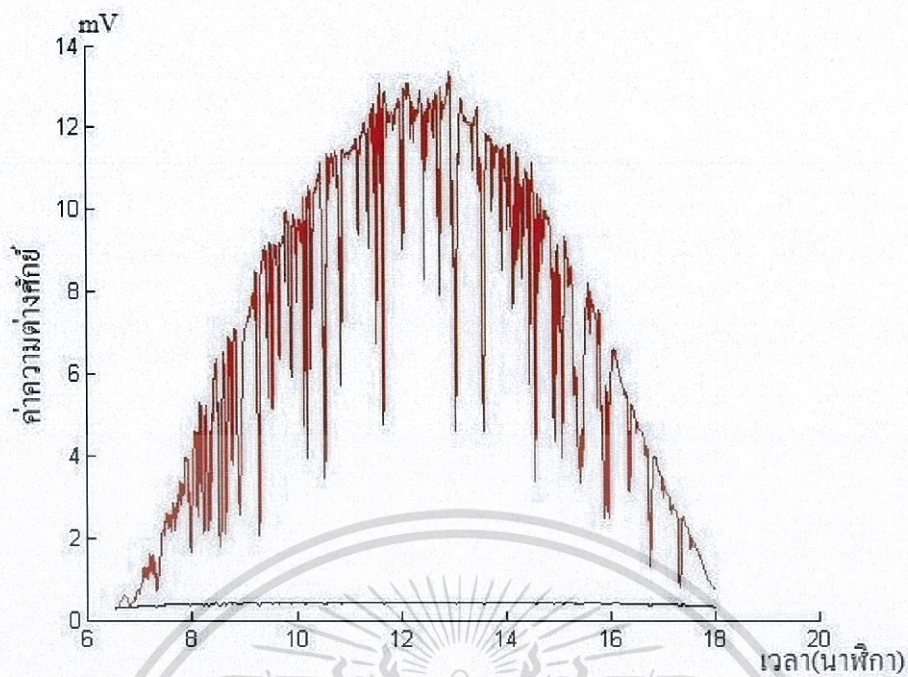


4.1.32 กราฟแสดงค่าเปรียบเทียบระหว่างตัวมาตรฐานกับโฟโต้ไดโอด S5973 วันที่ 7

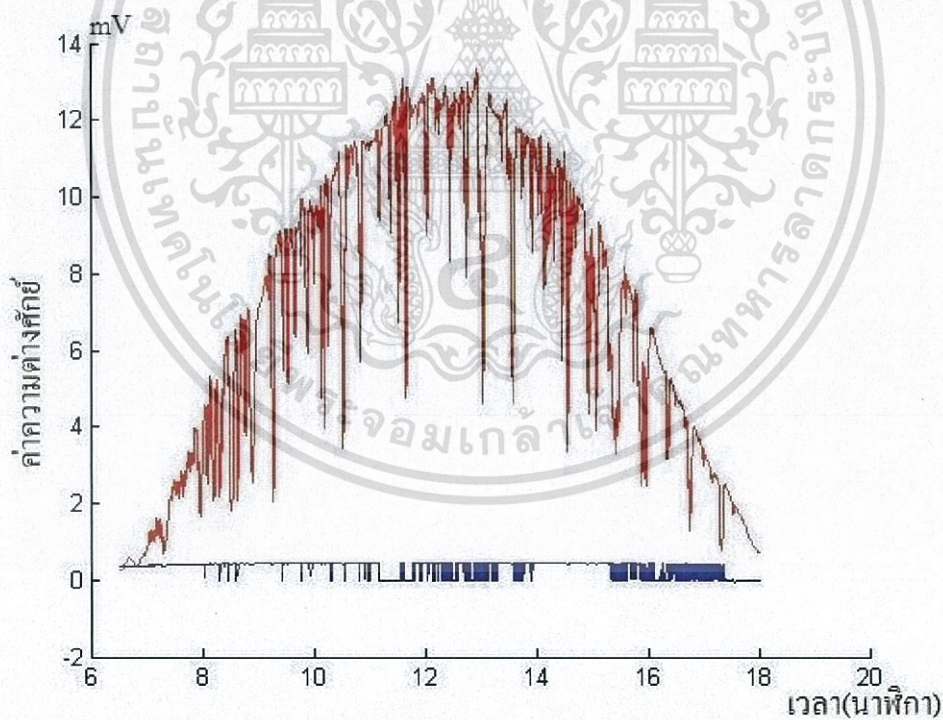


4.1.33 กราฟแสดงค่าเปรียบเทียบระหว่างตัวมาตรฐานกับโฟโต้ไดโอด BPW21R วันที่ 7

เอกสารนี้เป็นเอกสารที่สงวนไว้สำหรับการใช้งานเพื่อการศึกษาเท่านั้น ไม่อนุญาตให้นำไปใช้ประโยชน์ด้านการค้า  
ไม่ว่ากรณีใดๆ ทั้งสิ้น อีกทั้งห้ามมิให้ดัดแปลงเนื้อหา และต้องอ้างอิงถึงเจ้าของเอกสารทุกครั้งที่มีการนำไปใช้

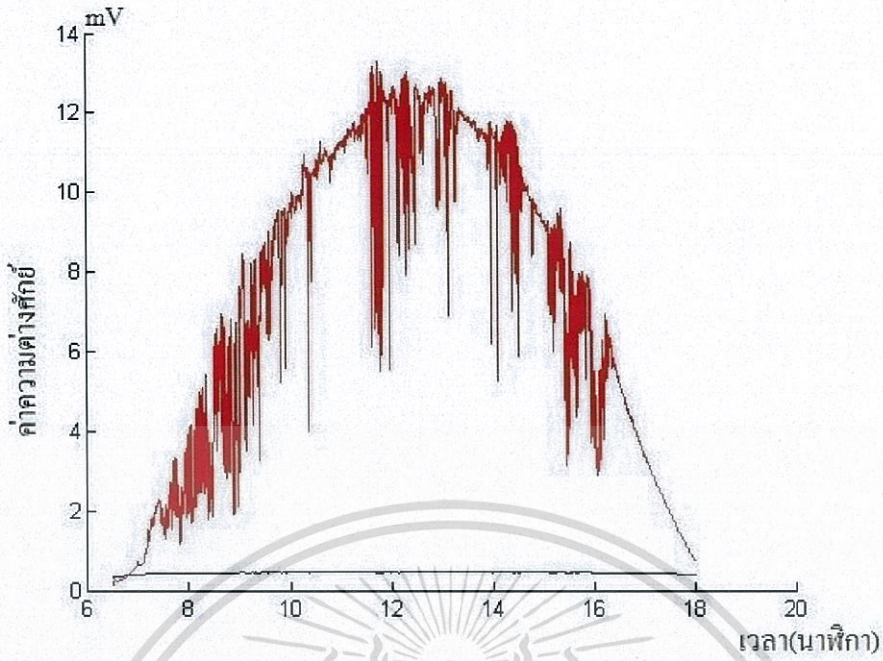


4.1.34 กราฟแสดงค่าเปรียบเทียบระหว่างตัวมาตรฐานกับโฟโต้ไดโอด VTB5041BH วันที่ 7

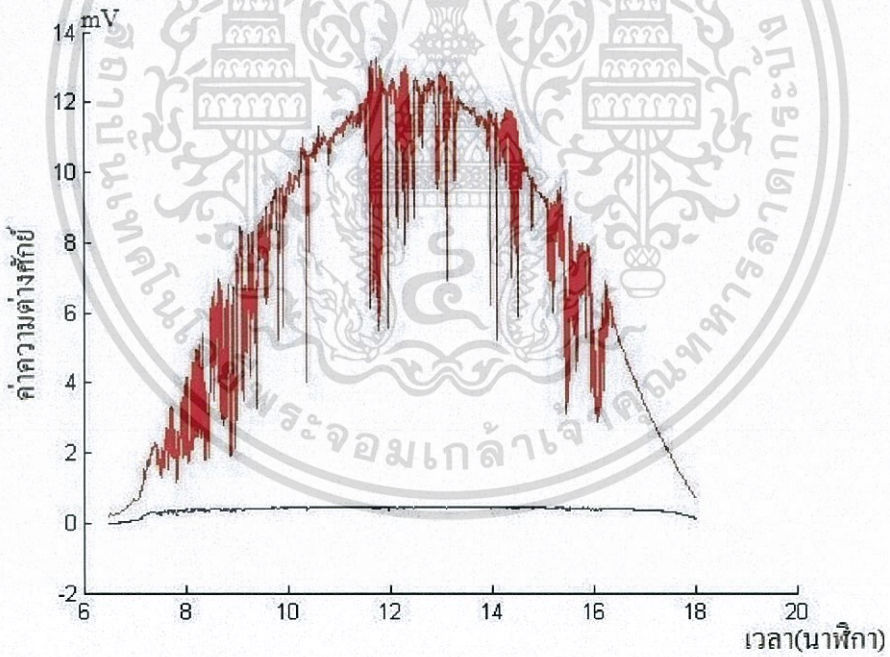


4.1.35 กราฟแสดงค่าเปรียบเทียบระหว่างตัวมาตรฐานกับโฟโต้ไดโอด S1223 วันที่ 7

เอกสารนี้เป็นเอกสารที่สงวนไว้สำหรับการใช้งานเพื่อการศึกษาเท่านั้น ไม่อนุญาตให้นำไปใช้ประโยชน์ด้านการค้า  
ไม่ว่ากรณีใดๆ ทั้งสิ้น อีกทั้งห้ามมิให้ดัดแปลงเนื้อหา และต้องอ้างอิงถึงเจ้าของเอกสารทุกครั้งที่มีการนำไปใช้

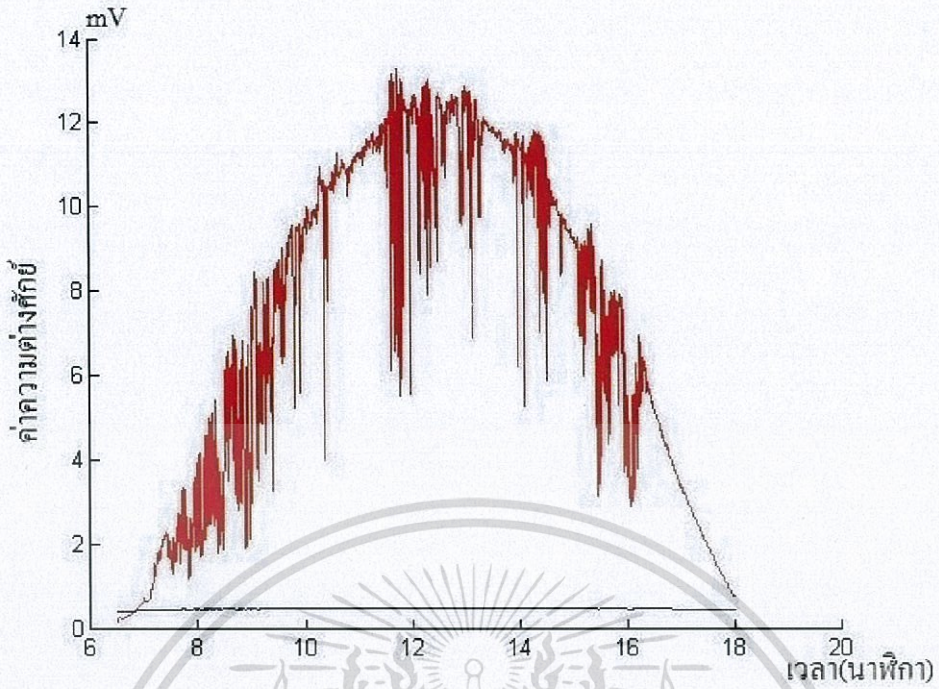


4.1.36 กราฟแสดงค่าเปรียบเทียบระหว่างตัวมาตรฐานกับโฟโต้ไดโอด VTB8440BH วันที่ 8

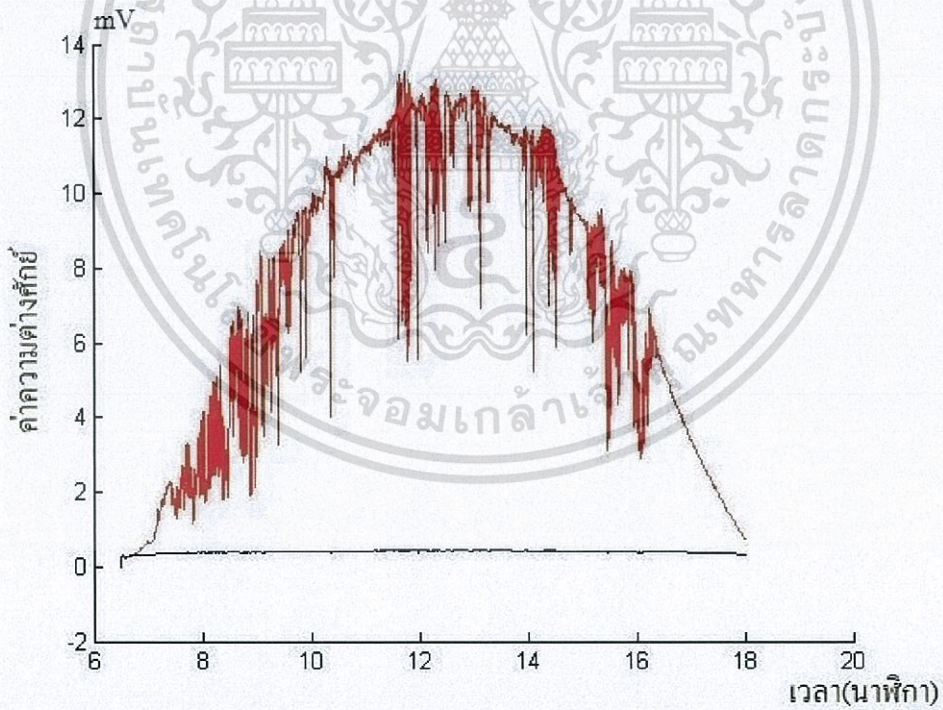


4.1.37 กราฟแสดงค่าเปรียบเทียบระหว่างตัวมาตรฐานกับโฟโต้ไดโอด S5973วันที่ 8

เอกสารนี้เป็นเอกสารที่สงวนไว้สำหรับการใช้งานเพื่อการศึกษาเท่านั้น ไม่อนุญาตให้นำไปใช้ประโยชน์ด้านการค้า  
ไม่ว่ากรณีใดๆ ทั้งสิ้น อีกทั้งห้ามมิให้ดัดแปลงเนื้อหา และต้องอ้างอิงถึงเจ้าของเอกสารทุกครั้งที่มีการนำไปใช้

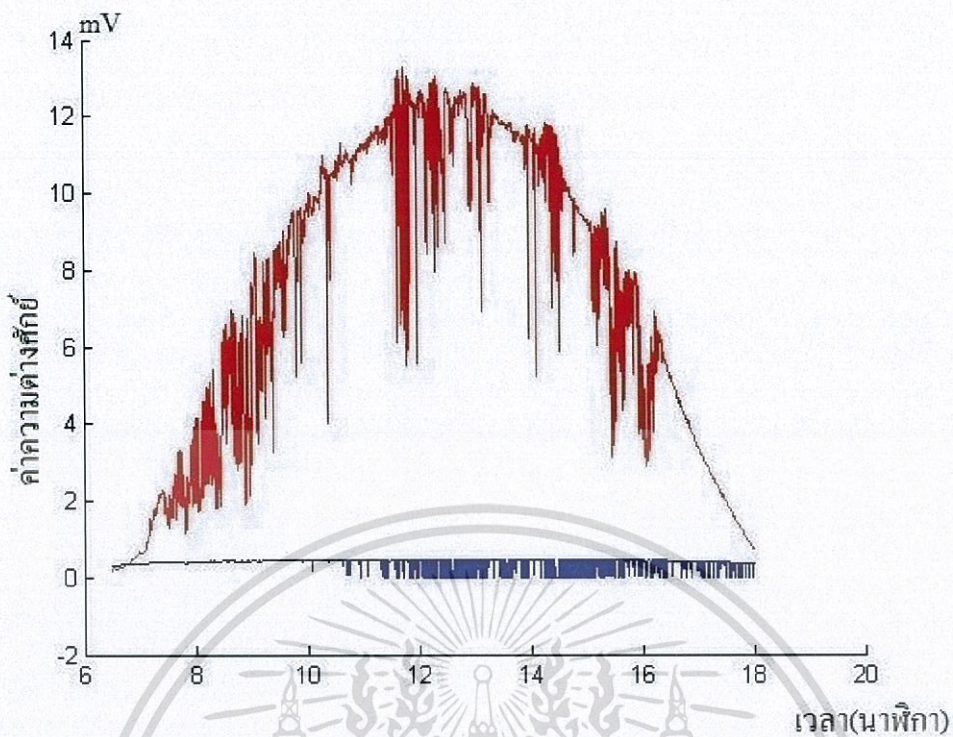


4.1.38 กราฟแสดงค่าเปรียบเทียบระหว่างตัวมาตรฐานกับโฟโต้ไดโอด BPW21R วันที่ 8

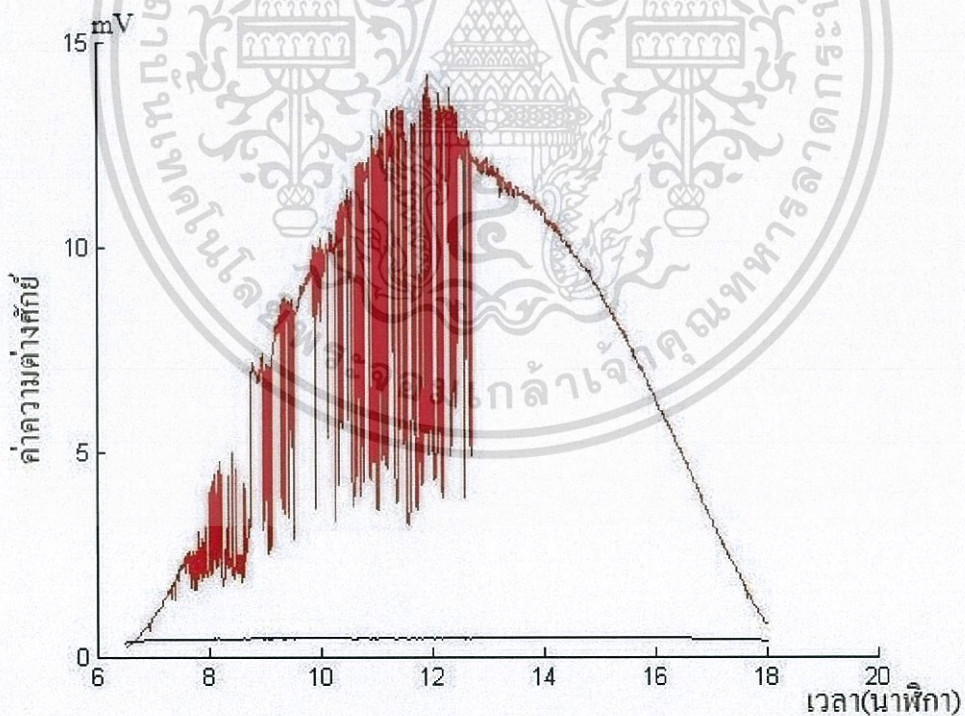


4.1.39 กราฟแสดงค่าเปรียบเทียบระหว่างตัวมาตรฐานกับโฟโต้ไดโอด VTB5041BH วันที่ 8

เอกสารนี้เป็นเอกสารที่สงวนไว้สำหรับการใช้งานเพื่อการศึกษาเท่านั้น ไม่อนุญาตให้นำไปใช้ประโยชน์ด้านการค้า  
ไม่ว่ากรณีใดๆ ทั้งสิ้น อีกทั้งห้ามมิให้ดัดแปลงเนื้อหา และต้องอ้างอิงถึงเจ้าของเอกสารทุกครั้งที่มีการนำไปใช้

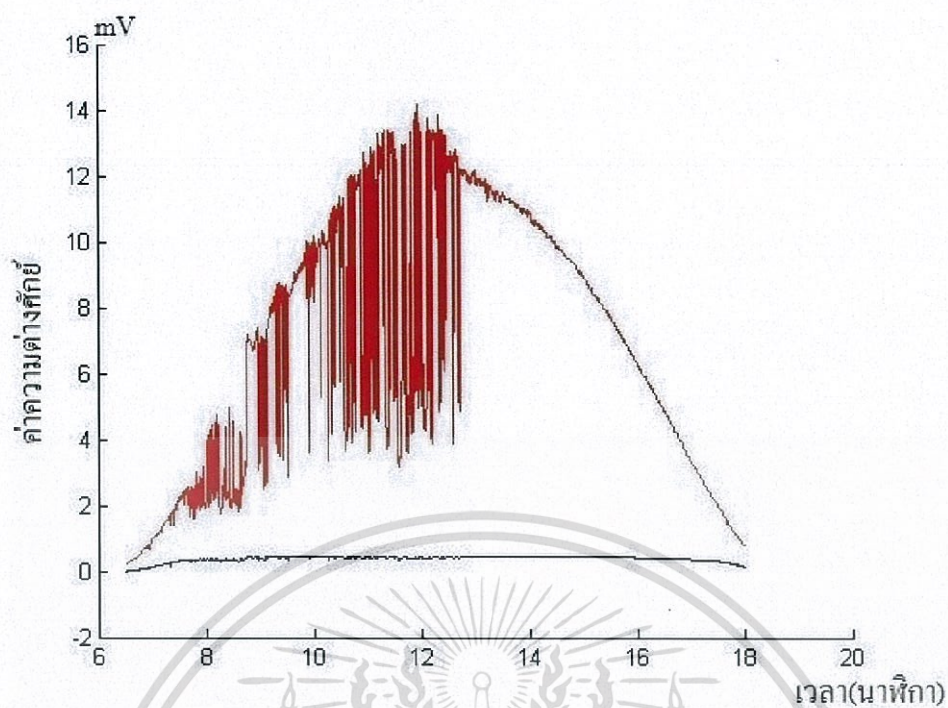


4.1.40 กราฟแสดงค่าเปรียบเทียบระหว่างตัวมาตรฐานกับโฟโต้ไดโอด S1223 วันที่ 8

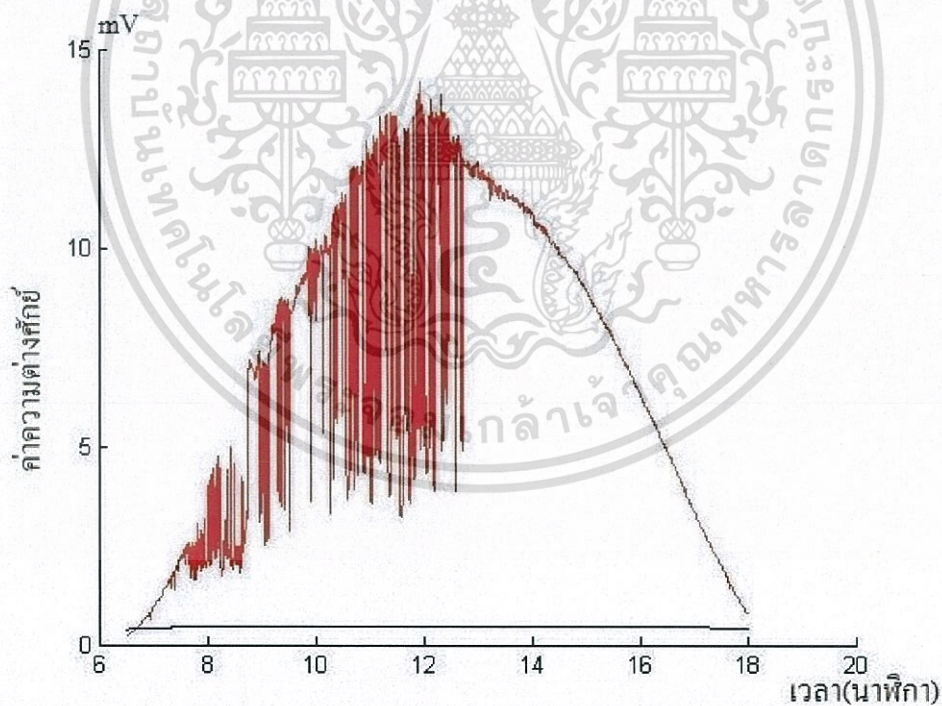


4.1.41 กราฟแสดงค่าเปรียบเทียบระหว่างตัวมาตรฐานกับโฟโต้ไดโอด VTB8440BH วันที่ 9

เอกสารนี้เป็นเอกสารที่สงวนไว้สำหรับการใช้งานเพื่อการศึกษาเท่านั้น ไม่อนุญาตให้นำไปใช้ประโยชน์ด้านการค้า  
ไม่ว่ากรณีใดๆ ทั้งสิ้น อีกทั้งห้ามมิให้ดัดแปลงเนื้อหา และต้องอ้างอิงถึงเจ้าของเอกสารทุกครั้งที่มีการนำไปใช้

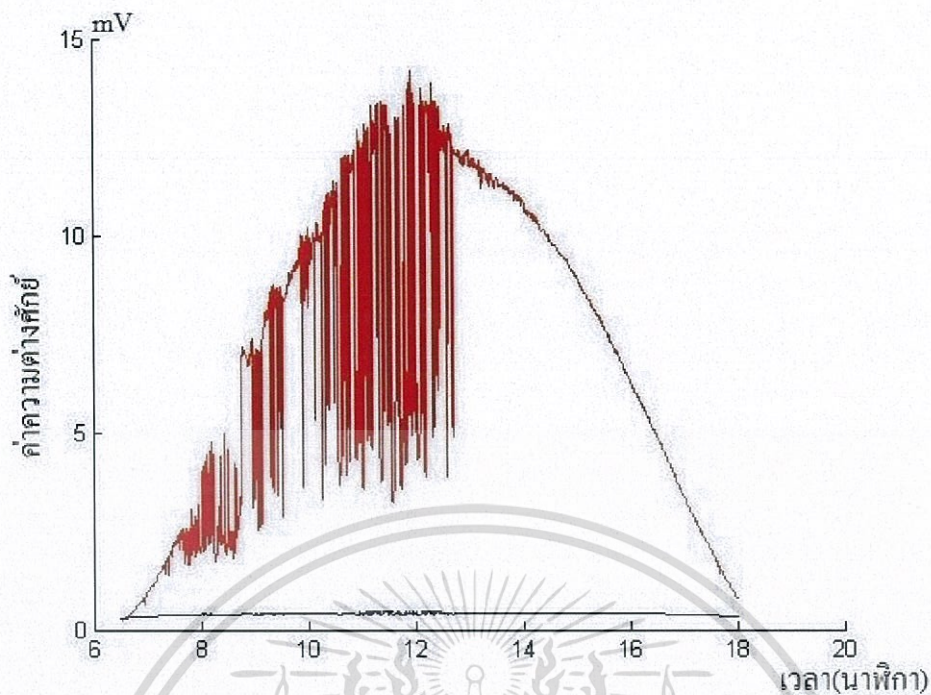


4.1.42 กราฟแสดงค่าเปรียบเทียบระหว่างตัวมาตรฐานกับโฟโต้ไดโอด S5973วันที่ 9

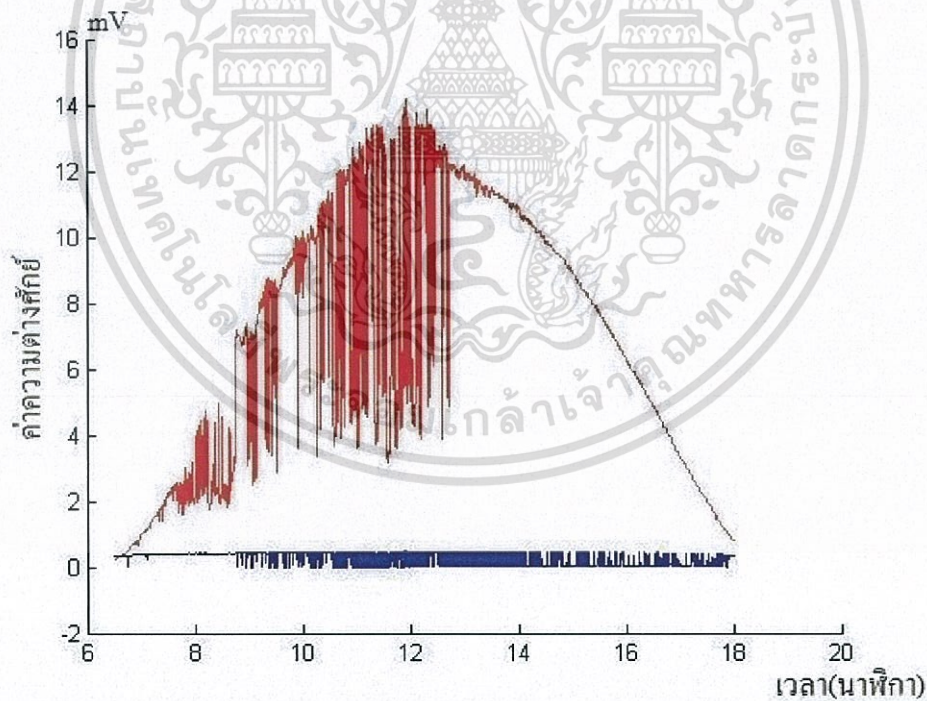


4.1.43 กราฟแสดงค่าเปรียบเทียบระหว่างตัวมาตรฐานกับโฟโต้ไดโอด BPW21R วันที่ 9

เอกสารนี้เป็นเอกสารที่สงวนไว้สำหรับการใช้งานเพื่อการศึกษาเท่านั้น ไม่อนุญาตให้นำไปใช้ประโยชน์ด้านการค้า  
ไม่ว่ากรณีใดๆ ทั้งสิ้น อีกทั้งห้ามมิให้ดัดแปลงเนื้อหา และต้องอ้างอิงถึงเจ้าของเอกสารทุกครั้งที่มีการนำไปใช้

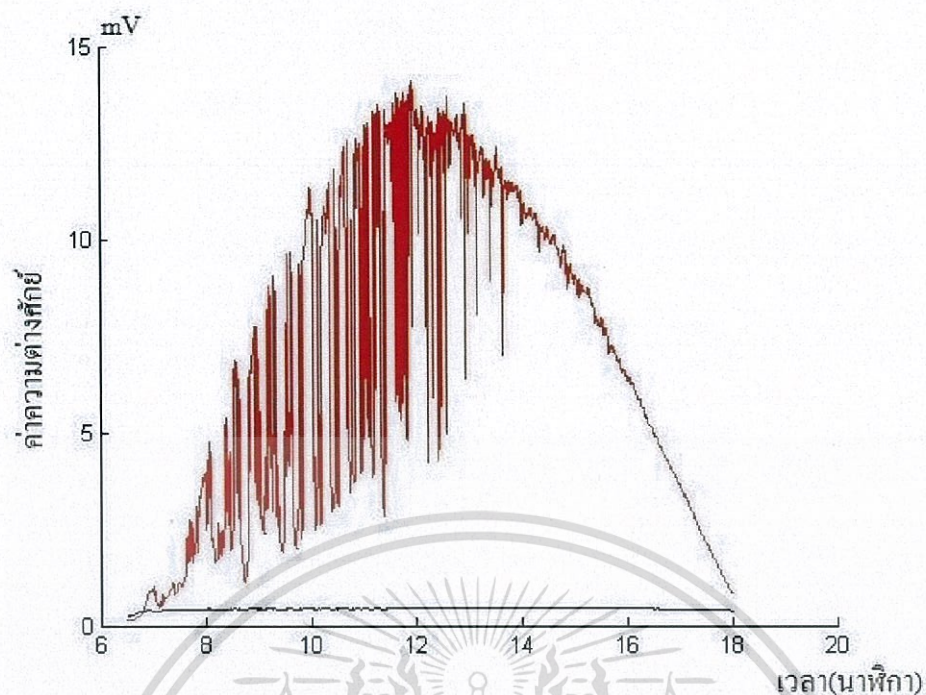


4.1.44 กราฟแสดงค่าเปรียบเทียบระหว่างตัวมาตรฐานกับโพลีไดโอด VTB5041BH วันที่ 9

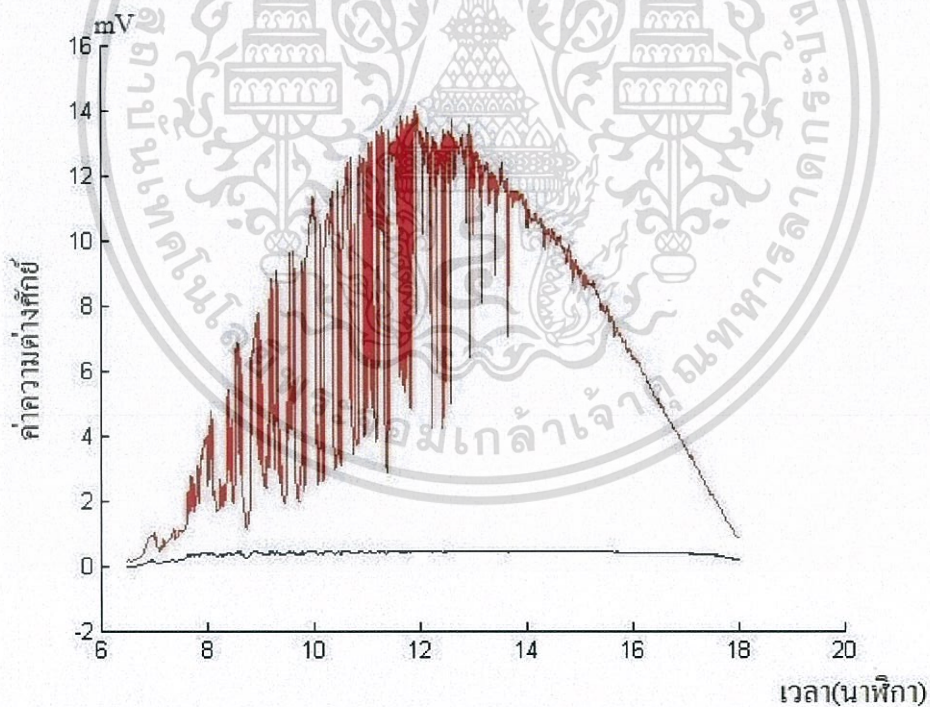


4.1.45 กราฟแสดงค่าเปรียบเทียบระหว่างตัวมาตรฐานกับโพลีไดโอด S1223 วันที่ 9

เอกสารนี้เป็นเอกสารที่สงวนไว้สำหรับการใช้งานเพื่อการศึกษาเท่านั้น ไม่อนุญาตให้นำไปใช้ประโยชน์ด้านการค้า  
ไม่ว่ากรณีใดๆ ทั้งสิ้น อีกทั้งห้ามมิให้ดัดแปลงเนื้อหา และต้องอ้างอิงถึงเจ้าของเอกสารทุกครั้งที่มีการนำไปใช้

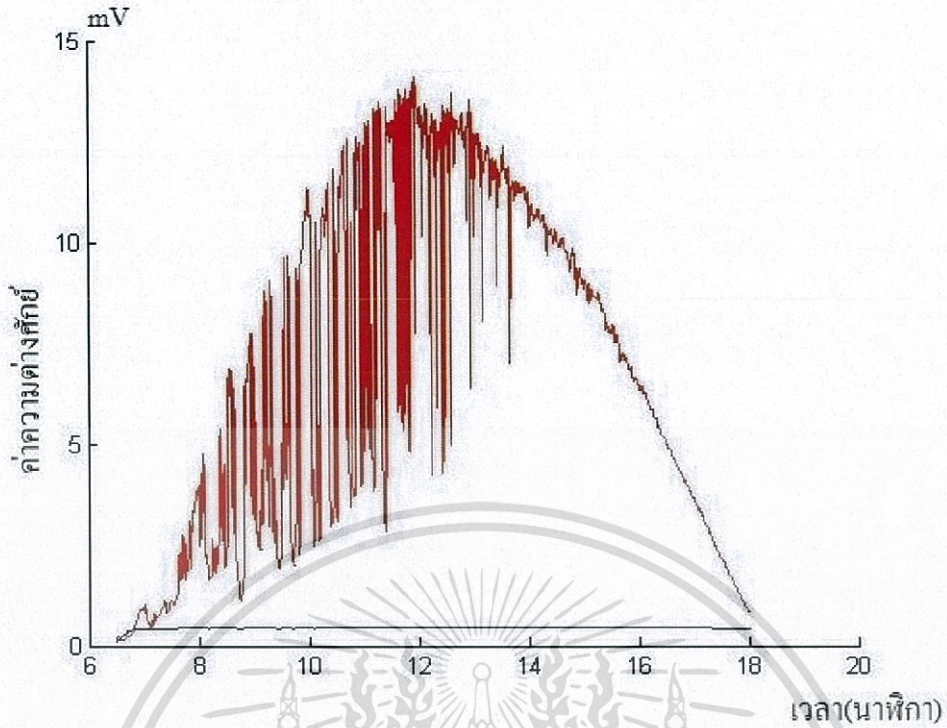


4.1.46 กราฟแสดงค่าเปรียบเทียบระหว่างตัวมาตรฐานกับโฟโตไดโอด VTB8440BH วันที่ 10

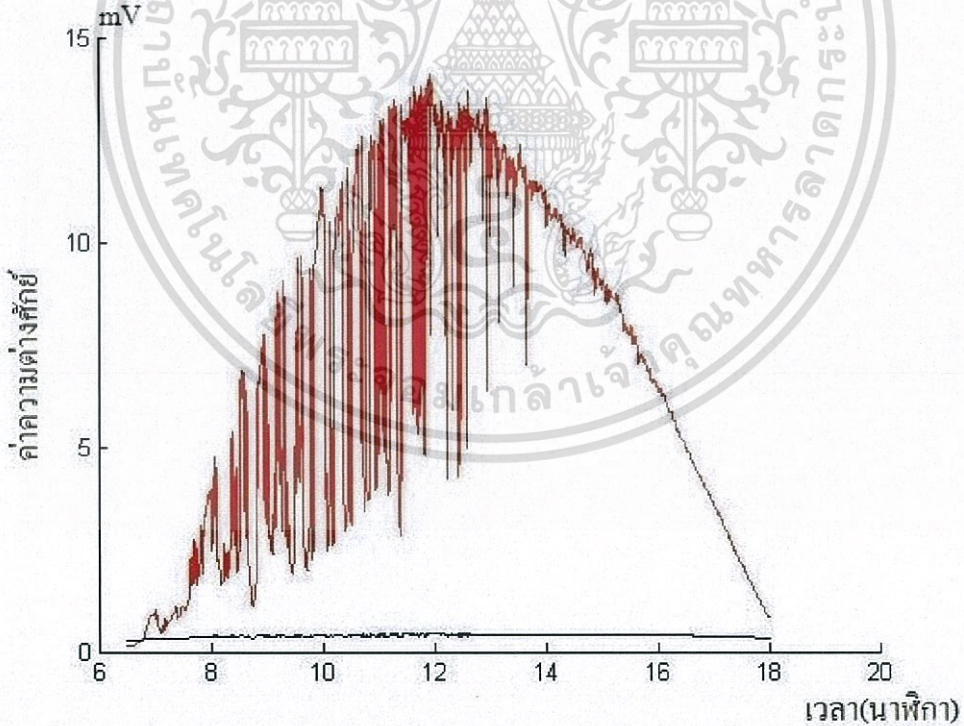


4.1.47 กราฟแสดงค่าเปรียบเทียบระหว่างตัวมาตรฐานกับโฟโตไดโอด S5973 วันที่ 10

เอกสารนี้เป็นเอกสารที่สงวนไว้สำหรับการใช้งานเพื่อการศึกษาเท่านั้น ไม่อนุญาตให้นำไปใช้ประโยชน์ด้านการค้า  
ไม่ว่ากรณีใดๆ ทั้งสิ้น อีกทั้งห้ามมิให้ดัดแปลงเนื้อหา และต้องอ้างอิงถึงเจ้าของเอกสารทุกครั้งที่มีการนำไปใช้

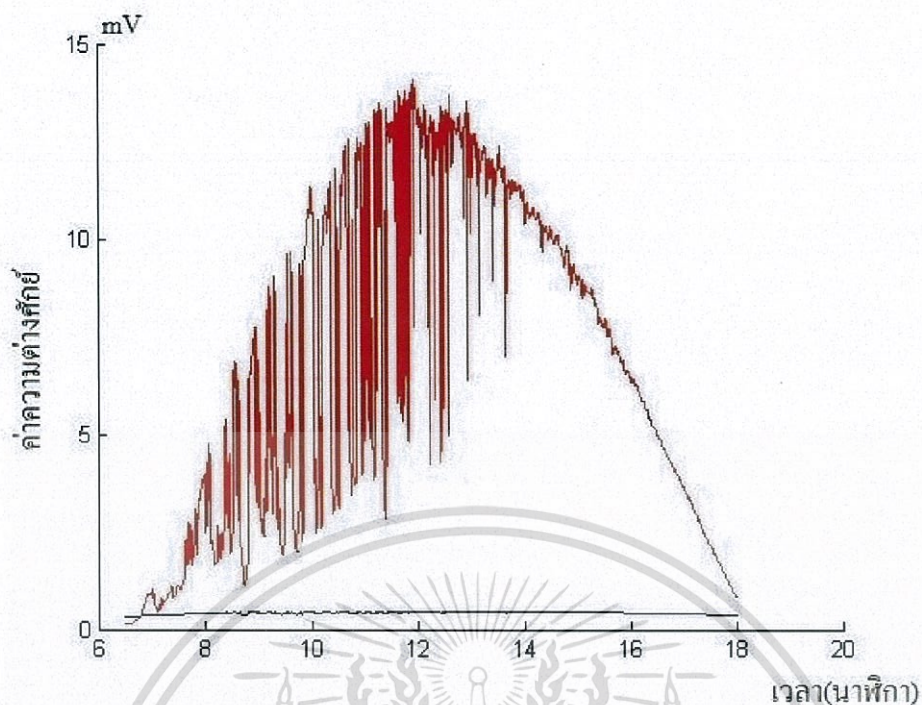


4.1.48 กราฟแสดงค่าเปรียบเทียบระหว่างตัวมาตรฐานกับโฟโตไดโอด BPW21R วันที่ 10

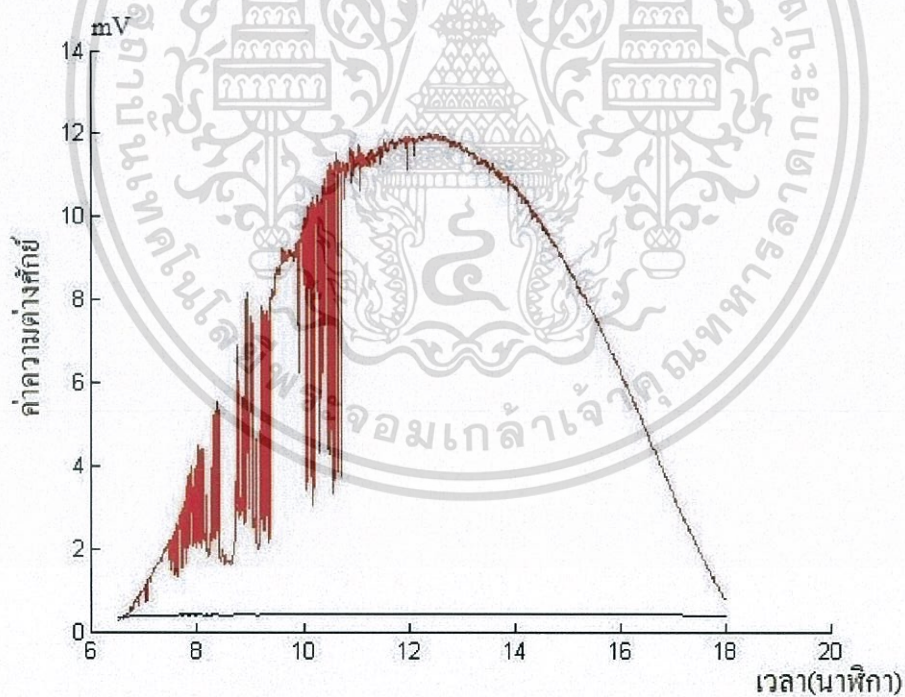


4.1.49 กราฟแสดงค่าเปรียบเทียบระหว่างตัวมาตรฐานกับโฟโตไดโอด VTB5041BH วันที่ 10

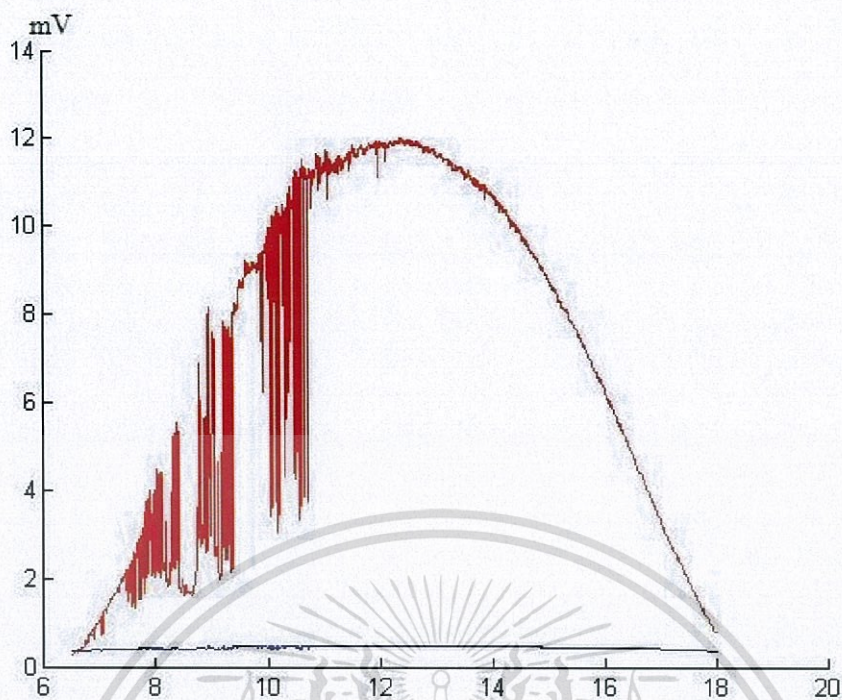
เอกสารนี้เป็นเอกสารที่สงวนไว้สำหรับการใช้งานเพื่อการศึกษาเท่านั้น ไม่อนุญาตให้นำไปใช้ประโยชน์ด้านการค้า  
ไม่ว่ากรณีใดๆ ทั้งสิ้น อีกทั้งห้ามมิให้ดัดแปลงเนื้อหา และต้องอ้างอิงถึงเจ้าของเอกสารทุกครั้งที่มีการนำไปใช้



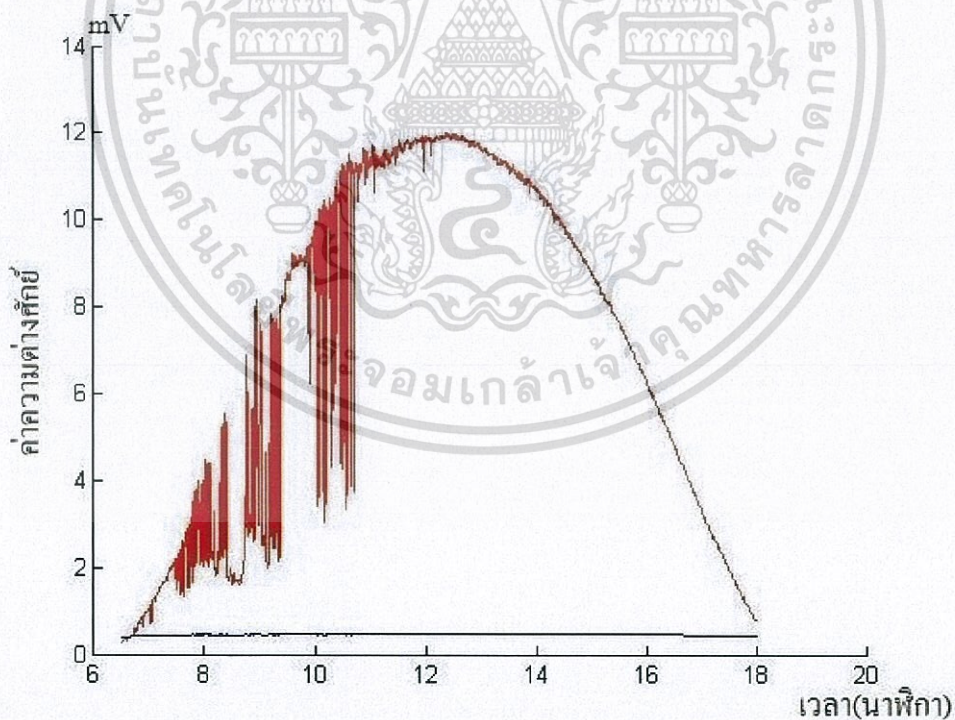
4.1.50 กราฟแสดงค่าเปรียบเทียบระหว่างตัวมาตรฐานกับโฟโตไดโอด S1223 วันที่ 10



4.1.51 กราฟแสดงค่าเปรียบเทียบระหว่างตัวมาตรฐานกับโฟโตไดโอด VTB8440BH วันที่ 11

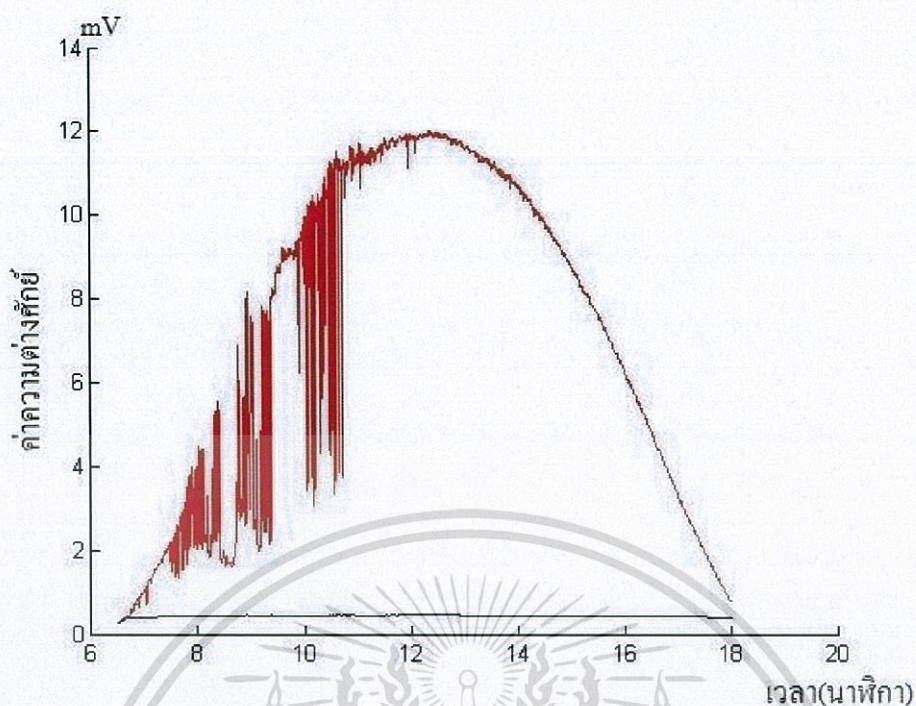


4.1.52 กราฟแสดงค่าเปรียบเทียบระหว่างตัวมาตรฐานกับโฟโต้ไดโอด S5973 วันที่ 11

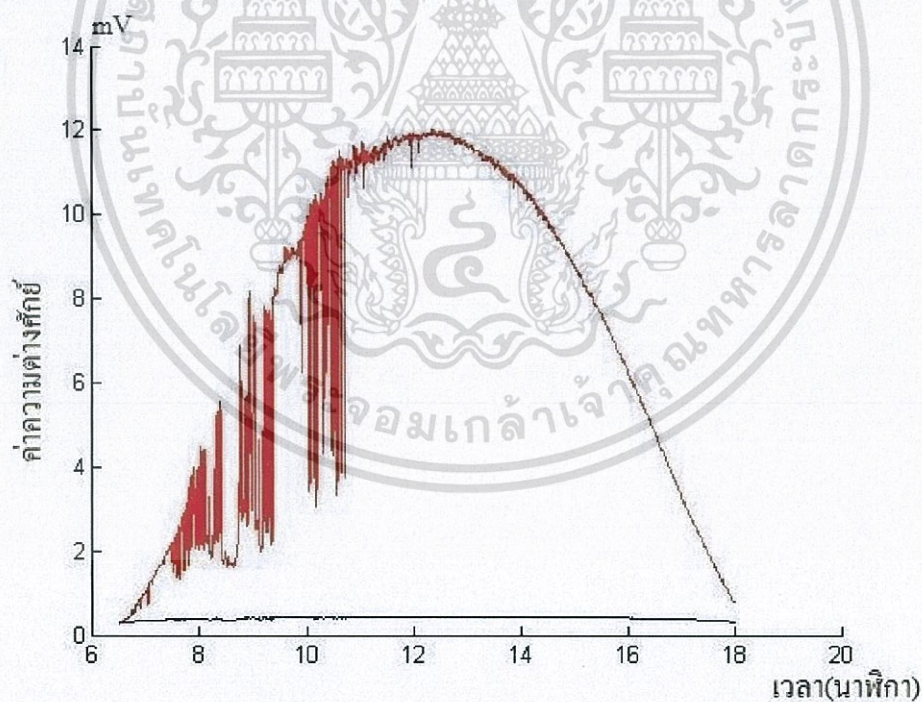


4.1.53 กราฟแสดงค่าเปรียบเทียบระหว่างตัวมาตรฐานกับโฟโต้ไดโอด BPW21R วันที่ 11

เอกสารนี้เป็นเอกสารที่สงวนไว้สำหรับการใช้งานเพื่อการศึกษาเท่านั้น ไม่อนุญาตให้นำไปใช้ประโยชน์ด้านการค้า  
ไม่ว่ากรณีใดๆ ทั้งสิ้น อีกทั้งห้ามมิให้ดัดแปลงเนื้อหา และต้องอ้างอิงถึงเจ้าของเอกสารทุกครั้งที่มีการนำไปใช้

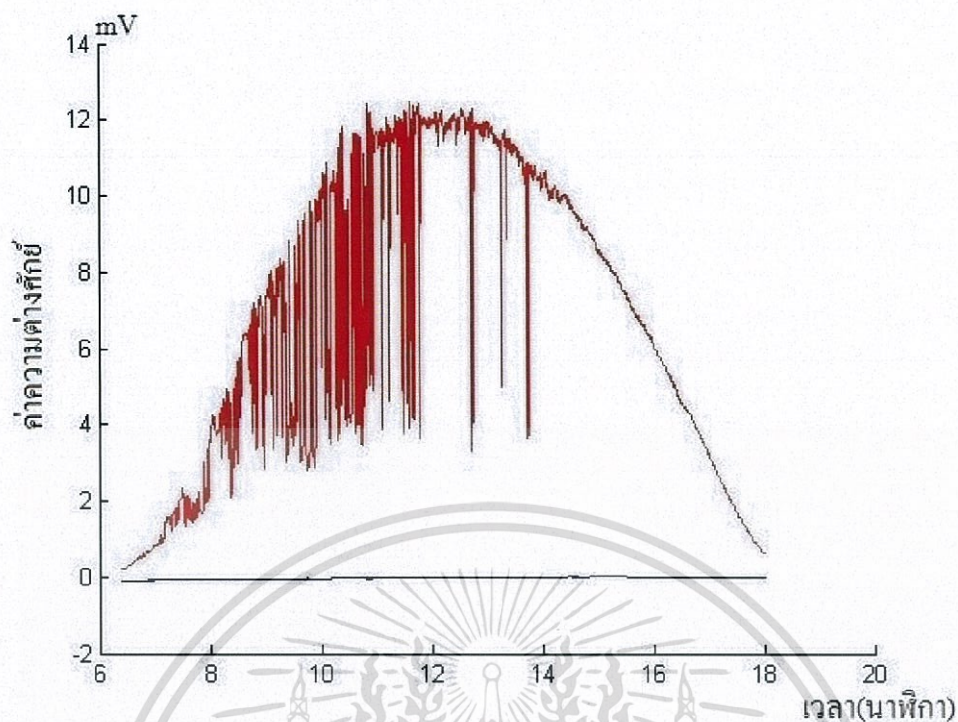


4.1.54 กราฟแสดงค่าเปรียบเทียบระหว่างตัวมาตรฐานกับโฟโตไดโอด VTB5041BH วันที่ 11

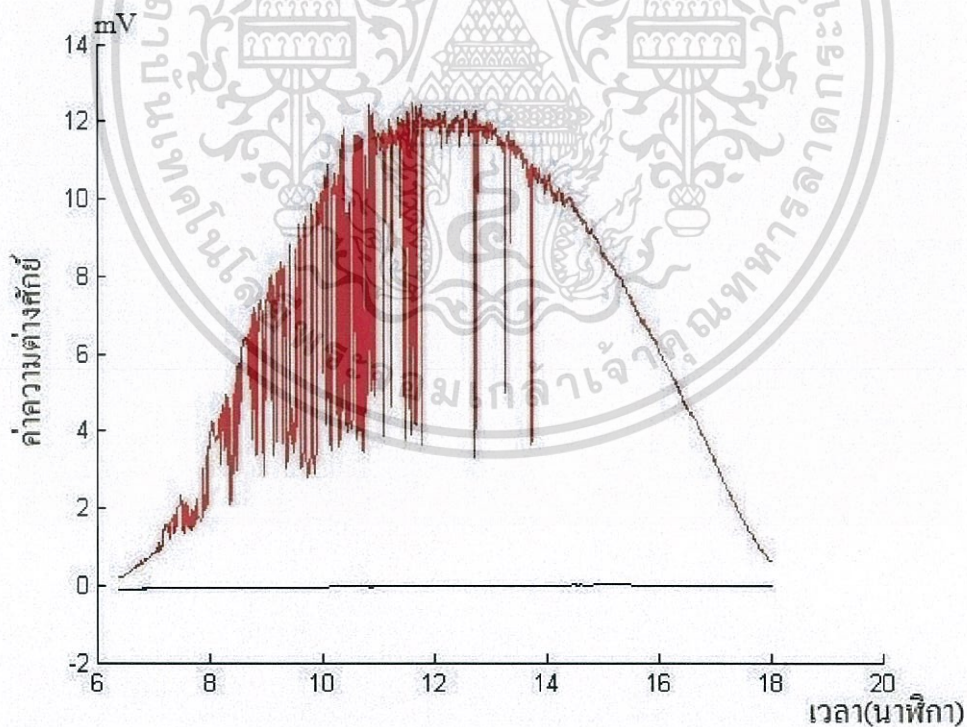


4.1.55 กราฟแสดงค่าเปรียบเทียบระหว่างตัวมาตรฐานกับโฟโตไดโอด S1223 วันที่ 11

เอกสารนี้เป็นเอกสารที่สงวนไว้สำหรับการใช้งานเพื่อการศึกษาเท่านั้น ไม่อนุญาตให้นำไปใช้ประโยชน์ด้านการค้า  
ไม่ว่ากรณีใดๆ ทั้งสิ้น อีกทั้งห้ามมิให้ดัดแปลงเนื้อหา และต้องอ้างอิงถึงเจ้าของเอกสารทุกครั้งที่มีการนำไปใช้

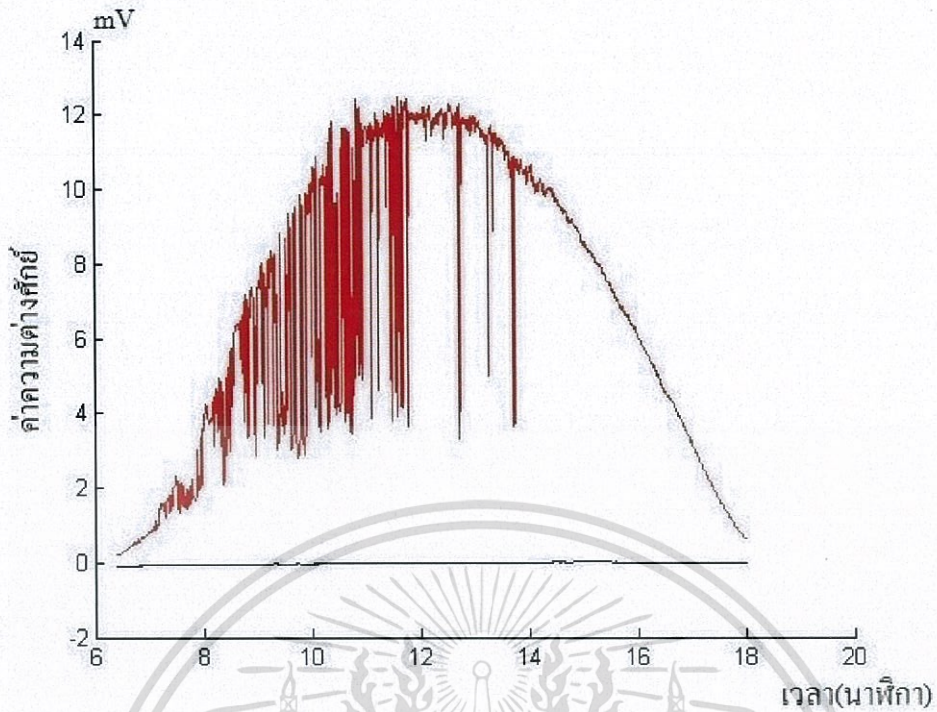


4.1.56 กราฟแสดงค่าเปรียบเทียบระหว่างตัวมาตรฐานกับโฟโต้ไดโอด VTB8440BH วันที่ 12

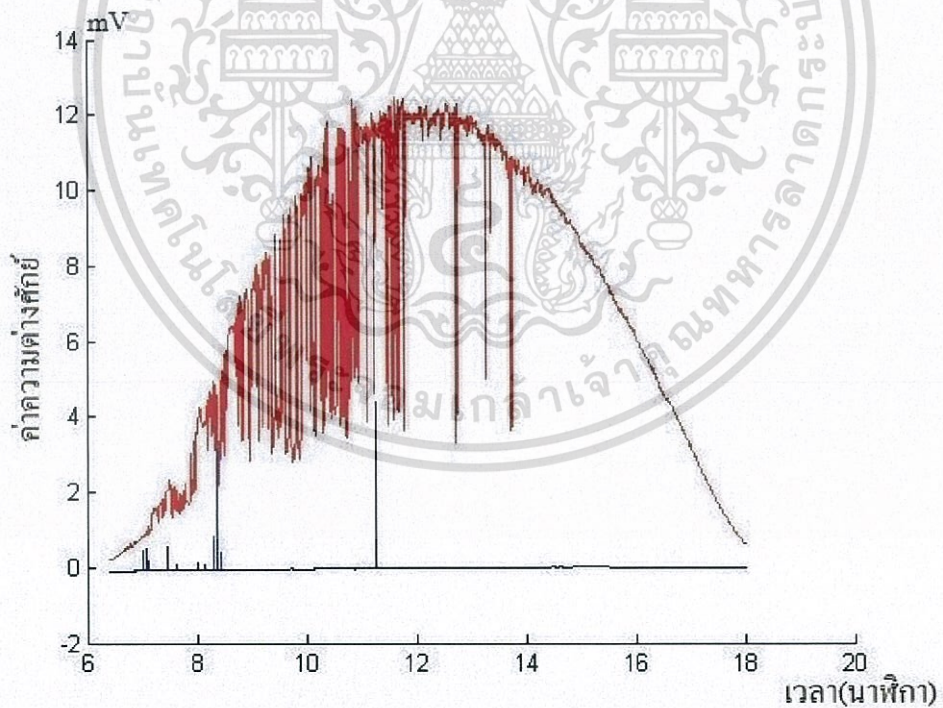


4.1.57 กราฟแสดงค่าเปรียบเทียบระหว่างตัวมาตรฐานกับโฟโต้ไดโอด S5973วันที่ 12

เอกสารนี้เป็นเอกสารที่สงวนไว้สำหรับการใช้งานเพื่อการศึกษาเท่านั้น ไม่อนุญาตให้นำไปใช้ประโยชน์ด้านการค้า  
ไม่ว่ากรณีใดๆ ทั้งสิ้น อีกทั้งห้ามมิให้ดัดแปลงเนื้อหา และต้องอ้างอิงถึงเจ้าของเอกสารทุกครั้งที่มีการนำไปใช้

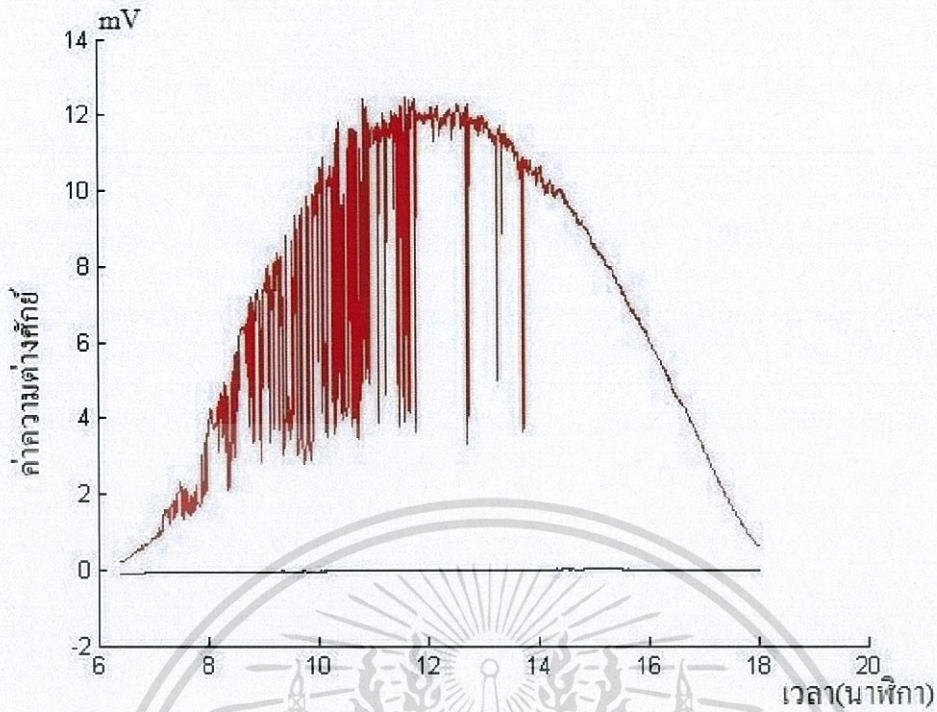


4.1.58 กราฟแสดงค่าเปรียบเทียบระหว่างตัวมาตรฐานกับโฟโต้ไดโอด BPW21R วันที่ 12

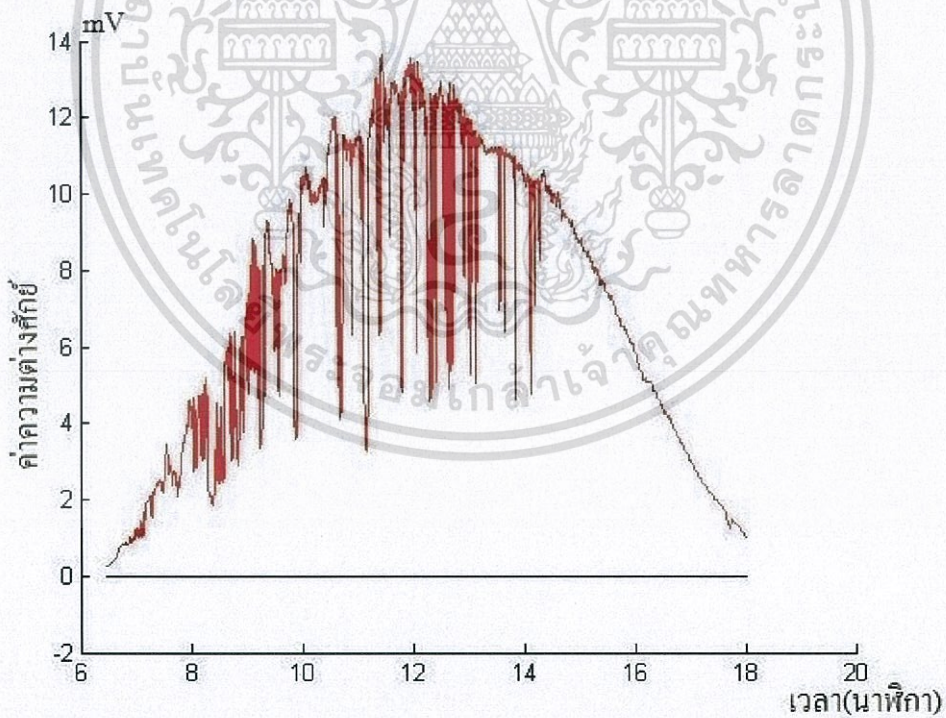


4.1.59 กราฟแสดงค่าเปรียบเทียบระหว่างตัวมาตรฐานกับโฟโต้ไดโอด VTB5041BH วันที่ 12

เอกสารนี้เป็นเอกสารที่สงวนไว้สำหรับการใช้งานเพื่อการศึกษาเท่านั้น ไม่อนุญาตให้นำไปใช้ประโยชน์ด้านการค้า  
ไม่ว่ากรณีใดๆ ทั้งสิ้น อีกทั้งห้ามมิให้ดัดแปลงเนื้อหา และต้องอ้างอิงถึงเจ้าของเอกสารทุกครั้งที่มีการนำไปใช้

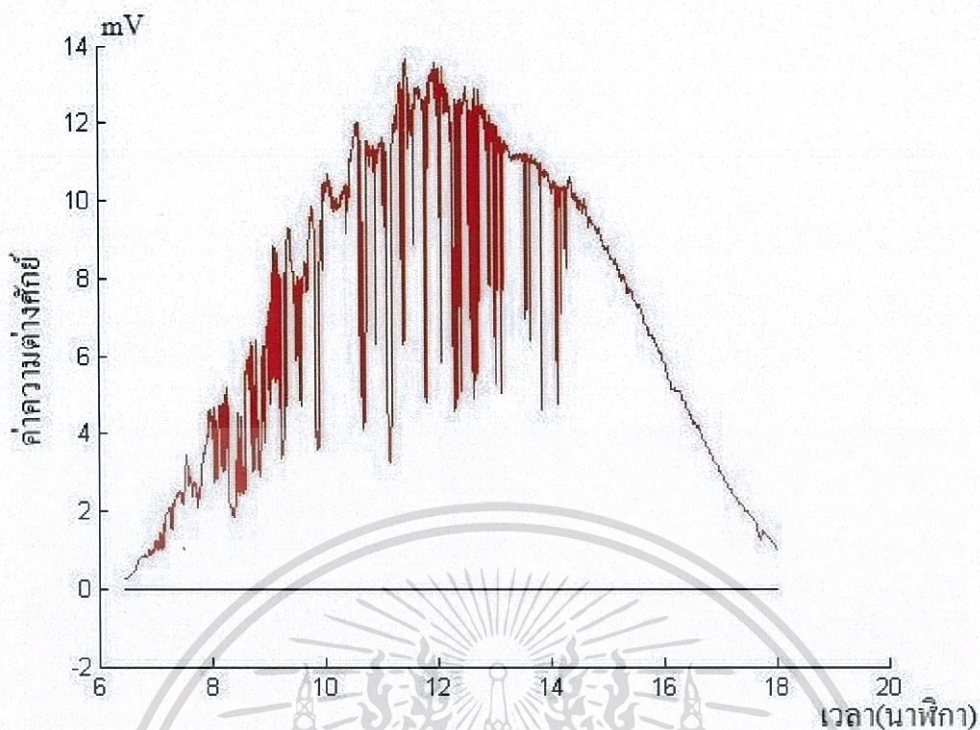


4.1.60 กราฟแสดงค่าเปรียบเทียบระหว่างตัวมาตรฐานกับโพไตไดโอด S1223 วันที่ 12

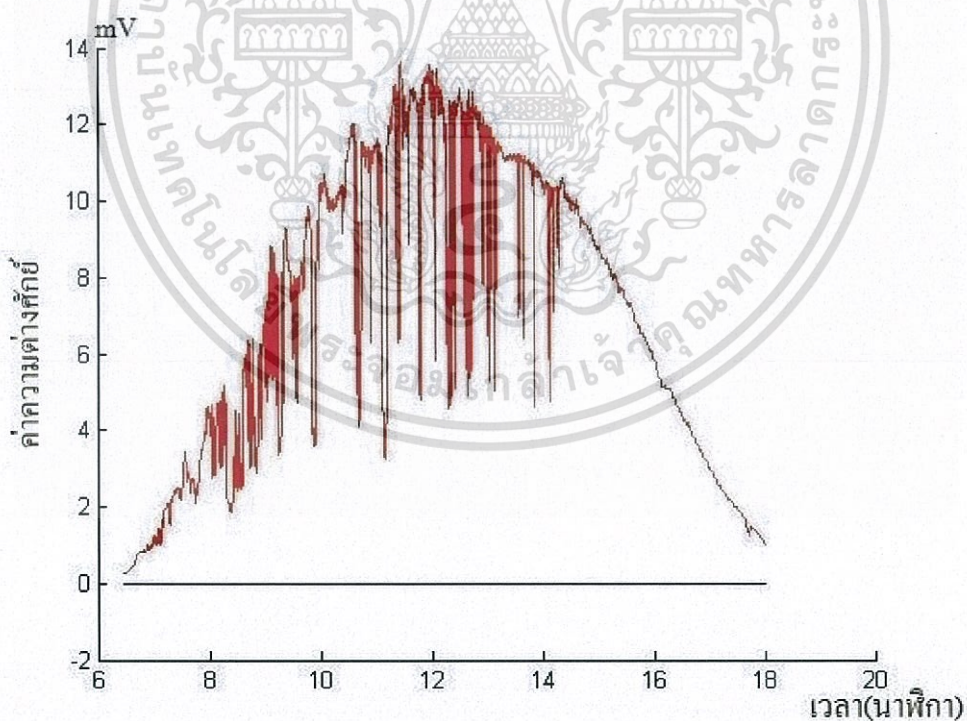


4.1.61 กราฟแสดงค่าเปรียบเทียบระหว่างตัวมาตรฐานกับโพไตไดโอด VTB8440BH วันที่ 13

เอกสารนี้เป็นเอกสารที่สงวนไว้สำหรับการใช้งานเพื่อการศึกษาเท่านั้น ไม่อนุญาตให้นำไปใช้ประโยชน์ด้านการค้า  
ไม่ว่ากรณีใดๆ ทั้งสิ้น อีกทั้งห้ามมิให้ดัดแปลงเนื้อหา และต้องอ้างอิงถึงเจ้าของเอกสารทุกครั้งที่มีการนำไปใช้

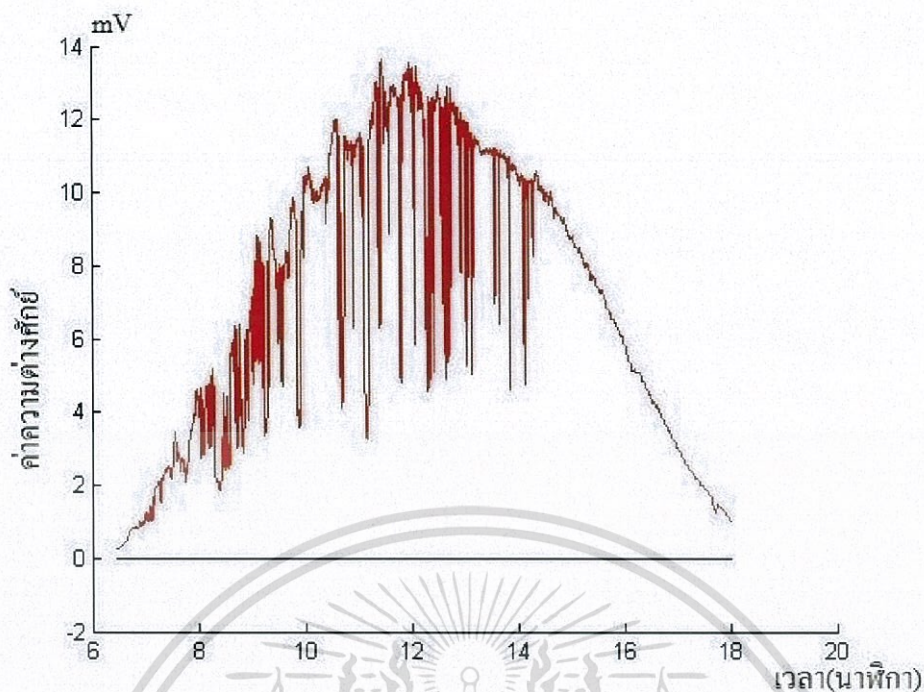


4.1.62 กราฟแสดงค่าเปรียบเทียบระหว่างตัวมาตรฐานกับโฟโต้ไดโอด S5973 วันที่ 13

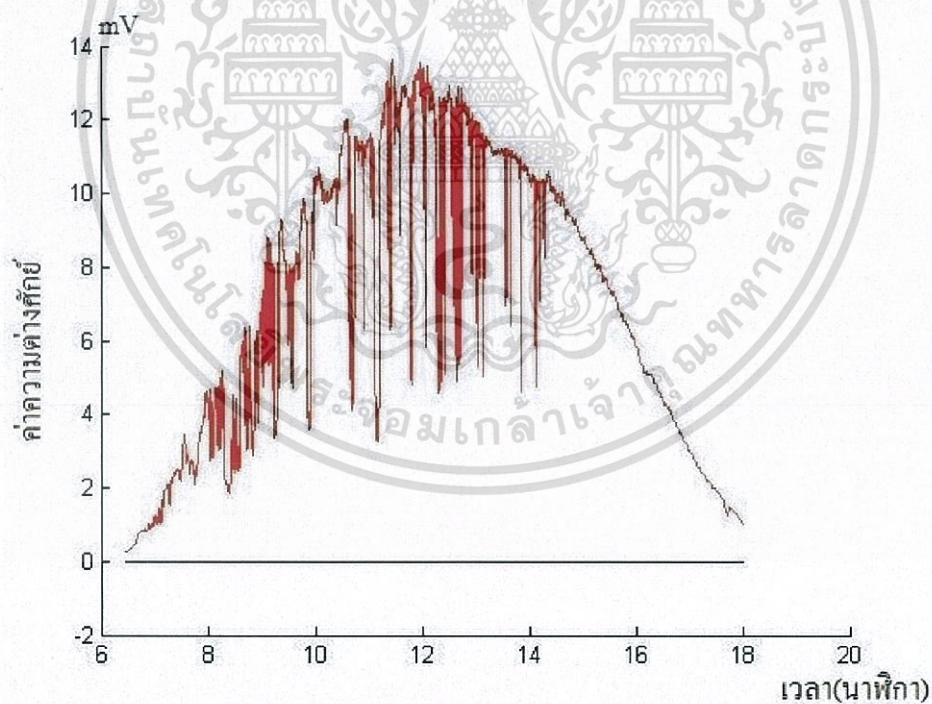


4.1.63 กราฟแสดงค่าเปรียบเทียบระหว่างตัวมาตรฐานกับโฟโต้ไดโอด BPW21R วันที่ 13

เอกสารนี้เป็นเอกสารที่สงวนไว้สำหรับการใช้งานเพื่อการศึกษาเท่านั้น ไม่อนุญาตให้นำไปใช้ประโยชน์ด้านการค้า  
ไม่ว่ากรณีใดๆ ทั้งสิ้น อีกทั้งห้ามมิให้ดัดแปลงเนื้อหา และต้องอ้างอิงถึงเจ้าของเอกสารทุกครั้งที่มีการนำไปใช้

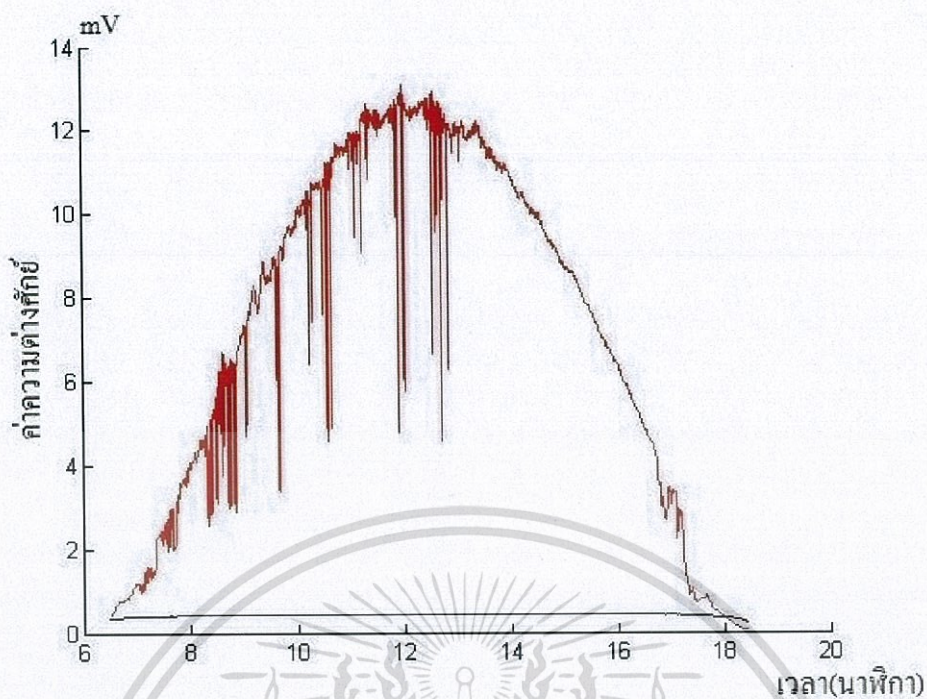


4.1.64 กราฟแสดงค่าเปรียบเทียบระหว่างตัวมาตรฐานกับโฟโต้ไดโอด VTB5041BH วันที่ 13

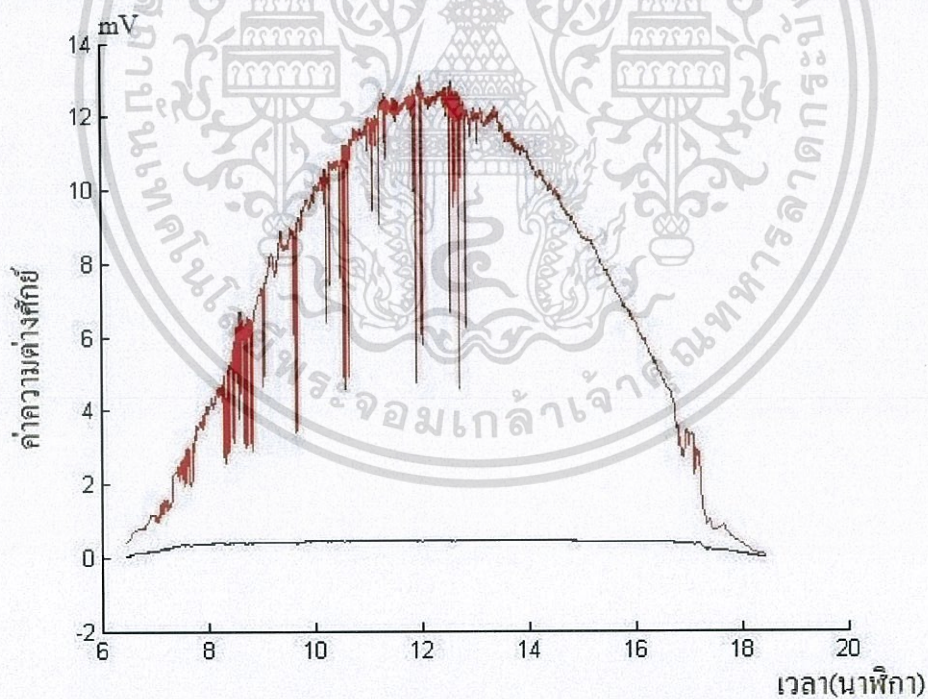


4.1.65 กราฟแสดงค่าเปรียบเทียบระหว่างตัวมาตรฐานกับโฟโต้ไดโอด S1223 วันที่ 13

เอกสารนี้เป็นเอกสารที่สงวนไว้สำหรับการใช้งานเพื่อการศึกษาเท่านั้น ไม่อนุญาตให้นำไปใช้ประโยชน์ด้านการค้า  
ไม่ว่ากรณีใดๆ ทั้งสิ้น อีกทั้งห้ามมิให้ดัดแปลงเนื้อหา และต้องอ้างอิงถึงเจ้าของเอกสารทุกครั้งที่มีการนำไปใช้

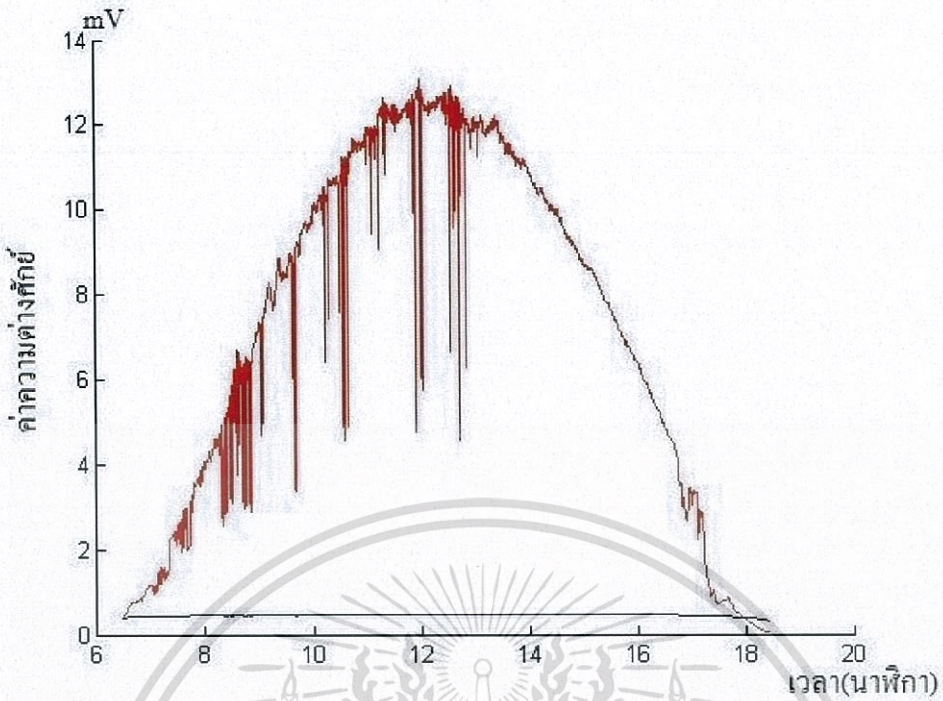


4.1.66 กราฟแสดงค่าเปรียบเทียบระหว่างตัวมาตรฐานกับโฟโตไดโอด VTB8440BH วันที่ 14

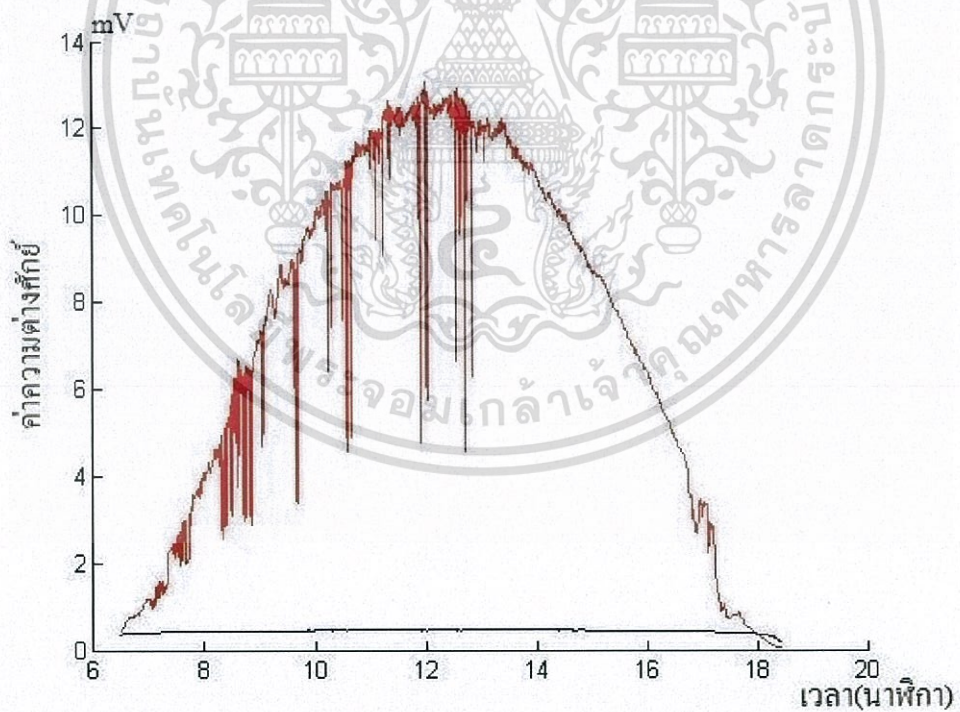


4.1.67 กราฟแสดงค่าเปรียบเทียบระหว่างตัวมาตรฐานกับโฟโตไดโอด S5973วันที่ 14

เอกสารนี้เป็นเอกสารที่สงวนไว้สำหรับการใช้งานเพื่อการศึกษาเท่านั้น ไม่อนุญาตให้นำไปใช้ประโยชน์ด้านการค้า  
ไม่ว่ากรณีใดๆ ทั้งสิ้น อีกทั้งห้ามมิให้ดัดแปลงเนื้อหา และต้องอ้างอิงถึงเจ้าของเอกสารทุกครั้งที่มีการนำไปใช้

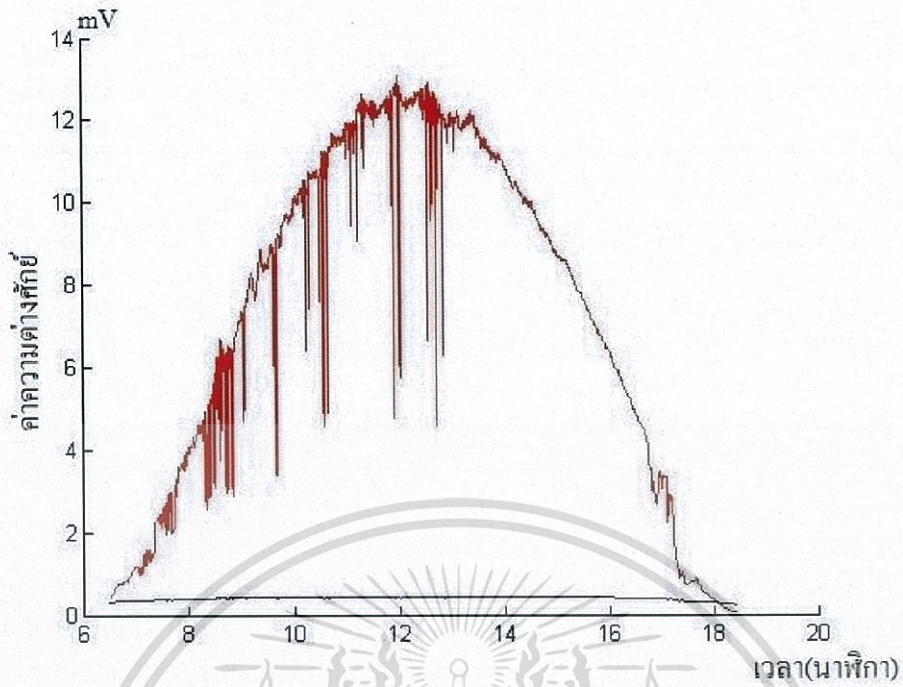


4.1.68 กราฟแสดงค่าเปรียบเทียบระหว่างตัวมาตรฐานกับโฟโต้ไดโอด BPW21R วันที่ 14

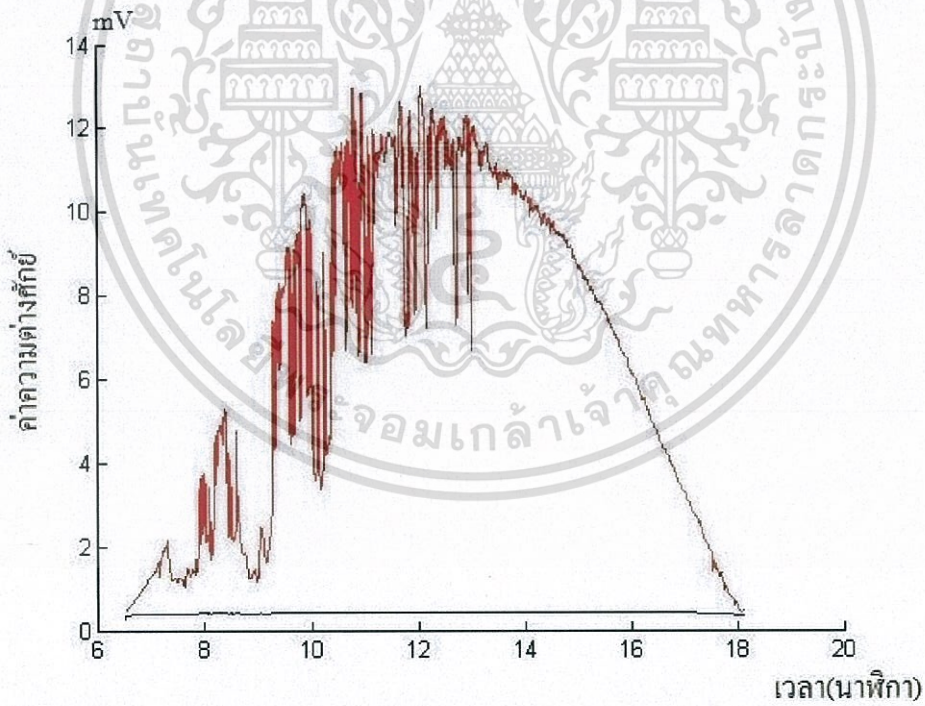


4.1.69 กราฟแสดงค่าเปรียบเทียบระหว่างตัวมาตรฐานกับโฟโต้ไดโอด VTB5041BH วันที่ 14

เอกสารนี้เป็นเอกสารที่สงวนไว้สำหรับการใช้งานเพื่อการศึกษาเท่านั้น ไม่อนุญาตให้นำไปใช้ประโยชน์ด้านการค้า  
ไม่ว่ากรณีใดๆ ทั้งสิ้น อีกทั้งห้ามมิให้คัดแปลงเนื้อหา และต้องอ้างอิงถึงเจ้าของเอกสารทุกครั้งที่มีการนำไปใช้

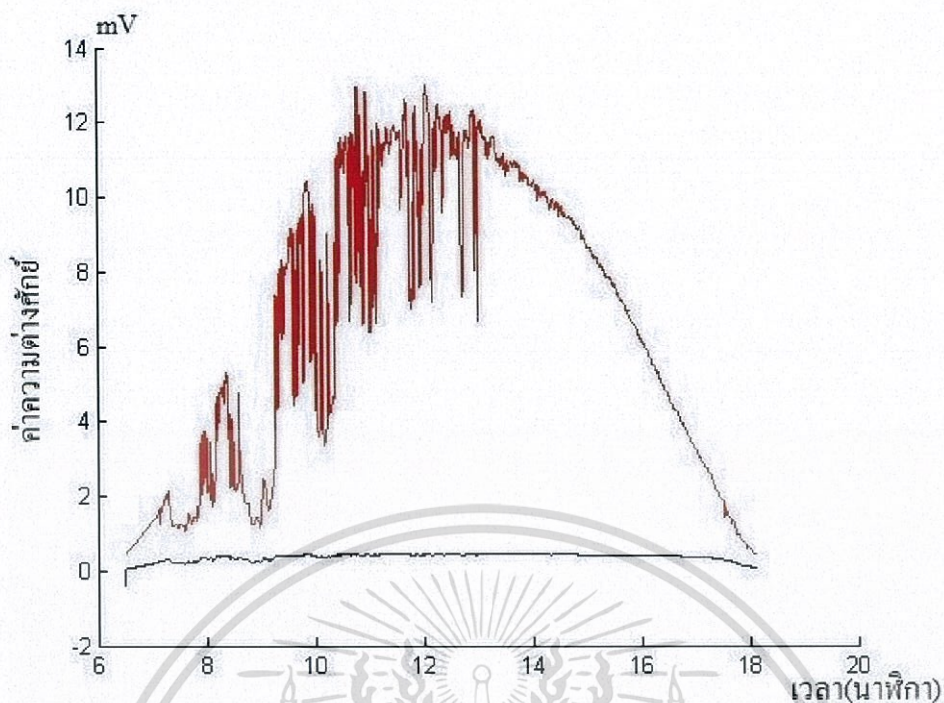


4.1.70 กราฟแสดงค่าเปรียบเทียบระหว่างตัวมาตรฐานกับโฟโต้ไดโอด S1223 วันที่ 14

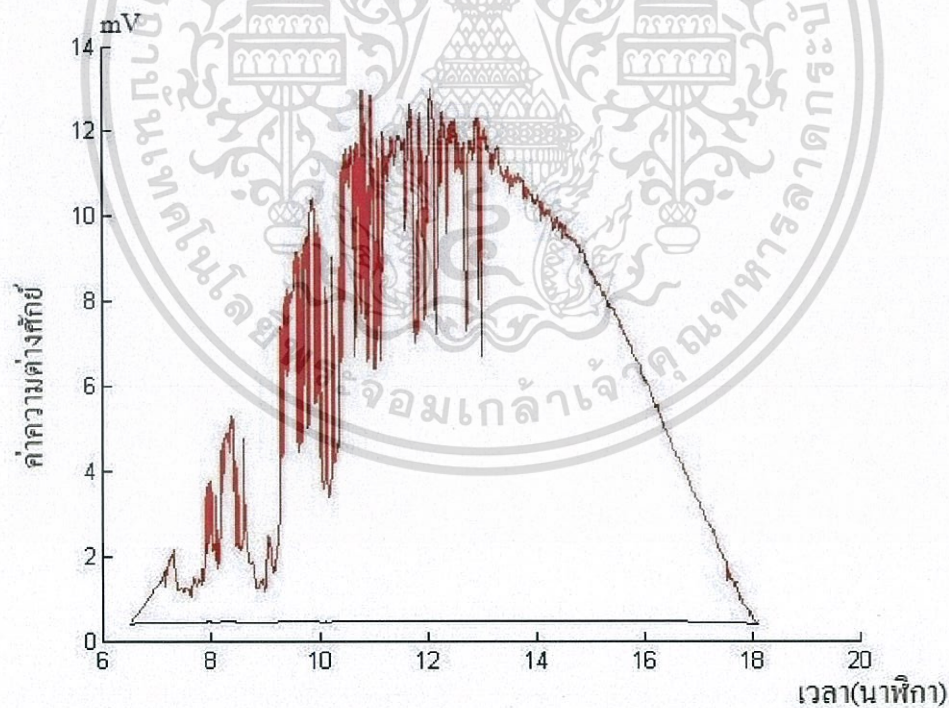


4.1.71 กราฟแสดงค่าเปรียบเทียบระหว่างตัวมาตรฐานกับโฟโต้ไดโอด VTB8440BH วันที่ 15

เอกสารนี้เป็นเอกสารที่สงวนไว้สำหรับการใช้งานเพื่อการศึกษาเท่านั้น ไม่อนุญาตให้นำไปใช้ประโยชน์ด้านการค้า  
ไม่ว่ากรณีใดๆ ทั้งสิ้น อีกทั้งห้ามมิให้ดัดแปลงเนื้อหา และต้องอ้างอิงถึงเจ้าของเอกสารทุกครั้งที่มีการนำไปใช้

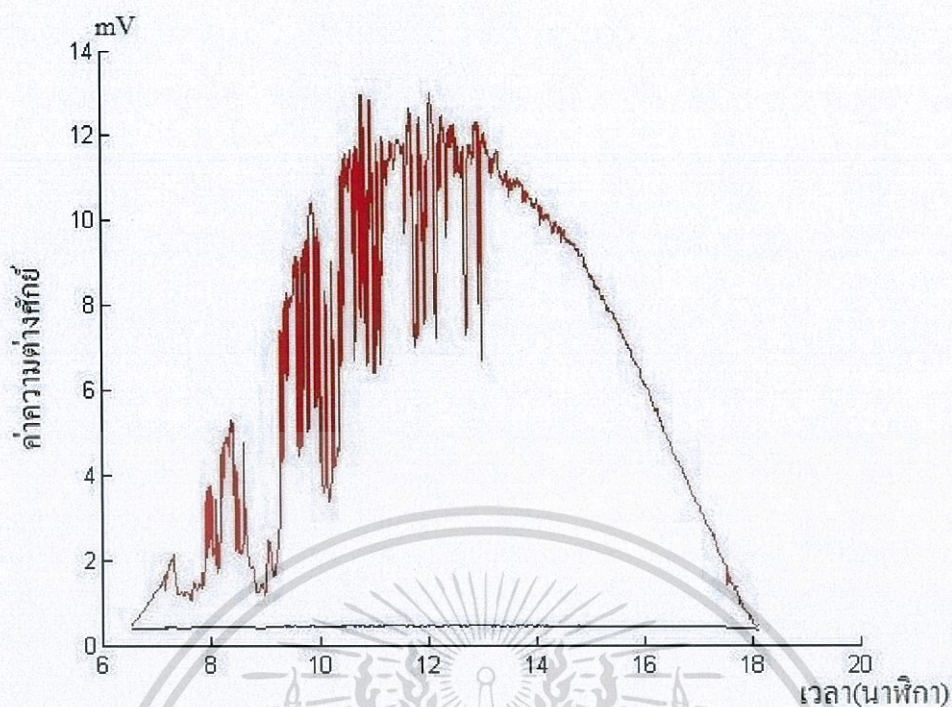


4.1.72 กราฟแสดงค่าเปรียบเทียบระหว่างตัวมาตรฐานกับโฟโต้ไดโอด S5973 วันที่ 15

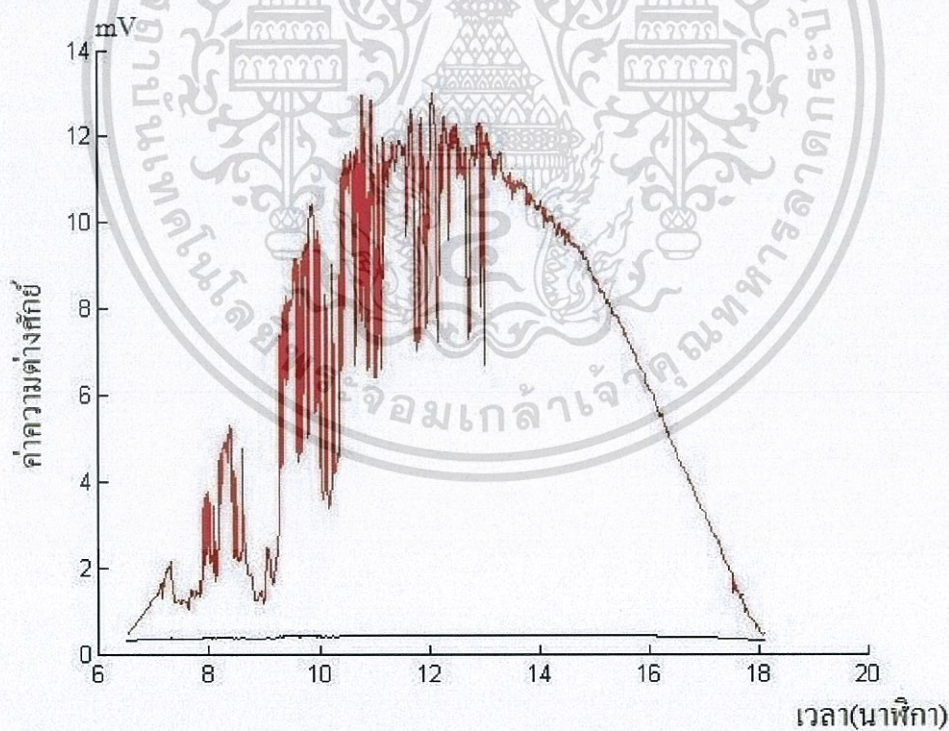


4.1.73 กราฟแสดงค่าเปรียบเทียบระหว่างตัวมาตรฐานกับโฟโต้ไดโอด BPW21R วันที่ 15

เอกสารนี้เป็นเอกสารที่สงวนไว้สำหรับการใช้งานเพื่อการศึกษาเท่านั้น ไม่อนุญาตให้นำไปใช้ประโยชน์ด้านการค้า  
ไม่ว่ากรณีใดๆ ทั้งสิ้น อีกทั้งห้ามมิให้ดัดแปลงเนื้อหา และต้องอ้างอิงถึงเจ้าของเอกสารทุกครั้งที่มีการนำไปใช้

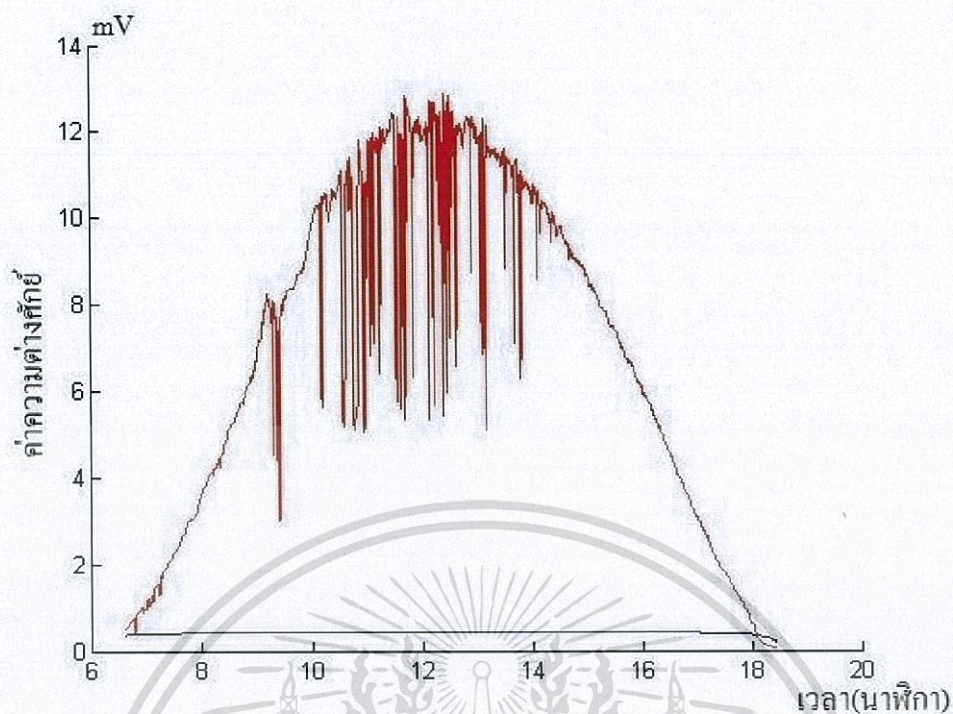


4.1.74 กราฟแสดงค่าเปรียบเทียบระหว่างตัวมาตรฐานกับโฟโต้ไดโอด VTB5041BH วันที่ 15

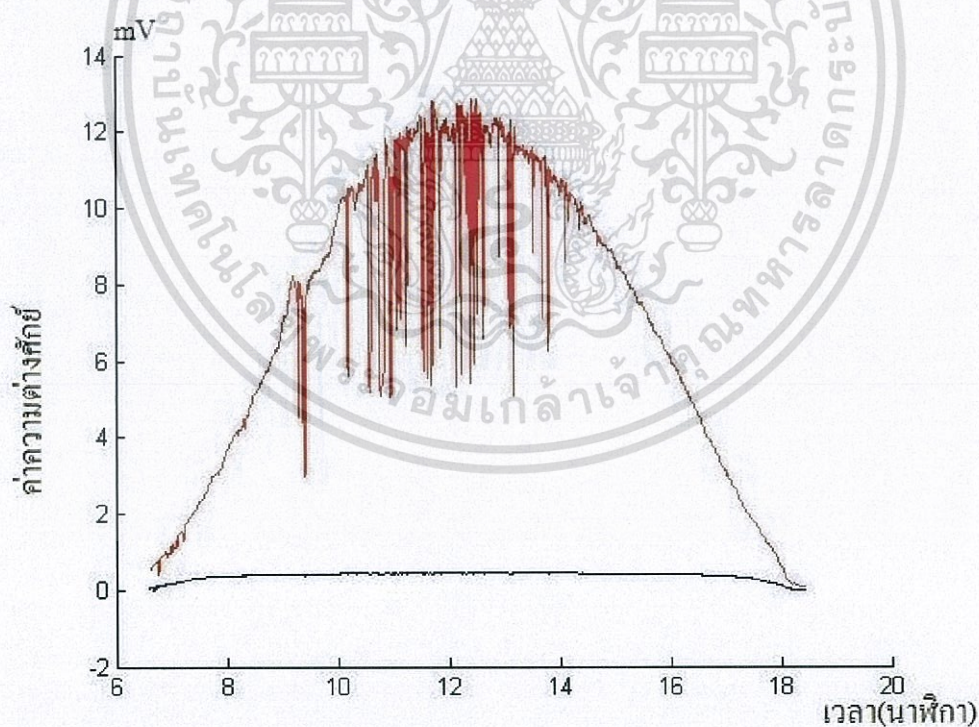


4.1.75 กราฟแสดงค่าเปรียบเทียบระหว่างตัวมาตรฐานกับโฟโต้ไดโอด S1223 วันที่ 15

เอกสารนี้เป็นเอกสารที่สงวนไว้สำหรับการใช้งานเพื่อการศึกษาเท่านั้น ไม่อนุญาตให้นำไปใช้ประโยชน์ด้านการค้า  
ไม่ว่ากรณีใดๆ ทั้งสิ้น อีกทั้งห้ามมิให้ตัดแปลงเนื้อหา และต้องอ้างอิงถึงเจ้าของเอกสารทุกครั้งที่มีการนำไปใช้

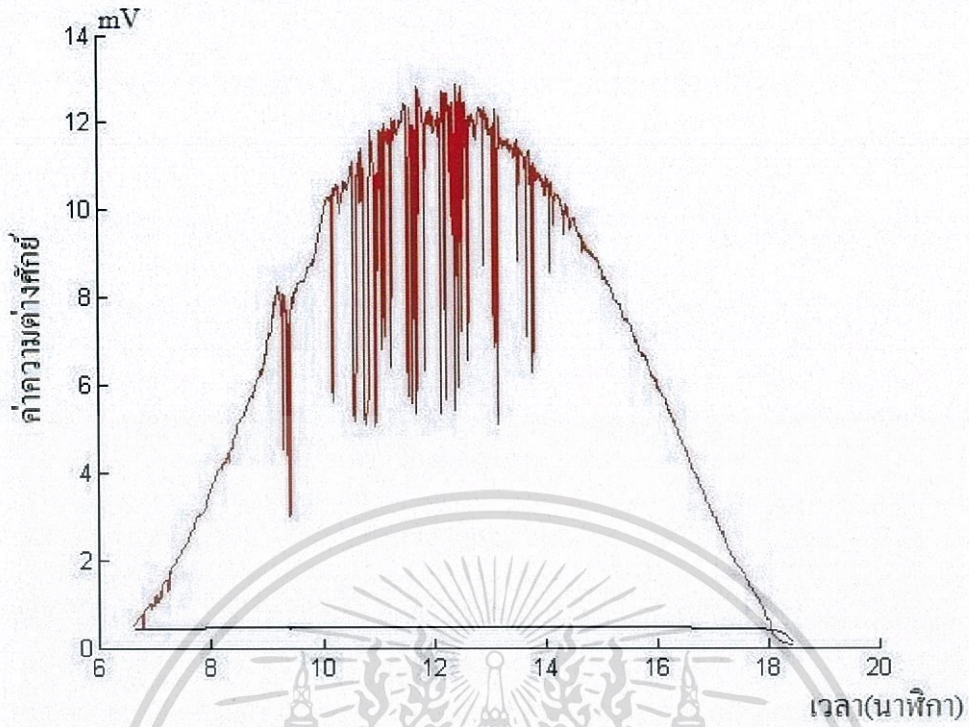


4.1.76 กราฟแสดงค่าเปรียบเทียบระหว่างตัวมาตรฐานกับโฟโต้ไดโอด VTB8440BH วันที่ 16

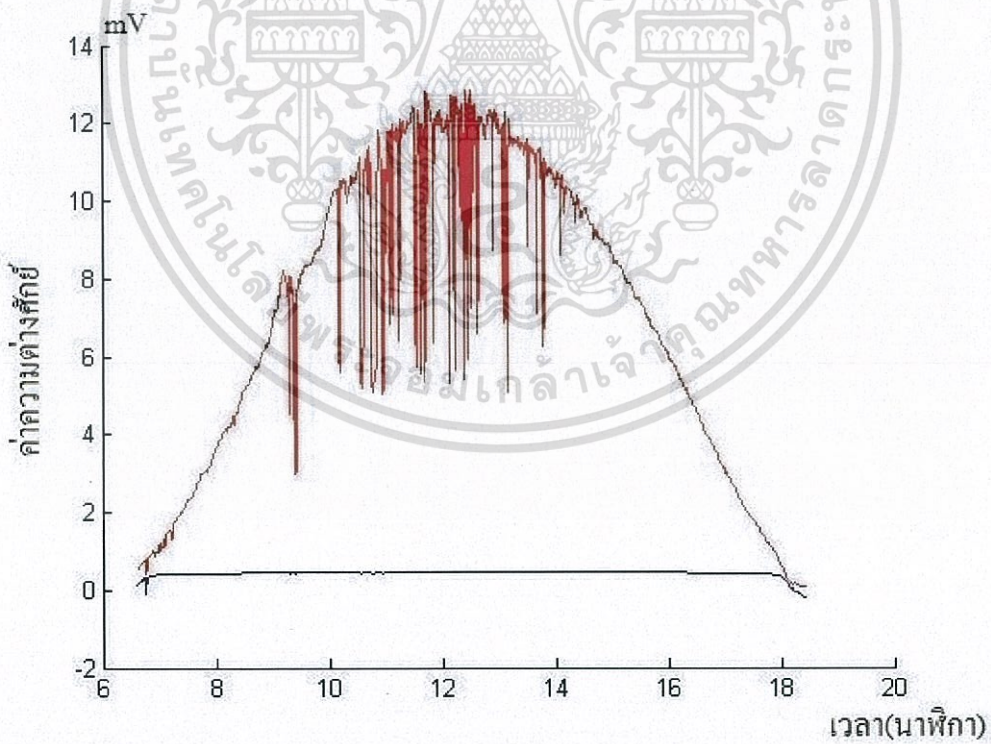


4.1.77 กราฟแสดงค่าเปรียบเทียบระหว่างตัวมาตรฐานกับโฟโต้ไดโอด S5973 วันที่ 16

เอกสารนี้เป็นเอกสารที่สงวนไว้สำหรับการใช้งานเพื่อการศึกษาเท่านั้น ไม่อนุญาตให้นำไปใช้ประโยชน์ด้านการค้า  
ไม่ว่ากรณีใดๆ ทั้งสิ้น อีกทั้งห้ามมิให้ดัดแปลงเนื้อหา และต้องอ้างอิงถึงเจ้าของเอกสารทุกครั้งที่มีการนำไปใช้

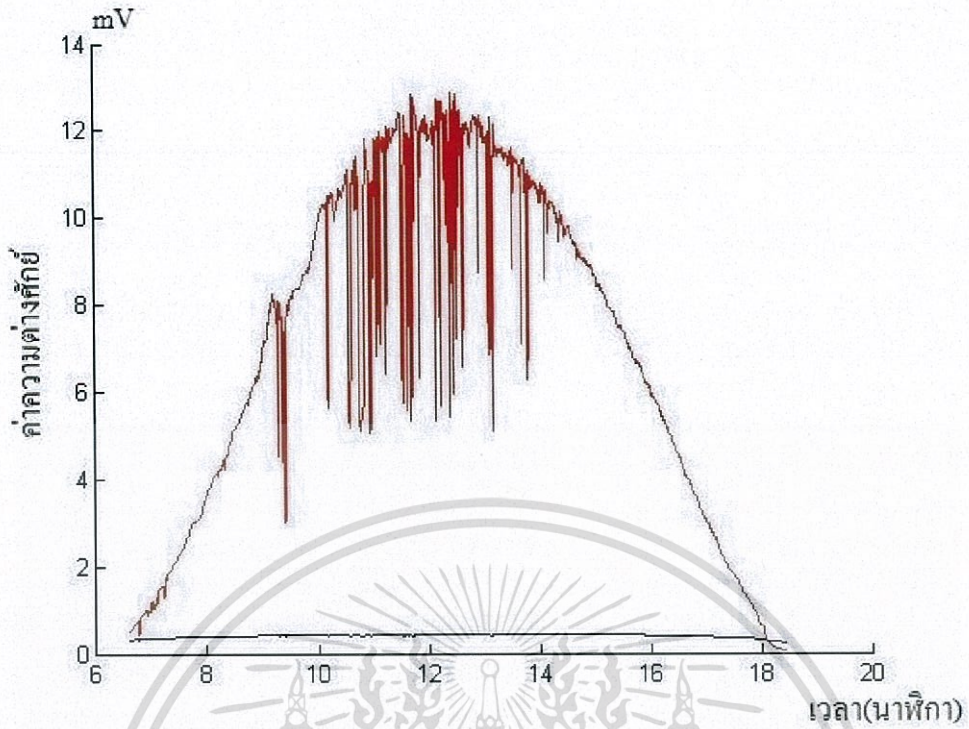


4.1.78 กราฟแสดงค่าเปรียบเทียบระหว่างตัวมาตรฐานกับโฟโต้ไดโอด BPW21R วันที่ 16

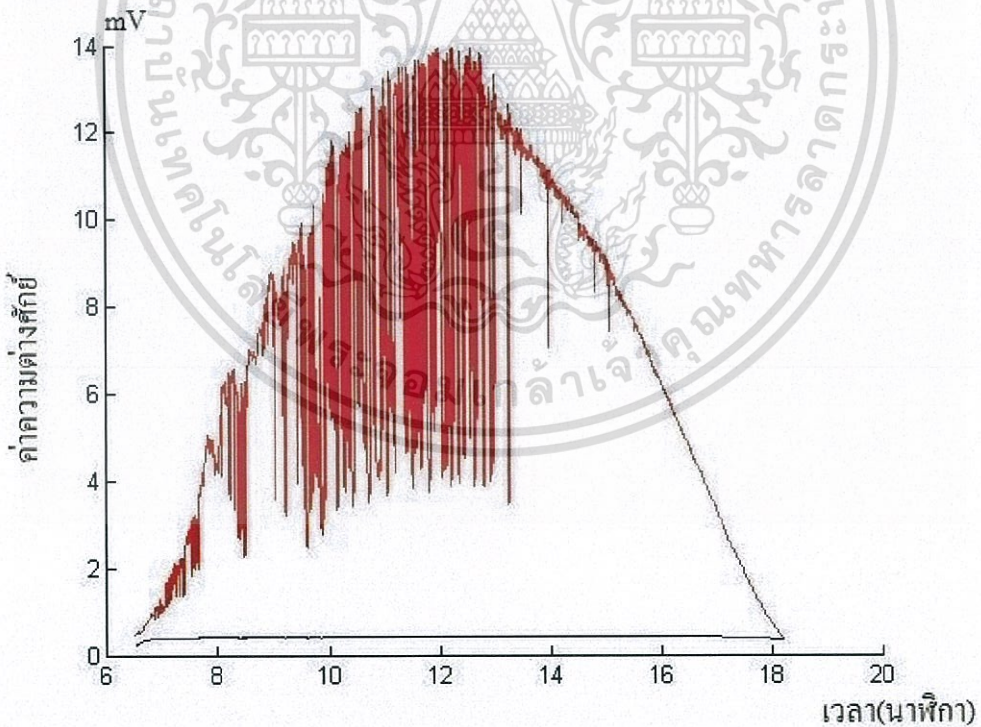


4.1.79 กราฟแสดงค่าเปรียบเทียบระหว่างตัวมาตรฐานกับโฟโต้ไดโอด VTB5041BH วันที่ 16

เอกสารนี้เป็นเอกสารที่สงวนไว้สำหรับการใช้งานเพื่อการศึกษาเท่านั้น ไม่อนุญาตให้นำไปใช้ประโยชน์ด้านการค้า  
ไม่ว่ากรณีใดๆ ทั้งสิ้น อีกทั้งห้ามมิให้ดัดแปลงเนื้อหา และต้องอ้างอิงถึงเจ้าของเอกสารทุกครั้งที่มีการนำไปใช้

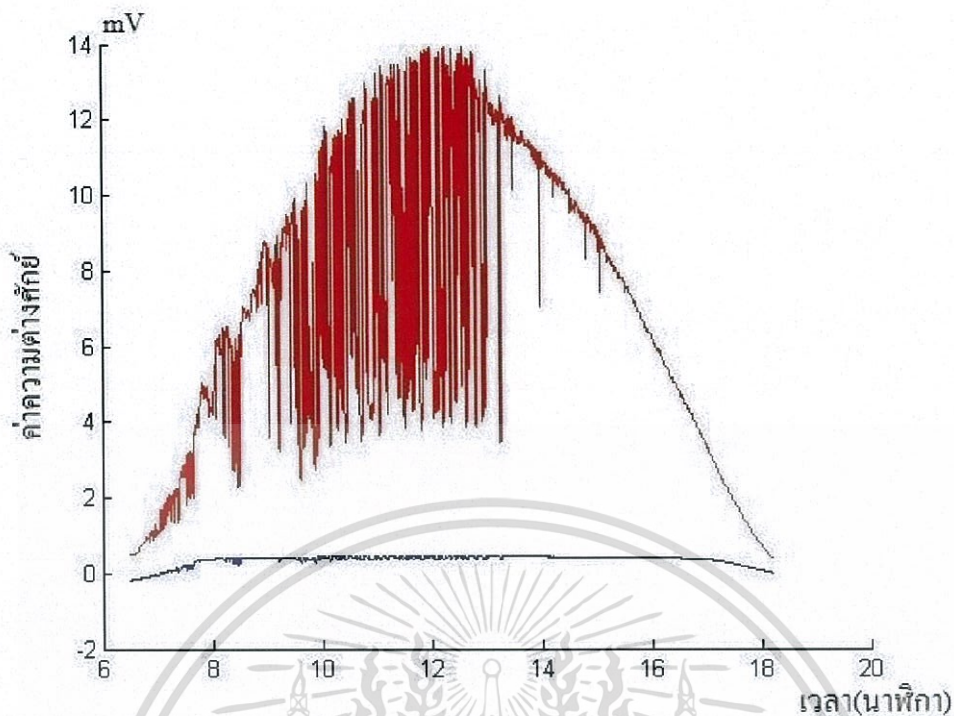


4.1.80 กราฟแสดงค่าเปรียบเทียบระหว่างตัวมาตรฐานกับโฟโต้ไดโอด S1223 วันที่ 16

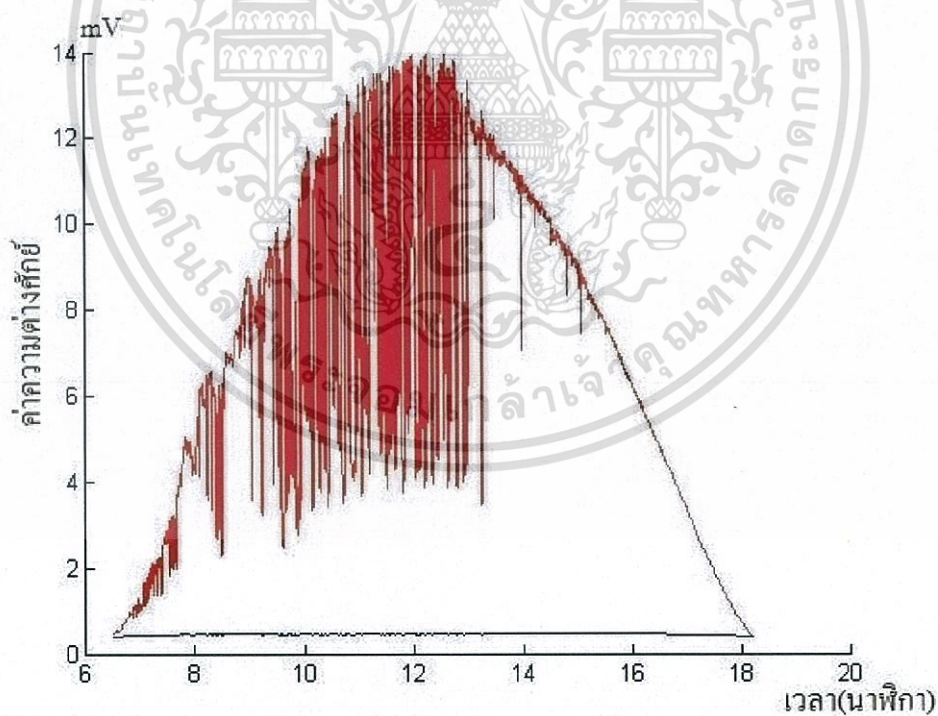


4.1.81 กราฟแสดงค่าเปรียบเทียบระหว่างตัวมาตรฐานกับโฟโต้ไดโอด VTB8440BH วันที่ 17

เอกสารนี้เป็นเอกสารที่สงวนไว้สำหรับการใช้งานเพื่อการศึกษาเท่านั้น ไม่อนุญาตให้นำไปใช้ประโยชน์ด้านการค้า  
ไม่ว่ากรณีใดๆ ทั้งสิ้น อีกทั้งห้ามมิให้ดัดแปลงเนื้อหา และต้องอ้างอิงถึงเจ้าของเอกสารทุกครั้งที่มีการนำไปใช้

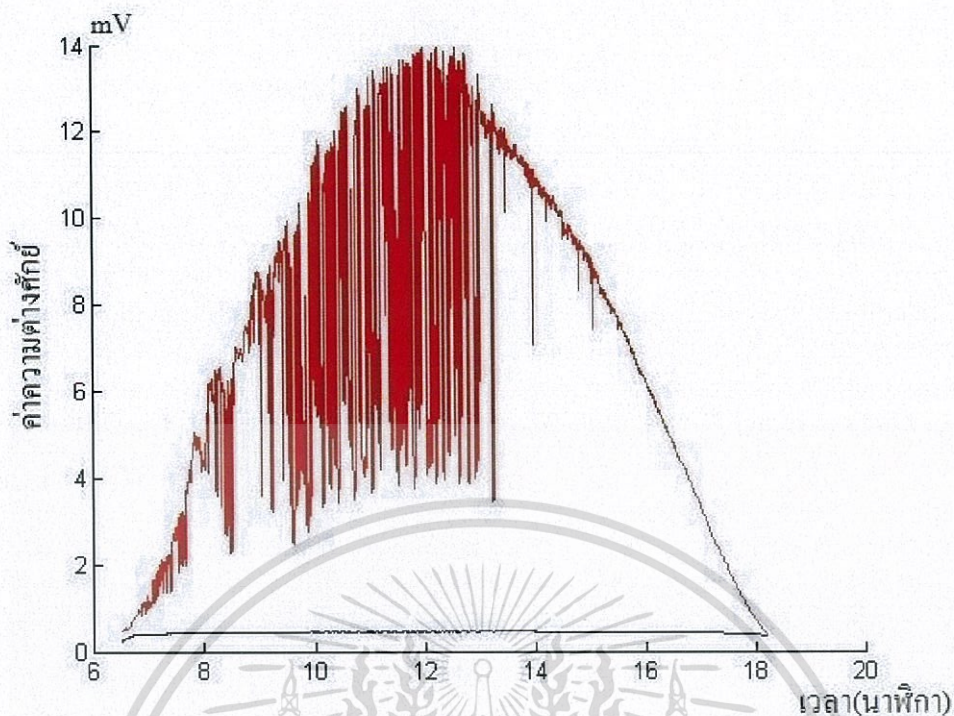


4.1.82 กราฟแสดงค่าเปรียบเทียบระหว่างตัวมาตรฐานกับโฟโต้ไดโอด S5973 วันที่ 17

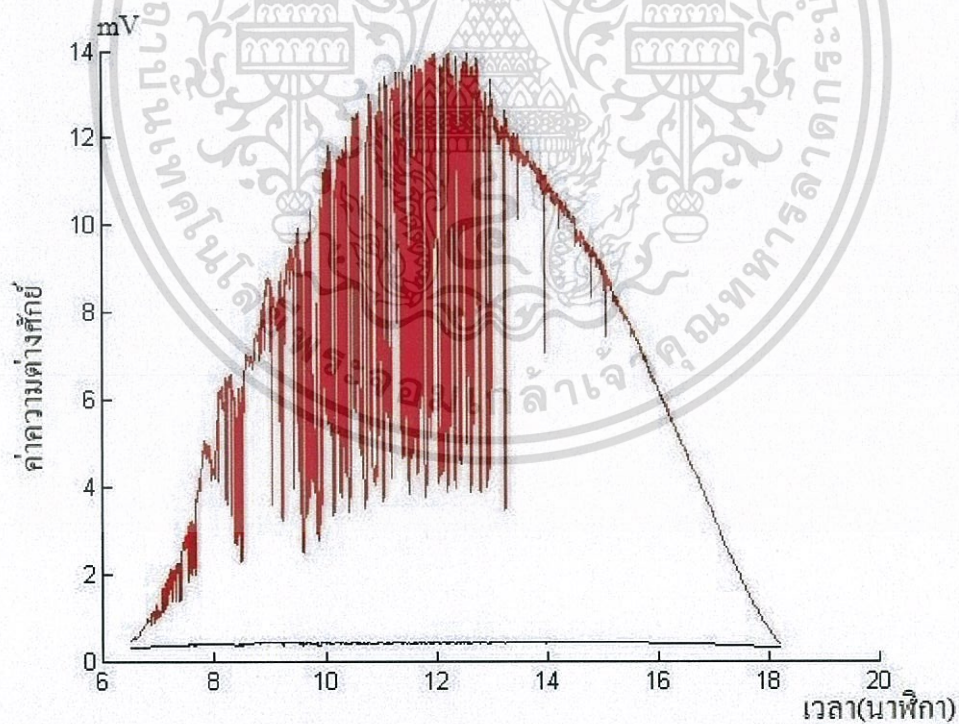


4.1.83 กราฟแสดงค่าเปรียบเทียบระหว่างตัวมาตรฐานกับโฟโต้ไดโอด BPW21R วันที่ 17

เอกสารนี้เป็นเอกสารที่สงวนไว้สำหรับการใช้งานเพื่อการศึกษาเท่านั้น ไม่อนุญาตให้นำไปใช้ประโยชน์ด้านการค้า  
ไม่ว่ากรณีใดๆ ทั้งสิ้น อีกทั้งห้ามมิให้ดัดแปลงเนื้อหา และต้องอ้างอิงถึงเจ้าของเอกสารทุกครั้งที่มีการนำไปใช้



4.1.84 กราฟแสดงค่าเปรียบเทียบระหว่างตัวมาตรฐานกับโฟโต้ไดโอด VTB5041BH วันที่ 17

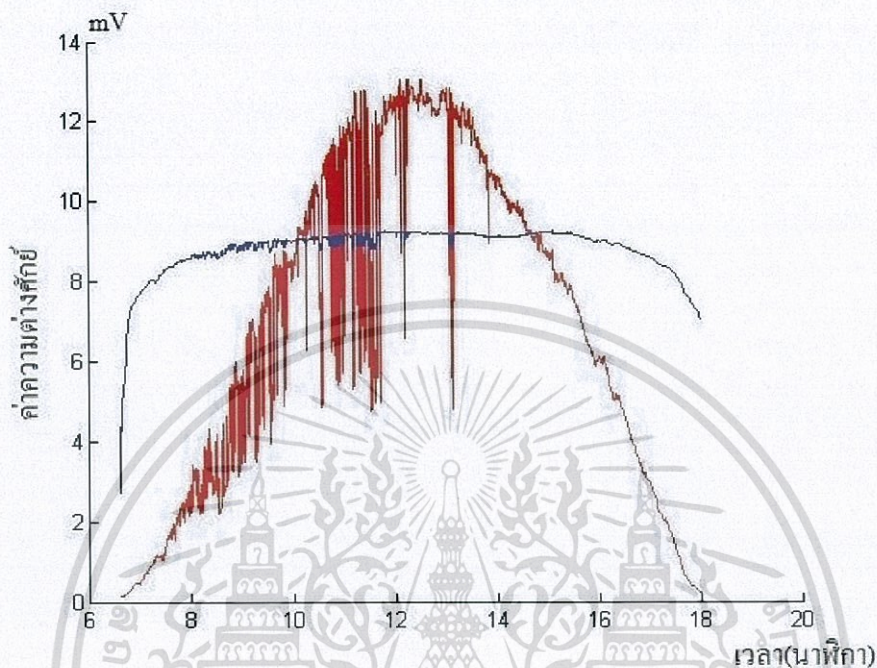


4.1.85 กราฟแสดงค่าเปรียบเทียบระหว่างตัวมาตรฐานกับโฟโต้ไดโอด S1223 วันที่ 17

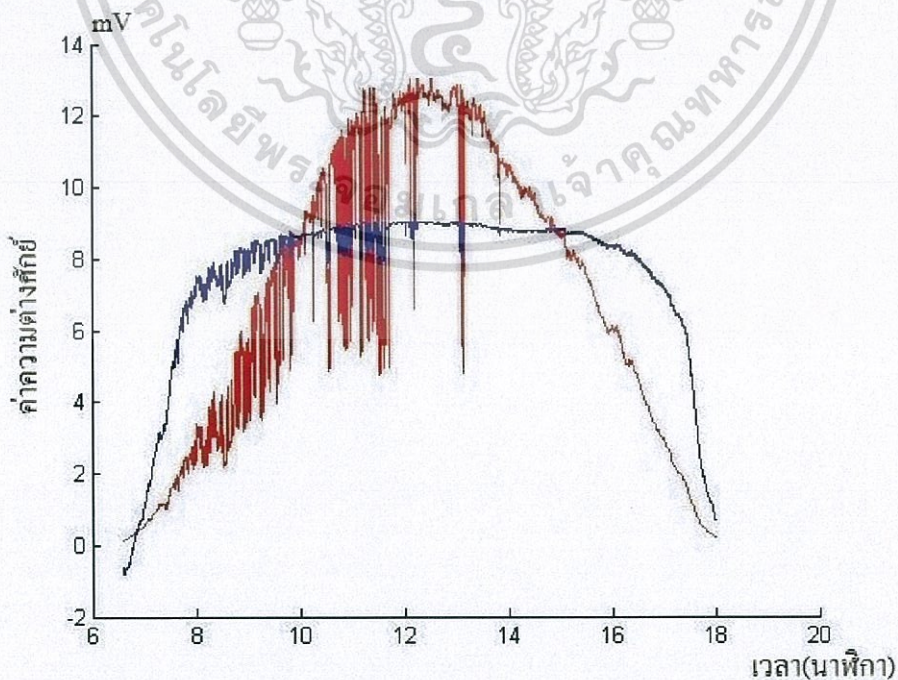
เอกสารนี้เป็นเอกสารที่สงวนไว้สำหรับการใช้งานเพื่อการศึกษาเท่านั้น ไม่อนุญาตให้นำไปใช้ประโยชน์ด้านการค้า  
ไม่ว่ากรณีใดๆ ทั้งสิ้น อีกทั้งห้ามมิให้ดัดแปลงเนื้อหา และต้องอ้างอิงถึงเจ้าของเอกสารทุกครั้งที่มีการนำไปใช้

## 4.2 ขยายผลการทดลอง

เมื่อเรานำกราฟมาขยายเพื่อตรวจสอบผล ก็พบว่าลักษณะการเปลี่ยนแปลงของกราฟยังคงคล้ายกับไพโรนอมิเตอร์ตัวมาตรฐาน เพียงแต่เกิดการ saturate ขึ้น



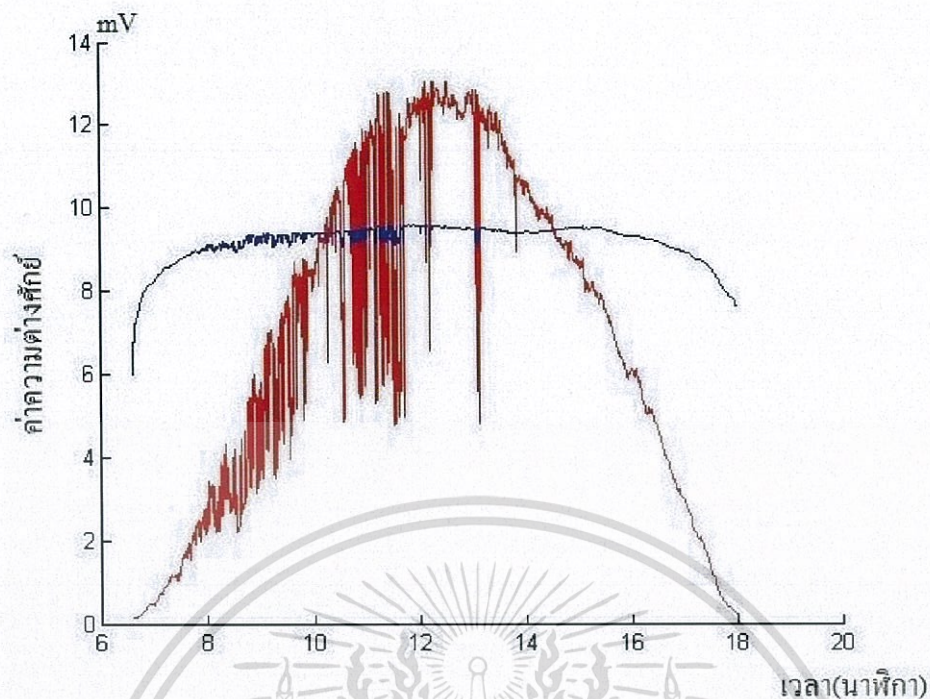
รูปที่ 4.2.1 ขยายกราฟแสดงค่าเปรียบเทียบระหว่างตัวมาตรฐานกับไฟโต้ไดโอด VTB8440BH วันที่ 1



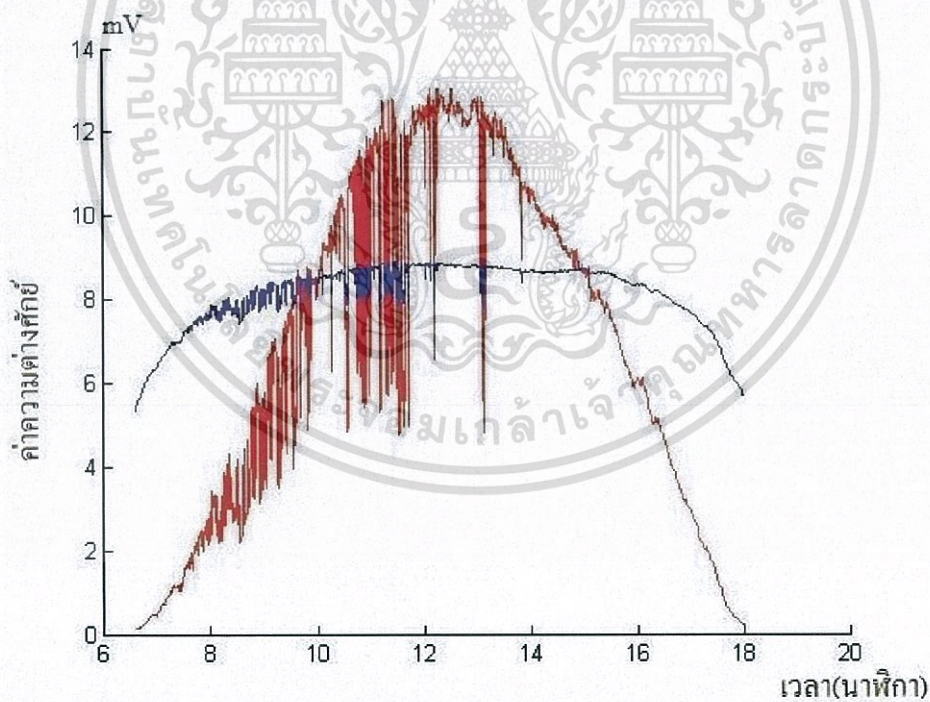
รูปที่ 4.2.2 ขยายกราฟแสดงค่าเปรียบเทียบระหว่างตัวมาตรฐานกับไฟโต้ไดโอด S5973 วันที่ 1

เอกสารนี้เป็นเอกสารที่สงวนไว้สำหรับการใช้งานเพื่อการศึกษาเท่านั้น ไม่อนุญาตให้นำไปใช้ประโยชน์ด้านการค้า

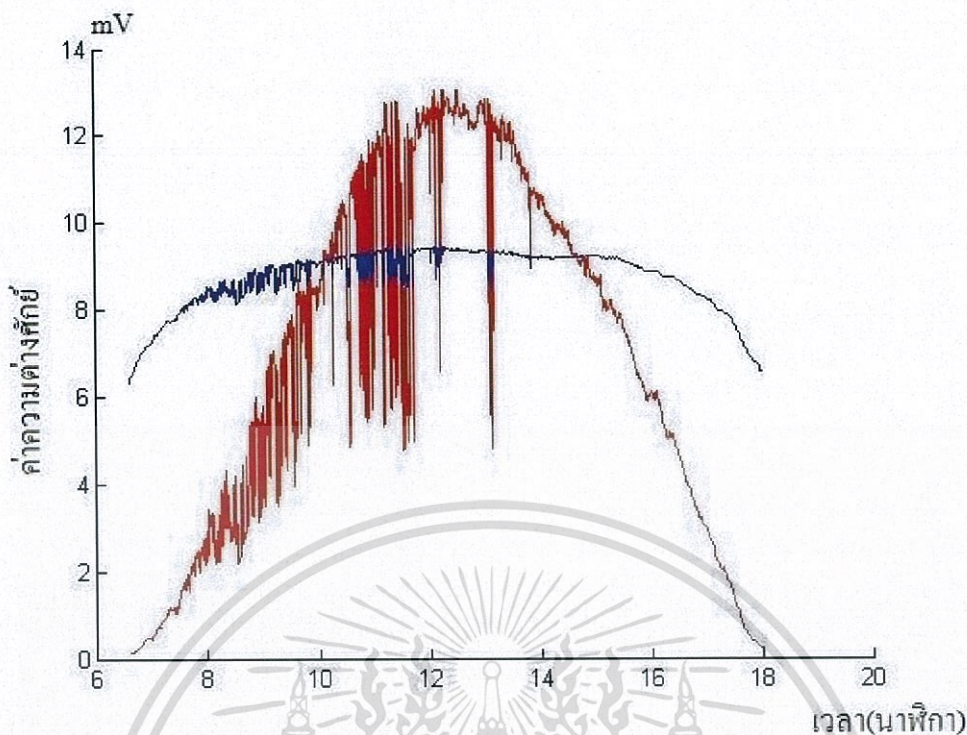
ไม่ว่ากรณีใดๆ ทั้งสิ้น อีกทั้งห้ามมิให้ดัดแปลงเนื้อหา และต้องอ้างอิงถึงเจ้าของเอกสารทุกครั้งที่มีการนำไปใช้



รูปที่ 4.2.3 ขยายกราฟแสดงค่าเปรียบเทียบระหว่างตัวมาตรฐานกับโฟโตไดโอด BPW21R วันที่ 1



รูปที่ 4.2.4 ขยายกราฟแสดงค่าเปรียบเทียบระหว่างตัวมาตรฐานกับโฟโตไดโอด VTB5041BH วันที่ 1

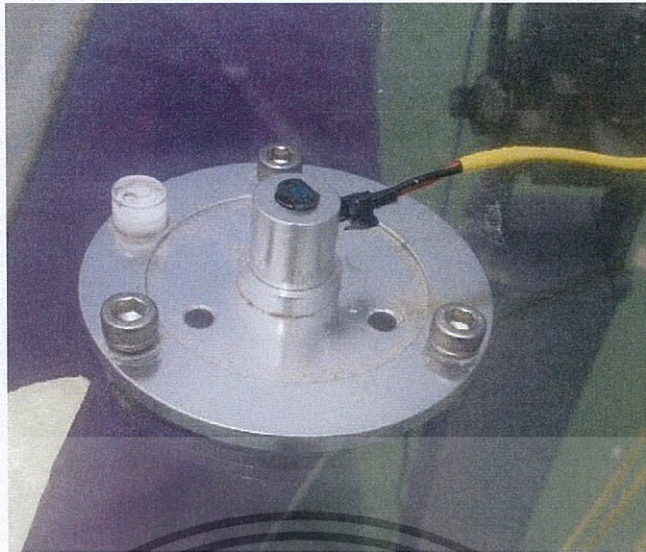


รูปที่ 4.2.5 ขยายกราฟแสดงค่าเปรียบเทียบระหว่างตัวมาตรฐานกับโฟโตไดโอด S1223 วันที่ 1

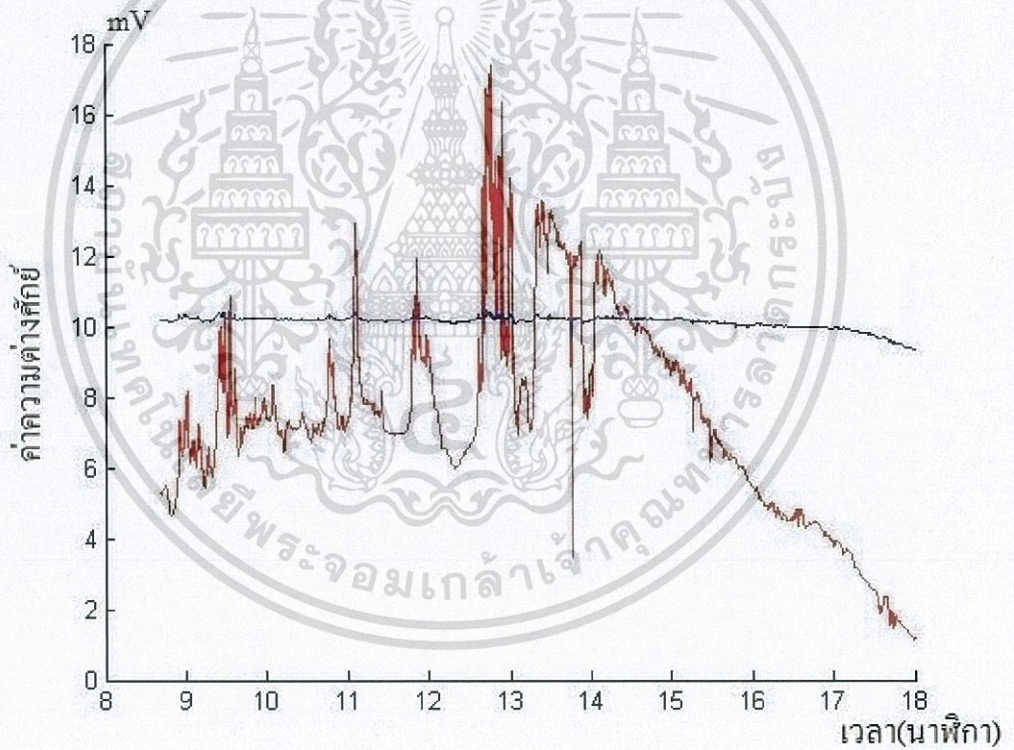
### 4.3 ข้อสันนิษฐาน

กำหนดข้อสันนิษฐานเพื่อหาทางแก้ปัญหาที่เกิดขึ้นดังนี้

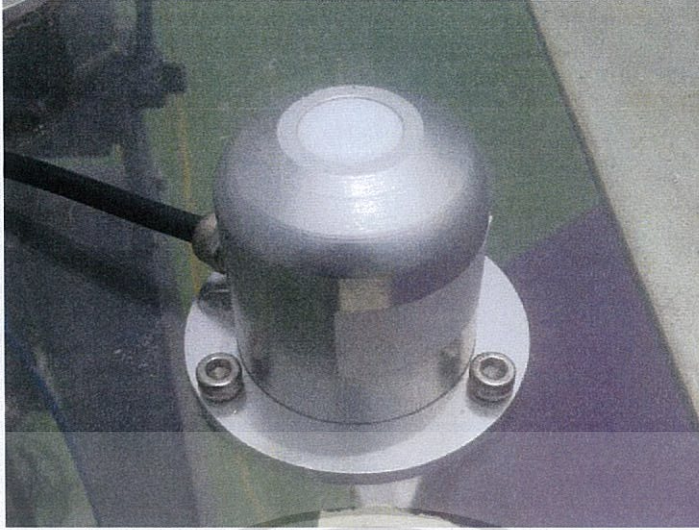
1. case ที่ใช้อาจมีผลทำให้เซ็นเซอร์เกิดการ saturate จึงถอด case ออกให้เซ็นเซอร์รับแสงโดยตรง
2. เปลี่ยนสายสัญญาณที่เชื่อมต่อระหว่างเซ็นเซอร์เข้ากับ DATALOGGER
3. แสงที่ตกกระทบบนมีความเข้มมากไป จึงเพิ่มความหนาของฟิล์มเพื่อกรองแสงที่มาตกกระทบบนเซ็นเซอร์



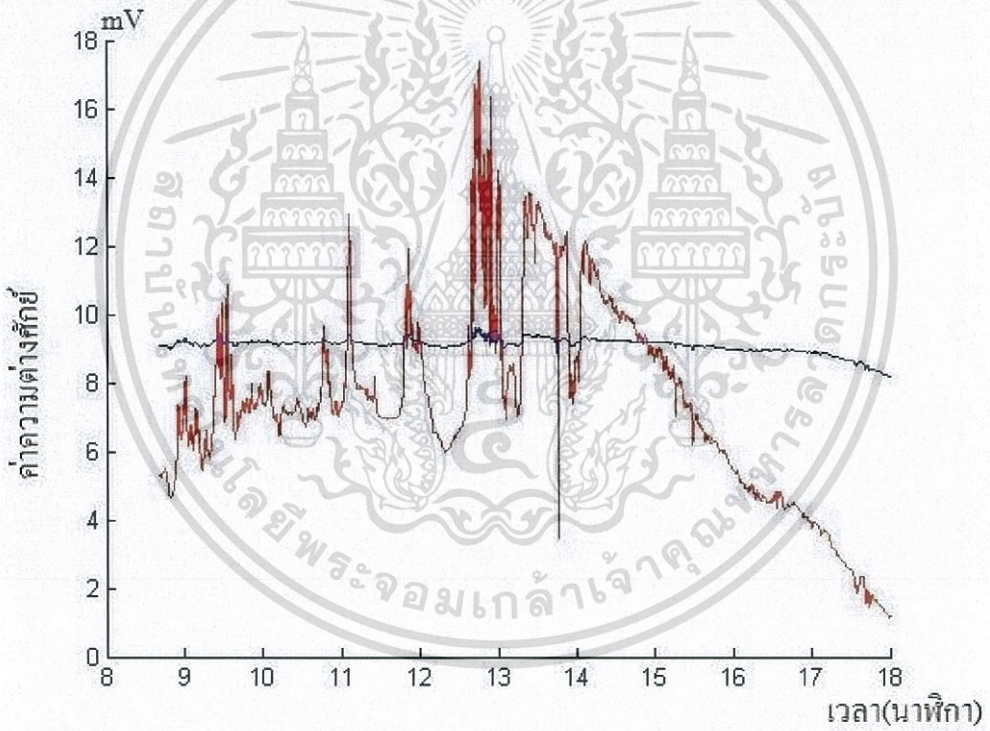
รูปที่ 4.3.1 ถอด case ออกให้เซ็นเซอร์รับแสงโดยตรง



รูปที่ 4.3.2 ขยายกราฟแสดงค่าเปรียบเทียบระหว่างตัวมาตรฐานกับโฟโต้ไดโอด หลังจากถอด case ออกให้เซ็นเซอร์รับแสงโดยตรง



รูปที่ 4.3.3 เปลี่ยนสายสัญญาณ

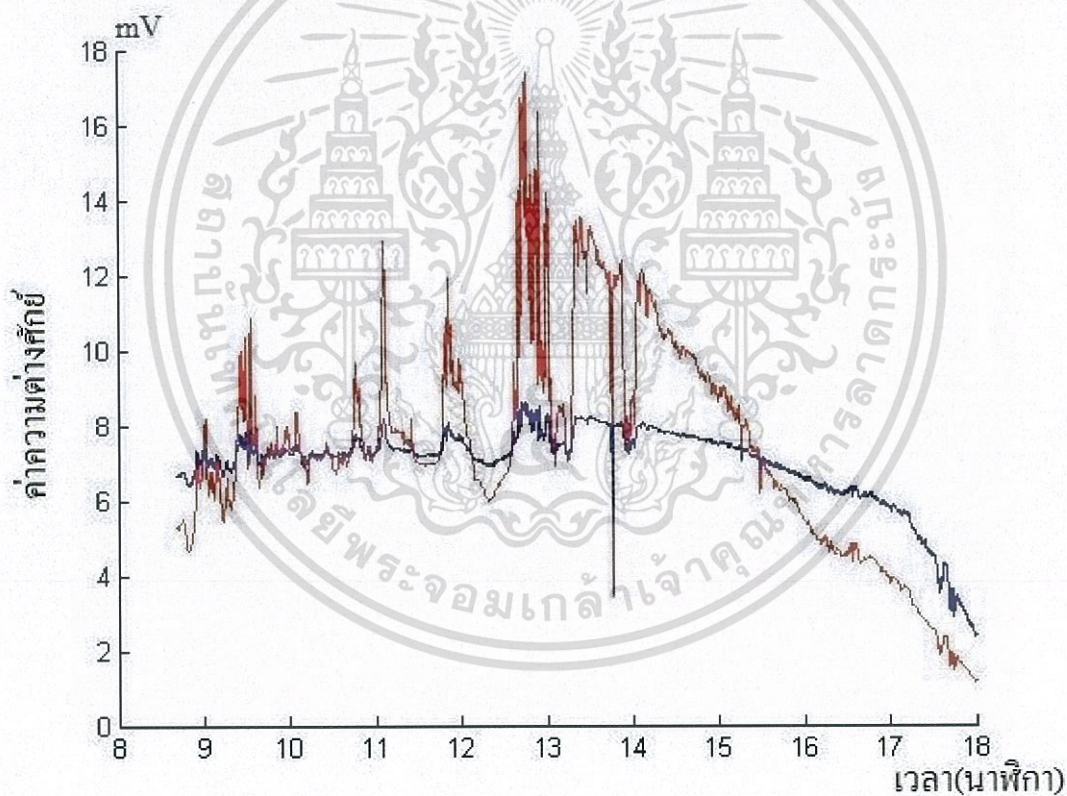


รูปที่ 4.3.4 ขยายกราฟแสดงค่าเปรียบเทียบระหว่างตัวมาตรฐานกับโฟโต้ไดโอด หลังจากเปลี่ยนสายสัญญาณ

เอกสารนี้เป็นเอกสารที่สงวนไว้สำหรับการใช้งานเพื่อการศึกษาเท่านั้น ไม่อนุญาตให้นำไปใช้ประโยชน์ด้านการค้า  
ไม่ว่ากรณีใดๆ ทั้งสิ้น อีกทั้งห้ามมิให้ดัดแปลงเนื้อหา และต้องอ้างอิงถึงเจ้าของเอกสารทุกครั้งที่มีการนำไปใช้



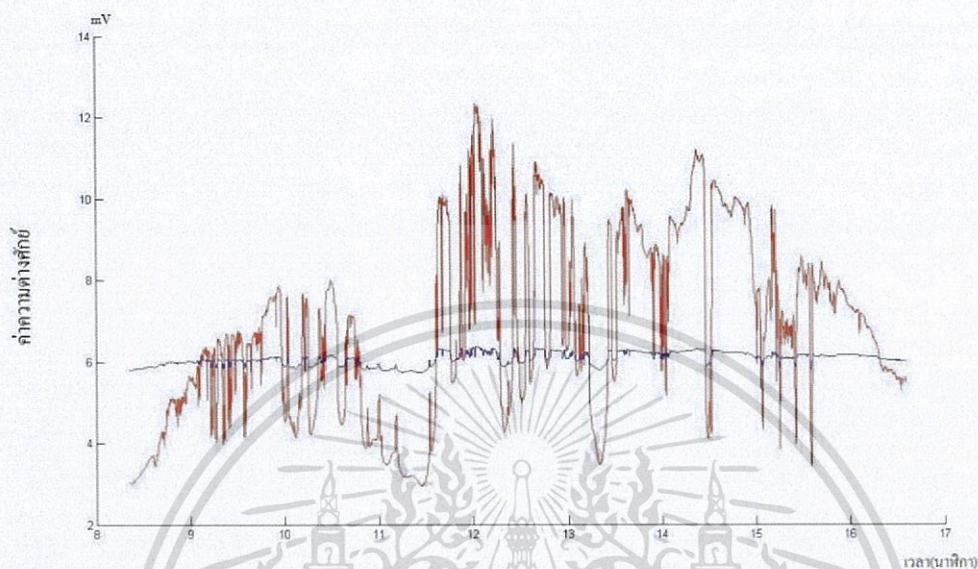
รูปที่ 4.3.5 เพิ่มความหนาของฟิล์มเพื่อกรองแสงที่มาจากกระทบบเซ็นเซอร์



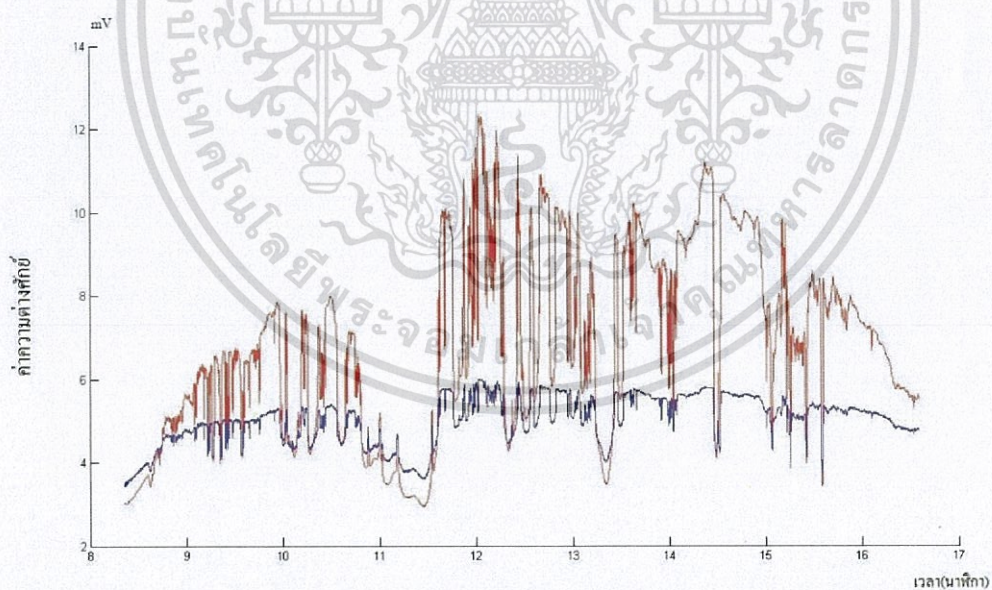
รูปที่ 4.3.6 ขยายกราฟแสดงค่าเปรียบเทียบระหว่างตัวมาตรฐานกับโฟโต้ไดโอด หลังจากเพิ่มความหนาของฟิล์มเพื่อกรองแสงที่มาจากกระทบบเซ็นเซอร์

#### 4.4 ข้อสรุปผลการทดลอง

เมื่อรู้สาเหตุแล้วจึงทำการทดลองอีกครั้ง โดยการติดฟิล์มเพิ่มที่ไพรานอมิเตอร์ทุกตัวเพื่อหาข้อสรุป ได้ผลดังนี้

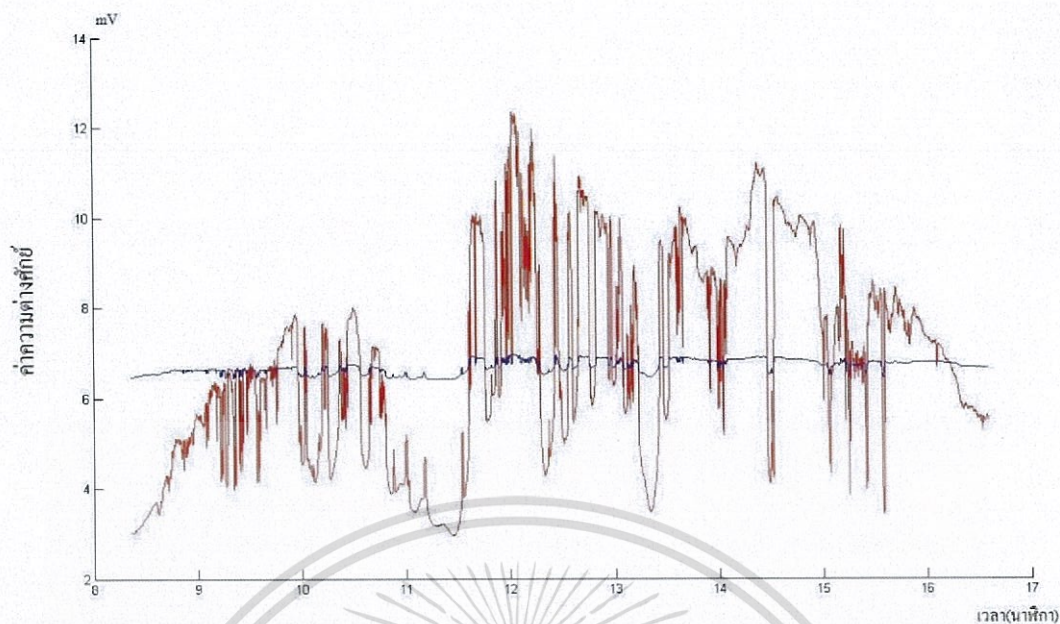


รูปที่ 4.4.1 ขยายกราฟแสดงค่าเปรียบเทียบระหว่างตัวมาตรฐานกับโฟโตไดโอด VTB8440BH

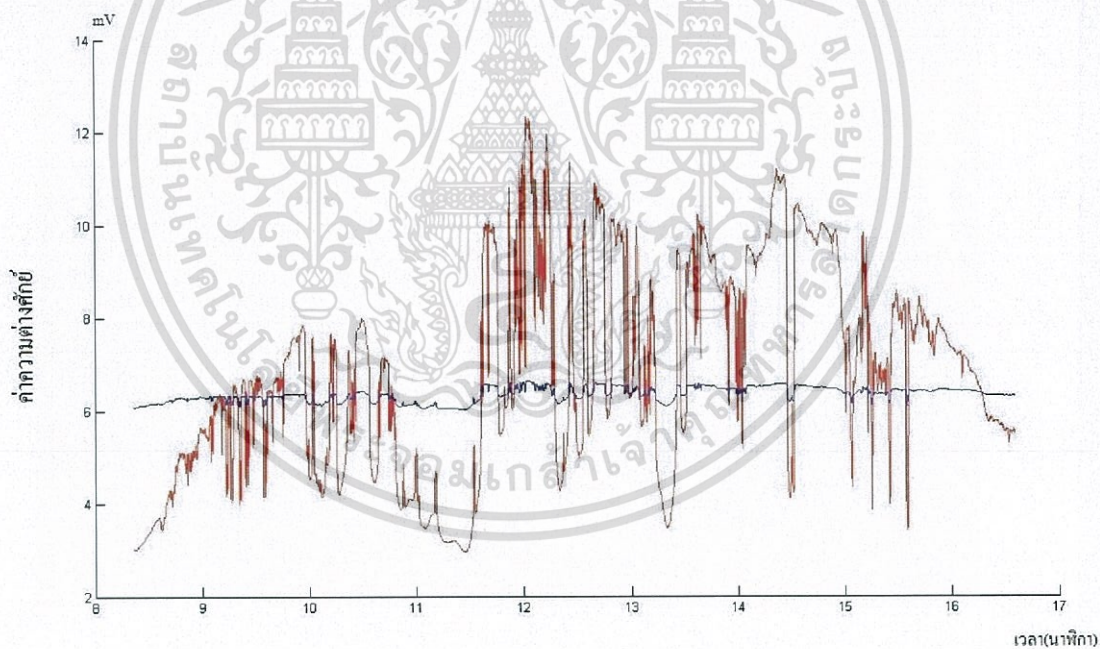


รูปที่ 4.4.2 ขยายกราฟแสดงค่าเปรียบเทียบระหว่างตัวมาตรฐานกับโฟโตไดโอด S5973

เอกสารนี้เป็นเอกสารที่สงวนไว้สำหรับการใช้งานเพื่อการศึกษาเท่านั้น ไม่อนุญาตให้นำไปใช้ประโยชน์ด้านการค้า  
ไม่ว่ากรณีใดๆ ทั้งสิ้น อีกทั้งห้ามมิให้ตัดแปลงเนื้อหา และต้องอ้างอิงถึงเจ้าของเอกสารทุกครั้งที่มีการนำไปใช้

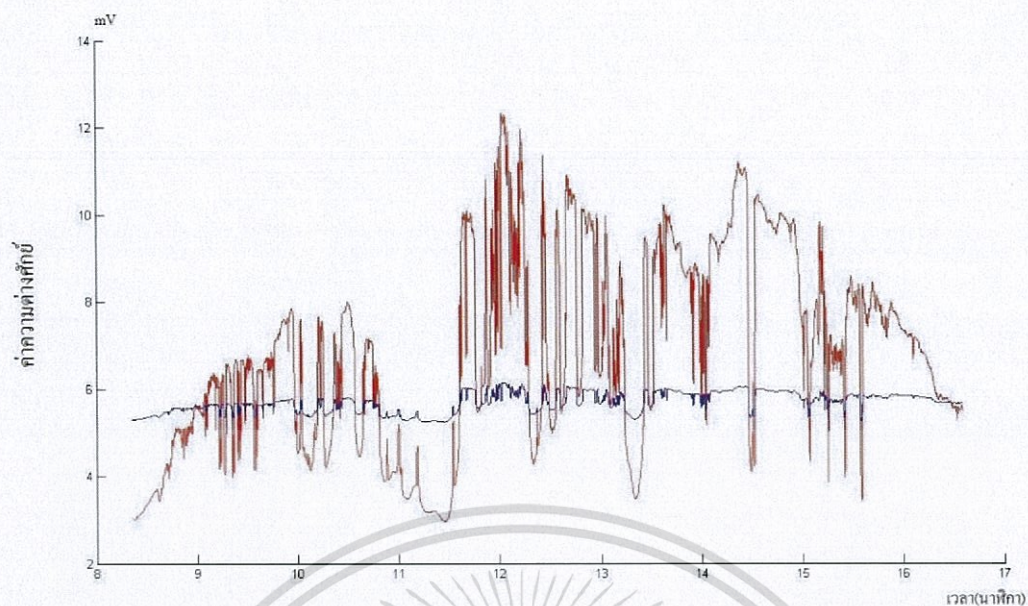


รูปที่ 4.4.3 ขยายกราฟแสดงค่าเปรียบเทียบระหว่างตัวมาตรฐานกับโฟโต้ไดโอด BPW21R



รูปที่ 4.4.4 ขยายกราฟแสดงค่าเปรียบเทียบระหว่างตัวมาตรฐานกับโฟโต้ไดโอด VTB5041BH

เอกสารนี้เป็นเอกสารที่สงวนไว้สำหรับการใช้งานเพื่อการศึกษาเท่านั้น ไม่อนุญาตให้นำไปใช้ประโยชน์ด้านการค้า  
ไม่ว่ากรณีใดๆ ทั้งสิ้น อีกทั้งห้ามมิให้ดัดแปลงเนื้อหา และต้องอ้างอิงถึงเจ้าของเอกสารทุกครั้งที่มีการนำไปใช้



รูปที่ 4.4.5 ขยายกราฟแสดงค่าเปรียบเทียบระหว่างตัวมาตรฐานกับโฟโต้ไดโอด S1223



## บทที่ 5

# สรุปผลการวิจัยและข้อเสนอแนะ

### 5.1 สรุปผลการวิจัย

จากการทดลองทำการเปรียบเทียบระหว่างไพรานอมิเตอร์ที่ทำจากเทอร์โมไฟต์(ตัวมาตรฐาน)กับโซลิตสเตตไพรานอมิเตอร์ โดยทำการเก็บข้อมูลทุก 5 วินาที ตั้งแต่เวลา 6.00 น. ถึง 18.00 น. เป็นเวลา 17 วัน แล้วจึงนำผลมาวิเคราะห์แล้วผลที่ได้คือกราฟค่อนข้างที่จะผิดรูป เนื่องจากความเข้มแสงที่ได้รับมีมากเกินไป และเทพลอนมีขนาดบางเกินไปจึงทำให้ได้รับความเข้มแสงมากเกินไปผลจึงไม่เป็นไปตามทฤษฎี

ดังนั้นจึงทำการติดฟิล์มเพิ่มความหนาให้กับเทพลอนเพื่อกรองแสงไม่ให้มีความเข้มมากเกินไป ผลที่ได้ปรากฏว่าโซลิตสเตตไพรานอมิเตอร์ที่มีเซ็นเซอร์เป็นโฟโตไดโอดรุ่น S5973 มีค่าการเปลี่ยนแปลงใกล้เคียงกับไพรานอมิเตอร์มาตรฐานมากกว่าชนิดอื่นๆ ฉะนั้นเราควรเลือกโซลิตสเตตไพรานอมิเตอร์ที่มีเซ็นเซอร์เป็นโฟโตไดโอดรุ่น S5973 เพราะมีประสิทธิภาพมากที่สุด

### 5.2 ข้อเสนอแนะ

จะเห็นว่ากราฟแสดงความสัมพันธ์ระหว่างค่าความต่างศักย์กับเวลาของไพรานอมิเตอร์โฟโตไดโอดทั้ง 5 ชนิด เทียบกับไพรานอมิเตอร์ที่ทำมาจากเทอร์โมไฟต์(ตัวมาตรฐาน)มีความแตกต่างกันมากเนื่องจากโฟโตไดโอดทั้ง 5 ชนิด อาจเกิดการอิ่มตัว(saturated)เพราะความเข้มแสงที่ได้รับมีค่ามากเกินไป

## เอกสารอ้างอิง

- [1] Green A Martin. 1992. Solar cells Operating Principles Technology and System Application. Frist Edition : Prentice-Hall. Inc, pp 9-11
- [2] ผศ.ดร.พิชัย นามประกาย. 2546. การทดสอบคุณสมบัติเครื่องวัดรังสีอาทิตย์ภาคสนามชนิดซิลิคอนเซลล์แสงอาทิตย์ของมหาวิทยาลัยเทคโนโลยีพระจอมเกล้าธนบุรี. [Online]. Available : <http://www.nectec.or.th/NTJ/No16/papers/05.pdf>.
- [3] จิตติพงศ์ พันธุ์สว่าง และพีรณัฐ คำศรีสุข. 2555. “โซลิดสเตทไพแรนอมิเตอร์ต้นทุนต่ำ.” ปริญญาานิพนธ์วิทยาศาสตร์บัณฑิต สาขาวิชาฟิสิกส์ประยุกต์, สถาบันเทคโนโลยีพระจอมเกล้าเจ้าคุณทหารลาดกระบัง



